

**MODIFIKASI STRUKTUR TRIASILGLISERIDA DARI *CRUDE PALM OIL*
(CPO) MENGGUNAKAN VARIASI WAKTU OKSIDASI KMnO_4
UNTUK PRODUKSI BIODIESEL**



Skripsi

Diajukan Untuk Memenuhi Salah Satu Syarat Meraih Gelar
Sarjana Sains Jurusan Kimia pada Fakultas Sains dan Teknologi
UIN Alauddin Makassar

Oleh:

ALAUDDIN

MAKASSAR

ROSDIYANTI
NIM: 60500112012

**FAKULTAS SAINS DAN TEKNOLOGI
UIN ALAUDDIN MAKASSAR**

2016

PERNYATAAN KEASLIAN SKRIPSI

Mahasiswa yang bertanda tangan dibawah ini:

Nama : Rosdiyanti
NIM : 60500112012
Tempat/Tgl. Lahir : Beringin Jaya, 21 Februari 1994
Jurusan : Kimia
Fakultas : Sains dan Teknologi
Judul Skripsi : Modifikasi Struktur Triasilgliserida dari *Crude Palm Oil* (CPO) Menggunakan Variasi Waktu Oksidasi KMnO_4 untuk Produksi Biodiesel

Menyatakan dengan sesungguhnya dan penuh kesadaran bahwa Skripsi ini benar adalah hasil karya sendiri. Jika dikemudian hari terbukti bahwa skripsi ini merupakan duplikat, tiruan, plagiat, atau dibuat oleh orang lain, sebagian atau secara keseluruhan, maka Skripsi dan gelar yang diperoleh karenanya batal demi hukum.

UNIVERSITAS ISLAM NEGERI
ALAUDDIN
M A K A S S A R

Makassar, 1 Desember 2016

Penyusun

Rosdiyanti

NIM: 60500112012

PENGESAHAN SKRIPSI

Skripsi yang berjudul “Modifikasi Struktur Triasilgliserida *Crude Palm Oil* (CPO) Menggunakan Variasi Waktu Oksidasi untuk Produksi Biodiesel” yang disusun oleh Rosdiyanti, NIM : 60500112012, mahasiswa Jurusan Kimia pada Fakultas Sains dan Teknologi UIN Alauddin Makassar, telah diuji dan dipertahankan dalam sidang munaqasyah yang diselenggarakan pada hari Rabu, tanggal 30 November 2016 M, bertepatan dengan 30 Shafar 1438 H, dinyatakan telah dapat diterima sebagai salah satu syarat untuk memperoleh gelar Sarjana dalam Sains dan Teknologi, Jurusan Kimia (dengan beberapa perbaikan).

Samata-Gowa, 30 November 2016 M
30 Shafar 1438 H

DEWAN PENGUJI:

Ketua	: Dr. Ir. Andi Suarda, M.Si	(.....)
Sekretaris	: Sjamsiah, S.Si., M.Si., Ph.D	(.....)
Munaqisy I	: Syamsidar HS, S.T., M.Si	(.....)
Munaqisy II	: H. Asri Saleh, S.T., M.Si	(.....)
Munaqisy III	: Prof. Dr. H. M. Galib M, MA	(.....)
Pembimbing I	: Aisyah, S.Si., M.Si	(.....)
Pembimbing II	: Suriani, S.Si., M.Si	(.....)

Diketahui oleh:
Dekan, Fakultas Sains dan Teknologi
UIN Alauddin Makassar,

Prof. Dr. H. Arifuddin, M.Ag
Nip. 19691205 199303 1 001

KATA PENGANTAR



Alhamdulillah rabbil aalamin, segala puji bagi Allah SWT. yang telah memberikan kasih sayang, kekuatan, kesehatan, kesabaran dan membekaliku dengan ilmu, sehingga penelitian sampai penyelesaian skripsi ini dapat berjalan dengan baik sesuai waktu yang diharapkan penulis. Atas karunia dan kemudahan yang Engkau berikan serta Sholawat dan salam selalu terlimpahkan keharibaan Rasulullah Muhammad SAW. Akhirnya Skripsi dengan judul *“Modifikasi Struktur Triasilgliserida dari Crude Palm Oil (Cpo) Menggunakan Variasi Waktu Oksidasi $KMnO_4$ untuk Produksi Biodiesel”* ini dapat terselesaikan.

Skripsi ini merupakan salah satu syarat untuk memperoleh gelar Sarjana Sains (S.Si) Pada Jurusan Kimia Fakultas Sains dan Teknologi Universitas Islam Negeri (UIN) Alauddin Makassar. Banyak hambatan dan tantangan yang penulis hadapi selama menempuh perkuliahan sampai pada penyelesaian skripsi ini, namun atas pertolongan Allah SWT. disertai dengan doa, kerja keras maupun kesabaran, dan dengan bantuan semua pihak baik materil maupun non materil kepada penulis sehingga semua itu dapat teratasi sesuai harapan. Oleh karena itu, perkenankan penulis menyampaikan ucapan terima kasih yang setinggi-tingginya kepada:

1. Ayah dan Ibuku tercinta: Ayahanda Jasmin dan Ibunda Haeriyah yang telah memberikanku semangat, doa, bimbingan, dan dukungan yang tak henti-hentinya baik itu moril maupun materil yang tidak mungkin bisa terbalas.
2. Bapak Prof. Dr. Musafir Pababbari, M. Si selaku rektor Universitas Islam Negeri (UIN) Alauddin Makassar.

3. Bapak Prof. Dr. H. Arifuddin, M. Ag. selaku Dekan Fakultas Sains dan Teknologi.
4. Ibu Sjamsiah, S.Si., M.Si., Ph.D. selaku Ketua Jurusan Kimia Fakultas Sains dan Teknologi Universitas Islam Negeri (UIN) Alauddin Makassar.
5. Ibu Aisyah S.Si., M.Si dan Ibu Suriani, S.Si., M.Si. selaku dosen pembimbing I dan II yang telah menyediakan waktu dan memberi bantuan serta saran selama proses pengajuan judul sampai dengan selesainya pembuatan skripsi ini.
6. Ibu Asriani Ilyas, S.Si., M.Si, Bapak H. Asri Saleh, S.T., M.Si dan Bapak Prof. Dr. H. M. Galib M, MA selaku dosen penguji yang telah menyediakan waktu untuk memberikan saran perbaikan pada skripsi ini.
7. Seluruh Bapak dan Ibu dosen yang tidak bisa penulis sebutkan satu persatu serta staf Jurusan Kimia Fakultas Sains dan Teknologi Universitas Islam Negeri (UIN) Alauddin Makassar.
8. Laboran-laboran kimia terkhusus untuk Ibu Nuraini, S.Si yang selalu memberikan masukan, bimbingan dan saran selama penelitian sampai penyusunan akhir.
9. Ibu Kartini, SP. selaku laboran Kimia Organik UNHAS dan Bapak Usman selaku laboran di Laboratorium Forensik yang telah membantu penulis dalam menyelesaikan analisis dari penelitian ini.
10. Kakakku Yuling, S.T., Lisman, S.Si. dan Fitriana, S.Si. terima kasih atas doa, bantuan serta dukungan dari kalian selama ini.
11. Teman seperjuangan penelitian suka maupun duka Dian Rezky Awaliyah, Dyah Wulandary Sulthan, Fisdayanti, Nurrun Qaizul Mardyah dan Yuliana yang telah bersama melalui rintangan selama bimbingan sampai pada penyelesaian skripsi ini.

12. Kak Aco dan pegawai PT. ANA, terima kasih atas bantuannya dalam pengambilan sampel CPO dan pasangan suami istri (Kusnan dan Ani) yang telah membawa sampel CPO saat perjalanan dari Morowali ke Makassar.
13. Kedelapan sahabatku Hermayani, Warniah, Fisdayanti, Yuliana, Dian Rezky Awaliyah, Nur Jayanti, Sitti Saerah dan Rezki Nurfadillah. Tidak akan terlupakan saat-saat bersama kalian.
14. Terima kasih kepada semua pihak yang penulis tidak bisa sebutkan satu persatu yang telah membantu dalam penyelesaian tugas akhir.

Penulis menyadari bahwa skripsi ini masih jauh dari kesempurnaan, oleh karena itu, kritik saran yang membangun dari berbagai pihak sangat penulis harapkan demi perbaikan-perbaikan ke depan. Akhir kata penulis berharap semoga skripsi ini dapat memberikan manfaat dan dapat menambah khasanah ilmu pengetahuan dan semoga amal dan budi baik semua pihak yang telah membantu penulis dalam penyusunan skripsi ini mendapat balasan yang berlimpah dari Allah SWT, Aamiin Ya Robbal 'alamiin.

Billahi Taufik Walhidayah, Wassalamu Alaikum Wr.Wb.

UNIVERSITAS ISLAM NEGERI
ALAUDDIN
M A K A S S A R Penulis

Rosdiyanti
NIM: 60500112012

DAFTAR ISI

JUDUL	i
PERNYATAAN KEASLIAN SKRIPSI.....	ii
PENGESAHAN.....	iii
KATA PENGANTAR.....	iv
DAFTAR ISI.....	vii
DAFTAR TABEL	ix
DAFTAR GAMBAR.....	x
DAFTAR LAMPIRAN.....	xi
ABSTRAK	xii
BAB I PENDAHULUAN.....	1-6
A. Latar Belakang	1
B. Rumusan Masalah.....	5
C. Tujuan Penelitian	5
D. Manfaat Penelitian	6
BAB II TINJAUAN PUSTAKA.....	7-25
A. Biodiesel.....	7
B. Spesifikasi Biodiesel	9
C. Tanaman Kelapa Sawit (<i>Elaeis guineensis</i>).....	11
1. Budidaya Tanaman Kelapa Sawit (<i>Elaeis guineensis</i>).....	11
2. Klasifikasi Kelapa Sawit (<i>Elaeis guineensis</i>)	13
3. Manfaat Minyak Kelapa Sawit (<i>Elaeis guineensis</i>).....	14
D. Asam Lemak Minyak Kelapa Sawit (<i>Elaeis guineensis</i>).....	15
E. Modifikasi Biodiesel	17
1. Oksidasi Tanpa Pemaksapisahan	18

2. Oksidasi dengan Pemaksapisahan	19
F. Instrumen.....	22
1. Spektrofotometer <i>Infrared</i> (IR)	22
2. Spektrofotometer <i>Gas Chromatography–Mass Spectrometry</i> (GC-MS).....	23
3. Ultrasonik	23
BAB III METODE PENELITIAN	26-30
A. Waktu dan Tempat	26
B. Alat dan Bahan	26
C. Prosedur Kerja.....	27
BAB IV HASIL DAN PEMBAHASAN	31-46
A. Hasil Penelitian	31
B. Pembahasan.....	35
BAB V PENUTUP.....	47
A. Kesimpulan.....	47
B. Saran.....	47
DAFTAR PUSTAKA	48
LAMPIRAN-LAMPIRAN	51
RIWAYAT HIDUP.....	95

DAFTAR TABEL

Tabel 2.1	Spesifikasi Biodiesel sebagai Bahan Bakar dengan Standar Berbeda.....	9
Tabel 2.2	Standar Nasional Indonesia (SNI 04-7182-2006) untuk Biodiesel.....	10
Tabel 2.3	Karakteristik Minyak dan Ester.....	11
Tabel 2.4	Beberapa Asam Lemak yang Biasa Ditemukan.....	16
Tabel 2.5	Komposisi Asam Lemak Minyak Mentah Sawit (<i>Crude Palm Oil</i>)	16
Tabel 2.6	Sifat Fisik dan Kimia Minyak Mentah Sawit (<i>Crude Palm Oil</i>)	17
Tabel 2.7	Reagen untuk Oksidasi Alkena Tanpa Pemaksapisahan.....	18
Tabel 2.8	Reagen untuk Oksidasi Alkena dengan Pemaksapisahan	21
Tabel 4.1	Nilai Konversi Biodiesel Dari Beberapa Variasi Waktu Oksidasi	31
Tabel 4.2	Nilai Serapan dari Vibrasi Regang Gugus-Gugus Senyawa dari CPO Murni dan Biodiesel dari Beberapa Variasi Waktu Reaksi Oksidasi KMnO_4 3,16% pada Triasilgliserida.....	32
Tabel 4.3	Nilai Waktu Retensi dan Kadar Komponen Senyawa dari Biodiesel dengan Beberapa Variasi Waktu Reaksi Oksidasi KMnO_4 3,16% pada CPO.....	33
Tabel 4.4	Fragmentasi Masing-masing Komponen CPO Murni dan Komponen Biodiesel dari Hasil Modifikasi Triasilgliserida CPO.....	34

DAFTAR GAMBAR

Gambar 2.1	Reaksi Transesterifikasi.....	8
Gambar 2.2	Tanaman Kelapa Sawit (<i>Elaeis guineensis</i>)	12
Gambar 2.3	Minyak Kelapa Sawit Mentah atau Crude Palm Oil	14
Gambar 2.4	Reaksi Pembentukan cis-diol dan Ketol.....	18
Gambar 2.5	Reaksi Pembentukan Epoksida.....	19
Gambar 2.6	Reaksi Oksidasi Alkena Terdisubstitusi	20
Gambar 2.7	Reaksi Oksidasi Alkena Termonosubstitusi	20
Gambar 2.9	Reaksi Oksidasi Alkena Termonosubstitusi dan Terdisubstitusi	20
Gambar 2.8	Spektrofotometer <i>Infrared</i> (IR)	22
Gambar 2.9	Spektrofotometer <i>Gas Chromatography–Mass Spectrometry</i> (GC-MS)	24
Gambar 2.8	Ultrasonik	25
Gambar 4.1	Spektrum IR CPO Murni.....	41
Gambar 4.2	Spektrum IR Biodiesel Variasi Oksidasi 45 Menit	42
Gambar 4.3	Struktur Komponen Hasil Modifikasi	45

DAFTAR LAMPIRAN

Lampiran I	Bagan Alir Penelitian	51
Lampiran II	Bagan Prosedur Kerja	52
Lampiran III	Analisis Data	56
Lampiran IV	Spektrum Gugus-Gugus Fungsi Produk Modifikasi	63
Lampiran V	Spektrum Komponen Tiap Produk Modifikasi	66
Lampiran VI	Dokumentasi Penelitian	81



ABSTRAK

Nama : Rosdiyanti
Nim : 60500112012
Judul Skripsi : Modifikasi Struktur Triasilgliserida dari *Crude Palm Oil* (CPO) Menggunakan Variasi Waktu Oksidasi KMnO_4 untuk Produksi Biodiesel

Biodiesel merupakan bahan bakar alternatif pengganti solar yang bersifat dapat diperbaharui. Penggunaannya pada daerah dingin menjadi permasalahan karena memiliki titik tuang dan titik kabut yang tinggi dibandingkan solar akibat adanya kandungan asam lemak jenuh, sehingga biodiesel cepat membeku. Penelitian ini bertujuan untuk memodifikasi struktur triasilgliserida (TAG) dari *Crude Palm Oil* (CPO) menggunakan variasi waktu reaksi oksidasi kalium permanganat (KMnO_4) untuk memproduksi biodiesel. Metode yang digunakan yaitu modifikasi TAG menggunakan KMnO_4 yang dilarutkan dalam asam sulfat (H_2SO_4) 6 N dan direaksikan dalam ultrasonik 47 kHz, kemudian dilakukan sintesis biodiesel. Penelitian ini menghasilkan nilai konversi biodiesel dengan variasi waktu oksidasi 30, 45, 60, 75 dan 90 menit berturut-turut yaitu 22,1 %, 5 %, 17,3%, 3,7 %, 9,2 %. Analisis Infrared (IR) dan GC-MS menghasilkan data-data spektrum yang menunjukkan bahwa komponen mayor yaitu diprediksi sebagai asam heksanoat, asam nonanoat dan asam dodekanoat metil ester, sedangkan komponen minornya yaitu diprediksi sebagai asam dekanoat metil ester, asam miristat metil ester, asam palmitat metil ester, asam oktanoat metil ester, asam oleat metil ester, nonanal, asam oleat, asam linoleat, asam heksadekanoat, heksadekanoil gliserol and 2-oleoilgliser

Kata Kunci : Modifikasi Triasilgliserida, Biodiesel, Reaksi Oksidasi KMnO_4 , Ultrasonik.

ABSTRACT

Name : Rosdiyanti
Nim : 60500112012
Skripsi Title : Triasilgliserida Structural Modifications of Crude Palm Oil (CPO) Using a Variety KMnO_4 Oxidation Time for the Production of Biodiesel

Biodiesel is an alternative diesel fuel that is renewable. Its use in cold waters become a problem because it has a high pour point and point than diesel haze due to their saturated fatty acid content, so that biodiesel quickly freeze. This study aims to modify the structure of triasilgliserida (TAG) of Crude Palm Oil (CPO) using a time-varying of the oxidation reaction of potassium permanganate (KMnO_4) to produce biodiesel. The method used is a modification TAG using KMnO_4 dissolved in sulfuric acid (H_2SO_4) 6 N and reaction in ultrasonic 47 kHz, then do the synthesis of biodiesel. This research resulted in the conversion value with variations biodiesel oxidation time 30, 45, 60, 75 and 90 minutes respectively, are 22.1%, 5%, 17.3%, 3.7%, 9.2%. Analysis Infrared (IR) and GC-MS to produce data spectrum showed that the major component is suspected that hexanoic acid, nonanoat acid and dodekanoat acid methyl ester, while the components minor is suspected of decanoic acid methyl ester, myristic acid methyl ester, palmitic acid methyl ester, octanoic acid methyl ester, oleic acid methyl ester, nonanal, oleic acid, linoleic acid, 2-hexadekanoyl gliserol and 2-oleoylglycerol

Keywords : Modification Triasilgliserida, Biodiesel, KMnO_4 Oxidation Reaction, Ultrasonic.

BAB I

PENDAHULUAN

A. Latar Belakang

Pemenuhan energi terutama bahan bakar dari fosil berupa Bahan Bakar Minyak (BBM) saat ini menjadi permasalahan. Hal ini disebabkan karena ketersediaannya semakin lama akan berkurang. Sedangkan penggunaannya masih tinggi seiring dengan peningkatan kebutuhan sarana transportasi dan aktivitas industri. Ketersediaan energi yang tidak sejalan dengan penggunaan energi tersebut dapat memicu terjadinya krisis energi yang berdampak pada perekonomian.

Pilihan terbaik untuk menangani krisis energi tersebut yaitu pemanfaatan Bahan Bakar Nabati (BBN) atau biofuel sebagai sumber energi alternatif yang dapat diperbaharui. Upaya ini dapat mengurangi penggunaan BBM, sehingga dapat mempertahankan keadaan lingkungan global yang seimbang. Peraturan Presiden Republik Indonesia Nomor 5 Tahun 2006 Tentang Kebijakan Energi Nasional pada pasal 1 menyatakan bahwa “Sumber energi alternatif tertentu adalah jenis sumber energi tertentu pengganti Bahan Bakar Minyak”. Pengembangan BBN juga didukung oleh Peraturan Menteri Energi dan Sumber Daya Mineral Republik Indonesia Nomor 12 Tahun 2015 Tentang Perubahan Ketiga Atas Peraturan Menteri Energi dan Sumber Daya Mineral Nomor 32 Tahun 2008 Tentang Penyediaan, Pemanfaatan dan Tata Niaga Bahan Bakar Nabati (Biofuel) Sebagai Bahan Bakar Lain. Salah satu jenis BBN yang dapat dikembangkan yaitu biodiesel.

Biodiesel digunakan sebagai bahan bakar khusus motor diesel atau modifikasinya. Sumber utama biodiesel yaitu minyak nabati maupun hewani dan lemak bekas atau lemak daur ulang (Lubad dan Widiastuti, 2010: 309). Pada

umumnya minyak nabati lebih banyak digunakan untuk pembuatan biodiesel karena dapat dibudidayakan secara massal. Biodiesel yang dapat diolah dari minyak nabati ini memiliki beberapa keunggulan diantaranya memiliki bilangan setana (*Cetane Number*) dan titik nyala (*Flash Point*) yang tinggi, bersifat ramah lingkungan karena memiliki emisi yang lebih rendah, serta mampu melumasi mesin dengan baik (Lubad dan Widiastuti, 2010: 310). Minyak nabati dapat diperoleh dari berbagai tumbuh-tumbuhan.

Setiap tumbuhan memiliki keunggulan tersendiri yang terkandung didalamnya. Hal ini menandakan bahwa segala sesuatu yang telah Allah SWT. ciptakan tidak ada yang tidak bermanfaat dan semua itu merupakan tanda kebesaran dan kekuasaan-Nya. Sebagaimana Allah berfirman dalam Q.S Luqman/31: 10.

خَلَقَ السَّمَوَاتِ بِغَيْرِ عَمَدٍ تَرَوْنَهَا ۗ وَالْأَعْيُنُ فِي الْأَرْضِ رَوَىٰ أَنْ تَمِيدَ بِكُمْ ۖ وَبَثَّ فِيهَا مِنْ كُلِّ دَابَّةٍ ۗ وَأَنْزَلْنَا مِنَ السَّمَاءِ مَاءً فَأَنْبَتْنَا فِيهَا مِنْ كُلِّ زَوْجٍ كَرِيمٍ ﴿١٠﴾

Terjemahnya:

Dia menciptakan langit tanpa tiang sebagaimana kamu melihatnya dan Dia meletakkan gunung-gunung (di permukaan) bumi supaya ia (bumi) tidak menggoyangkan kamu; dan memperkembangbiakkan segala macam jenis makhluk bergerak yang bergerak di bumi. Dan Kami turunkan air hujan dari langit, lalu Kami tumbuhkan padanya segala macam tumbuh-tumbuhan yang baik (Departemen Agama RI, 2010: 411).

Penumbuhan segala tumbuh-tumbuhan dari perut bumi setelah turunnya air dari langit itu merupakan keajaiban lain yang tidak pernah putus dan berakhir. Ia merupakan keajaiban hidup, keajaiban keanekaragaman, keajaiban warisan karakter-karakter khusus yang tersimpan dalam biji yang kecil, kemudian ia tumbuh kembali menjadi pohon yang besar (Tafsir Fi Zhilalil-Qur'an IX) (Quthb, 2004: 172). Kata (كَرِيمٍ) *karim* digunakan untuk menyifati segala sesuatu yang baik sesuai

objeknya. Rizq yang *karim* adalah yang banyak, halal dan bermanfaat. Pasangan tumbuhan yang *karim* adalah yang tumbuh subur dan menghasilkan apa yang diharapkan dari penanamannya (Tafsir Al-Mishbah) (Shihab, 2002: 288).

Tumbuhan yang dimanfaatkan sebagai sumber minyak penghasil biodiesel, beberapa diantaranya yaitu kelapa sawit, jarak pagar, kelapa, kapuk/randu, nyamplung dan sebagainya (Kuncahyo, 2013: 62). Minyak kelapa sawit sangat berpotensi sebagai bahan baku biodiesel karena tingkat produksinya cukup besar. Indonesia termasuk negara kedua penghasil minyak kelapa sawit di dunia (Indah, 2011: 482-483).

Minyak kelapa sawit berupa *crude palm oil* (CPO) dapat dijadikan sebagai bahan baku pembuatan biodiesel. Penggunaan biodiesel sebagai bahan bakar memiliki kekurangan, terutama pada daerah dingin. Pada suhu yang lebih rendah, biodiesel dapat menyumbat saluran bahan bakar maupun di dalam filter, sehingga mesin tidak akan beroperasi (Dwivedi dan Sharma, 2013: 827). Hal ini terjadi karena biodiesel memiliki titik kabut (TK) $-3\text{ }^{\circ}\text{C}$ - $12\text{ }^{\circ}\text{C}$ dan titik tuang (TT) $-5\text{ }^{\circ}\text{C}$ - $10\text{ }^{\circ}\text{C}$ yang lebih tinggi dibandingkan dengan minyak solar/diesel (TK $-15\text{ }^{\circ}\text{C}$ - $5\text{ }^{\circ}\text{C}$ dan TT $-35\text{ }^{\circ}\text{C}$ - $15\text{ }^{\circ}\text{C}$) (Tyson, 2009: 11). Biodiesel minyak sawit sendiri memiliki TK sebesar $12-14\text{ }^{\circ}\text{C}$ (Prihandana, 2006: 66) dan TT sebesar $9\text{ }^{\circ}\text{C}$ (Hamid dan Yusuf, 2002: 63), sehingga tidak cocok digunakan pada daerah subtropis.

Penggunaan biodiesel pada suhu rendah maupun dibawah titik kabut akan mengakibatkan perubahan fisik dari cair menjadi kristal-kristal padat, sehingga kinerja mesin tidak berfungsi karena proses aliran bahan bakar terhenti. Kondisi ini disebabkan tingginya kadar asam lemak jenuh yang menyebabkan pencairan bahan bakar pada suhu rendah sulit terjadi dan terbentuk kristal-kristal padat tersebut (Dwivedi dan Sharma, 2013: 830).

Berbagai penelitian telah dilakukan untuk mengatasi masalah tersebut. Setyaningsih (2011: 9) melakukan sintesis gliserol Tert-Butil Eter (GTBE) sebagai aditif biodiesel untuk dapat menurunkan titik kabut dan titik tuang sebesar 3°C. Musadhaz (2012: 187) melakukan pencampuran biodiesel biji karet dengan biodiesel sawit yang dikenal dengan istilah *blending*. Dalam penelitiannya ditemukan bahwa pencampuran biodiesel biji karet dapat menurunkan TK dan TT biodiesel sawit.

Selain dari kedua penelitian tersebut, Nurlina (2014) melakukan metode modifikasi biodiesel dari minyak biji kemiri (*Aleurites moluccana*) dengan reaksi oksidasi menggunakan kalium permanganat (KMnO_4) menggunakan bantuan alat ultrasonik pada panjang gelombang sebesar 47 kHz selama 20, 30, 40 dan 50 menit. Reaksi oksidasi berlangsung dalam kondisi netral atau tanpa penambahan asam dan oksidasi ditujukan pada ikatan rangkap asam lemak dari biodiesel.

Pada penelitian ini akan dilakukan modifikasi struktur triasilgliserida dari Minyak Mentah Sawit (*Crude Palm Oil /CPO*) menggunakan reaksi oksidasi KMnO_4 untuk memproduksi biodiesel. Reaksi Oksidasi berlangsung dalam suasana asam, dimana KMnO_4 dilarutkan dalam asam sulfat (H_2SO_4) 6 N dan direaksikan dengan bantuan gelombang ultrasonik 47 kHz menggunakan variasi waktu 30, 45, 60, 75 dan 90 menit. Penggunaan alat ultrasonik tersebut juga dapat membantu dalam proses pencampuran karena adanya getaran yang dihasilkan. Gelombang bunyi dari ultrasonik tersebut dapat memberikan tekanan bolak-balik dalam cairan, sehingga proses pencampurannya lebih cepat akibat adanya percepatan getaran partikel dalam suatu medium.

Triasilgliserida atau trigliserida yang merupakan komponen dari minyak nabati (CPO) ini akan dimodifikasi strukturnya melalui ikatan rangkap pada gugus R yaitu asam-asam lemak tak jenuhnya. Ikatan rangkap tersebut akan diputuskan

terlebih dahulu melalui reaksi pemaksapisahan oksidatif menggunakan KMnO_4 . Adanya variasi waktu oksidasi yang telah ditentukan merupakan salah satu cara yang dapat dilakukan dengan harapan dapat mengubah struktur molekul senyawa etil ester (biodiesel) melalui pemutusan ikatan rangkapnya tanpa mengubah fungsinya sebagai bahan bakar. Dengan demikian, biodiesel yang dihasilkan diharapkan dapat stabil, sehingga dapat digunakan pada suhu yang lebih rendah.

B. Rumusan Masalah

Rumusan masalah dalam penelitian ini, yaitu:

1. Apakah KMnO_4 pada variasi waktu oksidasi dapat mengoksidasi ikatan rangkap triasilgliserida dari minyak sawit mentah atau *crude palm oil* (CPO) ?
2. Berapa nilai konversi biodiesel yang diperoleh dari setiap CPO hasil modifikasi ?
3. Komponen-komponen apa saja yang dihasilkan melalui proses modifikasi triasilgliserida menggunakan KMnO_4 ?

C. Tujuan Penelitian

Tujuan dari penelitian ini, yaitu:

1. Mengetahui waktu reaksi oksidasi KMnO_4 yang diperlukan untuk mengoksidasi ikatan rangkap triasilgliserida dari minyak sawit mentah atau *crude palm oil* (CPO).
2. Mengetahui nilai konversi biodiesel yang diperoleh dari CPO hasil modifikasi.
3. Mengetahui komponen-komponen yang dihasilkan dari proses modifikasi triasilgliserida menggunakan KMnO_4 .

D. Manfaat Penelitian

Manfaat dari penelitian ini, yaitu

1. Memberikan informasi bahwa karakteristik biodiesel dapat diubah melalui metode modifikasi dengan reaksi oksidasi tanpa mengubah kegunaannya.
2. Sebagai bahan referensi untuk pengembangan penelitian tentang biodiesel.



BAB II

TINJAUAN PUSTAKA

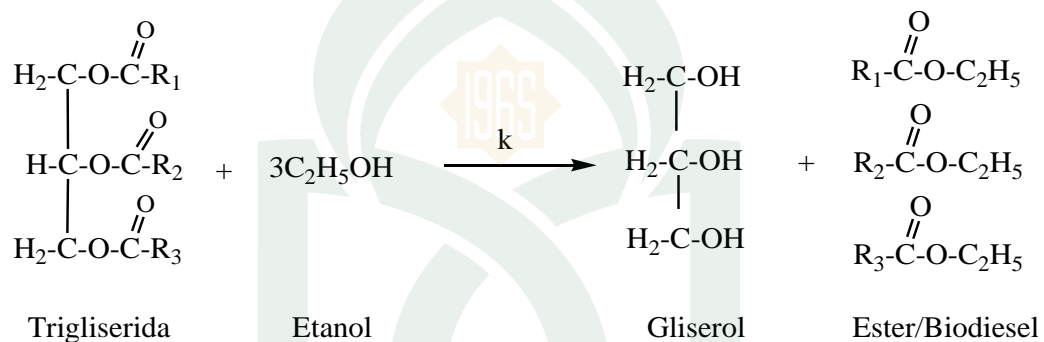
A. Biodiesel

Biodiesel merupakan alkil asam lemak dari minyak nabati yang dipisahkan melalui proses esterifikasi atau transesterifikasi, sehingga dapat digunakan sebagai bahan bakar diesel. Biodiesel memiliki warna kekuningan dan dapat dicampur dengan solar sebagai bahan bakar karena perbedaan viskositasnya rendah. Setiap negara memiliki standar tertentu dalam penggunaan biodiesel sebagai syarat bahwa biodiesel tersebut layak digunakan pada mesin diesel (Lubad dan Widiastuti, 2010: 309-310).

Biodiesel memiliki kelebihan dibandingkan minyak solar diantaranya yaitu bersifat ramah lingkungan karena dapat mengurangi emisi yang berbahaya seperti CO maupun CO₂, penggunaannya tidak menghasilkan emisi sulfur (SO₂) dan tingginya angka setana yang dimiliki menyebabkan sifat penyalannya sangat baik (Lubad dan Widiastuti, 2010: 311).

Biodiesel yang terbuat dari minyak sawit berupa *crude palm oil* (CPO) harus terlebih dahulu dilakukan perlakuan awal sebelum proses transesterifikasi seperti penyabunan dan esterifikasi untuk menurunkan kadar asam lemak bebasnya (*Free Fatty Acid*, FFA) yang mencapai 3-4% (Pardamean, 2008: 14). Apabila reaksi transesterifikasi dilakukan pada kadar FFA yang tinggi, maka akan terbentuk sabun akibat reaksi antara katalis dengan FFA. Dengan demikian, untuk menghasilkan biodiesel melalui transesterifikasi dibutuhkan minyak murni dengan kadar FFA <2% (Badawi, 2008: 6).

Transesterifikasi merupakan reaksi antara alkohol (seperti etanol) dengan trigliserida yang menghasilkan ester (biodiesel) dan reaksi sampingnya berupa gliserol yang dapat dilakukan dengan bantuan katalis berdasarkan Gambar 2.1 (Astuti, 2008: 6). Produk samping berupa gliserol yang dipisahkan melalui reaksi transesterifikasi dapat menurunkan viskositas dari ester yang dihasilkan karena viskositas ester yang terlalu tinggi akan menghambat aliran bahan bakar masuk ke dalam mesin diesel yang akan mempengaruhi kinerjanya (Hambali, dkk, 2007: 10).



Gambar 2.1 Reaksi Transesterifikasi

Penggunaan alkohol dalam pembuatan biodiesel dapat berupa etanol atau metanol. Salah satu faktor yang mempengaruhi *yield* biodiesel yaitu rasio molar antara alkohol dan trigliserida. Semakin banyak alkohol yang digunakan, maka nilai konversi ester yang dihasilkan semakin tinggi dan diikuti dengan penggunaan katalis serta suhu reaksi yang tepat. Hal ini telah dibuktikan melalui salah satu penelitian yang dilakukan oleh Supardan (2011) yang melakukan reaksi transesterifikasi minyak goreng bekas menggunakan ultrasonik. Perolehan *yield* biodiesel tertinggi yaitu pada rasio mol minyak dan etanol 1:12 dengan penggunaan katalis KOH 1% dan pada temperatur 50°C.

B. Spesifikasi Biodiesel

Bahan baku yang dapat digunakan untuk pembuatan biodiesel yaitu minyak nabati, lemak hewan dan alga. Produksi biodiesel terbanyak di dunia berasal dari minyak nabati, seperti minyak lobak (*rapeseed oil*) di Eropa, minyak kedelai (*soybean oil*) di USA, minyak sawit di Asia dan minyak kelapa di Filipina. Penggunaan minyak nabati ini mempunyai keunggulan yaitu mudah didapatkan, produksinya mudah dan tidak memerlukan waktu yang lama, bahkan persentasinya untuk diubah menjadi biodiesel bisa sampai 95% (Hambali, dkk, 2007: 10).

Spesifikasi biodiesel berbeda-beda dari setiap negara. Spesifikasi dari beberapa negara dengan menggunakan metode uji yang berbeda dapat dilihat pada Tabel 2.1 (Dwivedi dan Sharma, 2013: 828).

Tabel 2.1 Spesifikasi Biodiesel sebagai Bahan Bakar dengan Standar Berbeda

No.	Parameter	Austria ONC- 1191	India BIS- 15607	France EU- 15412	Germany DIN-EN- 590	Italy UNI- 10946	USA ASTM- 424720
1.	Density pada 15 °C (g/cm ³)	0,85-0,89	0.87- 0.89	0.87- 0.89	0.875-0.89	0.86-0.90	0.88
2.	Viscosity pada 40 °C (mm ² /s)	3.5-5	1.9-6	3.5-5	3.5-5	3.5-5	1.96
3.	Titik nyala (°C)	100	130	100	110	100	130
4.	Titik temperatur penyumbat filter (°C)	0-5	0-5	-	0-10/-20	-	-
5.	Titik kabut (°C)			10		1-5	15-18
6.	Angka setana	≥ 49	≥ 40	≥ 49	≥ 49	-	≥ 47
7.	Angka asam (mgKOH/g)	≤ 0.8	≤ 0.5	≤ 0.5	≤ 0.5	≤ 0.5	≤ 0.8
8.	Residu karbon (%)	≤ 0.05	≤ 0.05	-	≤ 0.05	-	≤ 0.05

Di Indonesia, spesifikasi biodiesel telah diatur berdasarkan ketentuan Badan Standardisasi Nasional yaitu Standar nasional Indonesia (SNI) (Prihandana, 2006: 62).

Tabel 2.2 Standar Nasional Indonesia (SNI 04-7182-2006) untuk Biodiesel

No	Parameter	Satuan	Nilai	Metode Uji
1.	Massa jenis pada 15°C	kg/m ³	850-890	ASTM D 1298
2.	Viskositas kinematik pada 40°C	mm ² /s	2,3-6,0	ASTM D 445
3.	Angka setana		Min 51	ASTM D 613
4.	Titik nyala	°C	Min 100	ASTM D 93
5.	Titik kabut	°C	Max 18	ASTM D 2500
	Residu karbon			
6.	- dalam sampel asli, atau - dalam 10% ampas destilasi	Max 0,05 Max 0,30	%-m	ASTM D 4530
7.	Air dan sedimen	%-v	Max 0,05	ASTM D 2709 ASTM D-1266
8.	Temperatur destilasi 90 °C	°C	Max 360	ASTM D 1160
9.	Abu tersulfatkan	%-m	Max 0,02	ASTM D 874
10.	Belerang	ppm-m (mg/kg)	Max 10	ASTM 5453 ASTM D-1266
11.	Fosfor	ppm-m (mg/kg)	Max 10	AQCS Ca 12-55
12.	Angka asam	mg KOH/g	Max 0,8	AQCS Ca 12-55
13.	Gliserol bebas	%-m	Max 0,02	AQCS CA 30-63 ASTM D-6584
14.	Gliserol total	%-m	Max 0,24	AQCS Ca 30-63 ASTM D-6584
15.	Angka iodium	%-m	Max 115	AQCS Cd 1-25

Menurut Manai (2010), beberapa minyak nabati atau hewani yang dapat dibuat menjadi biodiesel, memiliki karakteristik yang berbeda-beda berdasarkan jenis minyaknya yang dapat dilihat pada Tabel 2.3.

Tabel 2.3 Karakteristik Minyak dan Ester

Karakteristik Minyak dan Ester					
Tipe Minyak	Mencair dalam °C			Nomor Iodin	Nomor Setane
	Minyak/Lemak	Methyl Ester	Ethyl Ester		
Minyak lobak	5	0	-2	97-105	55
Minyak bunga matahari	-18	-12	-14	125-135	52
Minyak zaitun	-12	-6	-8	77-94	60
Minyak kedelai	-12	-10	-12	125-140	53
Minyak biji kapas	0	-15	-8	100-115	55
Minyak jagung	-5	-10	-12	115-124	53
Minyak kelapa	20-24	-9	-6	8-10	70
Minyak sawit	30-38	14	10	44-58	65
Minyak babi	32-36	14	10	60-70	65

C. Tanaman Kelapa Sawit (*Elaeis guineensis*)

1. Budidaya Tanaman Kelapa Sawit (*Elaeis guineensis*)

Kelapa sawit (*Elaeis guineensis*) merupakan salah satu tanaman penghasil minyak nabati terbesar dan umumnya dibudidayakan di negara-negara beriklim tropis. Tanaman kelapa sawit yang berasal dari Benua Afrika ini dibawah oleh pemerintah Belanda di Indonesia pada tahun 1848 dan pertama kali ditanam di Buitenzorg yang kini dikenal dengan nama Kebun Raya Bogor. Menurut Dirjen Perkebunan, peningkatan luas lahan tanaman kelapa sawit dari 1.126.677 hektar menjadi 6.074.926 hektar terjadi pada tahun 1986-2006 yang disertai dengan meningkatnya produksi minyak sawit setiap tahunnya yaitu dari 7.000.508 ton menjadi 16.000.211 ton (Lubis dan Widanarko, 2011: 2-9).



Gambar 2.2 Tanaman Kelapa Sawit (*Elaeis guineensis*)

Tanaman kelapa sawit merupakan salah satu tanaman perkebunan yang tumbuh subur ditanah Indonesia. Hal ini terjadi atas izin Allah SWT. sebagaimana firman-Nya dalam Q.S Al-A'raf/07: 58.

وَالْبَلَدُ الطَّيِّبُ تَخْرِجُ نَبَاتَهُ بِإِذْنِ رَبِّهِ ۗ وَالَّذِي خَبثَ لَا تَخْرِجُ إِلَّا نَكِدًا ۗ كَذَلِكَ
نُصِرْفُ الْآيَاتِ لِقَوْمٍ يَشْكُرُونَ ﴿٥٨﴾

Terjemahnya:

Dan tanah yang baik, tanaman-tanamannya tumbuh subur dengan izin Tuhan; dan tanah yang buruk, tanaman-tanamannya tumbuh merana. Demikianlah Kami menjelaskan berulang-ulang tanda-tanda (kebesaran Kami) bagi orang-orang yang bersyukur (Departemen Agama RI, 2010: 158).

Sebagaimana ada perbedaan antara tanah dan tanah, demikian juga ada perbedaan antara kecenderungan dan potensi jiwa manusia dengan jiwa manusia yang lain, firman-Nya yang artinya *Dan tanah yang baik* yakni subur dan selalu dipelihara, tanaman-tanamannya tumbuh subur dengan seizin, yakni berdasar kehendak Allah yang ditetapkan-Nya melalui hukum-hukum alam dan tanah yang buruk, yakni yang tidak subur. Allah tidak memberinya potensi untuk menumbuhkan buah yang baik, karena itu tanaman-tanamannya hanya tumbuh merana, hasilnya sedikit dan kualitasnya rendah. Demikianlah Kami mengulang-ulangi dengan cara beraneka ragam dan berkali-kali ayat-ayat, yakni tanda-tanda kebesaran dan

kekuasaan Kami bagi orang-orang yang bersyukur, ialah yang mau menggunakan anugerah Allah sesuai dengan fungsi dan tujuannya. Firman-Nya (بِإِذْنِ رَبِّهِ) bi idzni rabbihi, dengan seizin Allah dapat dipahami dalam arti tanaman itu tumbuh dengan sangat mengagumkan karena mendapat anugerah khusus dari Allah (Tafsir Al-Mishbah) (Shihab, 2002: 149).

Produksi buah tanaman kelapa sawit di Indonesia dari tahun 2010-2015 juga mengalami peningkatan. Pada tahun 2010 luas area tanaman kelapa sawit mencapai 8.385.394 dan produksinya 21.958.120 ton. Sedangkan tahun 2015 diperkirakan dapat mencapai 30.948.931 ton dan luas areanya 11.444.808 hektar (Nasir, 2014: 3). Lahan tanam kelapa sawit sampai tahun 2015 juga ditingkatkan hingga 4 juta hektar sebagai bahan baku untuk BBN yang dilaksanakan oleh Tim Nasional Pengembangan BBN (Prihandana dan Hendroko, 2008: 81-82).

Pengembangan budidaya tanaman kelapa sawit untuk menghasilkan minyak nabati jauh lebih baik karena termasuk tanaman perkebunan yang memiliki umur produktivitas yang lebih lama dengan tingkat pemanenan buah yang tinggi dalam setiap hektarnya, sehingga ketersediaannya cukup dan kemungkinan terjadinya kerugian lebih kecil (Pardamean, 2008: 3-4).

2. Klasifikasi Kelapa Sawit (*Elaeis guineensis*)

Menurut Suwanto, dkk. (2014: 134), klasifikasi kelapa sawit yaitu:

Divisi	: Spermatophyta
Subdivisi	: Angiospermae
Kelas	: Liliopsida
Ordo	: Arecales
Famili	: Arecaceae
Genus	: <i>Elaeis</i>
Spesies	: <i>Elaeis guineensis</i>

Akar tanaman kelapa sawit berbentuk serabut berwarna putih atau kekuning-kuningan, dimana ujungnya meruncing untuk memudahkan dalam menembus struktur tanah. Umumnya tanaman kelapa sawit yang produktif hanya sampai 25 tahun. Kelapa sawit yang merupakan tanaman berumah satu (*monoecious*) dan berbiji monokotil ini memiliki batang yang tidak berkambium dan tumbuh tegak lurus ke atas serta tidak bercabang. Daunnya terdiri atas beberapa bagian yang tersusun menyirip dan membentuk pelepah dengan panjang sekitar 7,5 – 9 m (Suwanto, dkk., 2014: 134).

3. Manfaat Minyak Kelapa Sawit (*Elaeis guineensis*)

Minyak dari tanaman kelapa sawit diperoleh dari hasil olahan tandan buah segarnya (TBS) yang terdiri atas 20-24 % minyak kasar atau *crude palm oil* (CPO) dari sabut (daging buah/*mesocarp*) dan 3-4% minyak inti sawit atau *palm kernel oil* (PKO) dari 6% inti sawit (Pardamean, 2008: 4-12).



Gambar 2.3 Minyak Sawit Mentah atau *Crude Palm Oil* (CPO)

Minyak kelapa sawit dapat dimanfaatkan sebagai bahan baku dari beberapa industri. Pada industri makanan digunakan sebagai bahan baku pembuatan mentega, es krim dan sebagainya. Produk berupa shampo, krim, lotion serta vitamin A juga merupakan hasil olahan dari minyak kelapa sawit. Penggunaannya sebagai pelembut

dan pelunak sering dimanfaatkan dibidang industri kulit dan dapat dipakai untuk pembuatan sabun maupun lilin. Minyak sawit juga dapat diproduksi menjadi bahan bakar diesel (biodiesel) (Pardamean, 2008: 12-14).

D. Asam Lemak Minyak Kelapa Sawit (*Elaeis guineensis*)

Asam lemak merupakan suatu asam monokarboksilat yang memiliki rantai karbon panjang dengan jumlah atom karbon genap. Penggolongan asam lemak dapat diketahui melalui terdapatnya ikatan rangkap atau tidak dalam rantai karbonnya. Asam lemak terdiri dari asam lemak jenuh (tidak terdapat ikatan rangkap) dan asam lemak tak jenuh (terdapat ikatan rangkap) (Silalahi, 2011: 454).

Asam-asam lemak memiliki titik leleh (*melting point*) yang berbeda berdasarkan panjang rantainya dan tingkat kejenuhannya. Titik leleh dari setiap asam lemak berbanding lurus dengan panjang rantainya, yaitu titik leleh meningkat seiring dengan panjangnya rantai asam-asam lemak tersebut dan sebaliknya, titik leleh semakin rendah apabila memiliki rantai asam lemak yang pendek. Namun, dilihat dari tingkat kejenuhannya, adanya ikatan rangkap C-C yang terdapat pada asam-asam lemak lebih berpengaruh terhadap titik leleh dibandingkan dari panjang rantainya. Asam lemak jenuh memiliki ikatan rangkap, sehingga titik lelehnya lebih rendah dibandingkan asam lemak jenuh, walaupun panjang rantai kedua asam lemak tersebut tidak jauh berbeda (Pahan, 2008: 243).

Tabel 2.4 Beberapa Asam Lemak Yang Biasa Ditemukan

Nama	Jumlah Karbon	Formula	Titik Leleh
Jenuh			
- Laurat	12	$\text{CH}_3(\text{CH}_2)_{10}\text{CO}_2\text{H}$	44
- Miristat	14	$\text{CH}_3(\text{CH}_2)_{12}\text{CO}_2\text{H}$	58
- Palmitat	16	$\text{CH}_3(\text{CH}_2)_{14}\text{CO}_2\text{H}$	63
- Stearat	18	$\text{CH}_3(\text{CH}_2)_{16}\text{CO}_2\text{H}$	70
Tidak jenuh			
- Palmitoleat	16	$\text{CH}_3(\text{CH}_2)_5\text{CH}=\text{CH}(\text{CH}_2)_7\text{CO}_2\text{H}$	32
- Oleat	18	$\text{CH}_3(\text{CH}_2)_7\text{CH}=\text{CH}(\text{CH}_2)_7\text{CO}_2\text{H}$	7
- Linoleat	18	$\text{CH}_3(\text{CH}_2)_4\text{CH}=\text{CHCH}_2\text{CH}=\text{CH}(\text{CH}_2)_7\text{CO}_2\text{H}$	-5
- Linolenat	18	$\text{CH}_3(\text{CH}_2\text{CH}=\text{CH})_3(\text{CH}_2)_7\text{CO}_2\text{H}$	-11

(Fessenden, 2010: 659)

Menurut Hambali (2007: 16), kandungan asam palmitat (jenuh) dan asam oleat (tidak jenuh) dalam *crude palm oil* (CPO) lebih banyak dari asam lemak lainnya. Adapun kandungan asam-asam lemaknya dapat dilihat pada Tabel 2.5 berikut.

Tabel 2.5 Komposisi Asam Lemak Minyak Mentah Sawit (*Crude Palm Oil*)

Asam Lemak	Jumlah (%)
Jenuh	
- Laurat (C12:0)	0,2
- Myristat (C14:0)	1,1
- Palmitat (C16:0)	44,0
- Stearat (C18:0)	4,5
Tidak jenuh	
- Oleat (C18:1)	39,2
- Linoleat (C18:2)	10,1

Setiap jenis tanaman yang menghasilkan minyak nabati memiliki kandungan asam lemak yang berbeda yang dapat mempengaruhi sifat fisika dan kimianya. Perbedaan ini didasarkan oleh adanya trigliserida yang merupakan penyusun utama minyak atau lemak yang berasal dari tumbuhan maupun hewan. Trigliserida merupakan senyawa triester yang terbentuk dari gliserol dan asam-asam lemak

(C8-C24) sebagai asam karboksilat yang memiliki tiga rantai panjang. Sifat fisik dan kimia *crude palm oil* (CPO) terdapat pada Tabel 2.6 (Hambali, 2007: 11-15).

Tabel 2.6 Sifat Fisika-Kimia Minyak Mentah Sawit (*Crude Palm Oil*)

Sifat	Jumlah
Bilangan penyabunan (mg KOH/g minyak)	224 – 249
Bilangan iod (wijs)	44 – 54
<i>Melting point</i> ($^{\circ}$ C)	21 – 24
Indeks refraksi (40 $^{\circ}$ C)	36,0 – 37,5
Bilangan asam (mg KOH/g)	6,9

E. Modifikasi Biodiesel

Tingginya viskositas biodiesel dan angka setana rendah yang berakibat pada sistem penyalan menyebabkan biodiesel kurang baik digunakan sebagai bahan bakar. Permasalahan tersebut dapat diatasi dengan melakukan modifikasi struktur rantai asam lemaknya (Bismo, dkk., 2005: 197).

Etil ester (biodiesel) menjadi senyawa ozonida dapat dilakukan melalui reaksi ozonolisis. Reaksi ini berfungsi untuk mengubah alkil ester menjadi senyawa-senyawa ozonida, asam karboksilat, aldehid dan keton. Senyawa ozonida terbentuk ditandai dengan kenaikan viskositas dan angka setana pada parameter uji, sedangkan adanya senyawa aldehida atau keton dilihat melalui densitas etil ester yang mengalami penurunan. Selain itu, senyawa-senyawa baru seperti asam karboksilat, aldehida, keton dan hidroperoksida yang terbentuk juga dapat ditunjukkan melalui kenaikan bilangan asam dan penurunan kadar air (Bismo, dkk., 2005: 197-203).

Modifikasi biodiesel yang sama juga telah dilakukan oleh Nurlina (2014) melalui reaksi pemaksapisahan oksidatif alkena menggunakan kalium permanganat (KMnO_4). Alkena yang akan dioksidasi dengan menggunakan reagen berupa KMnO_4

dapat menghasilkan bermacam-macam produk. Oksidasi alkena dibagi menjadi dua jenis, yaitu:

1. Oksidasi Tanpa Pemaksapisahan

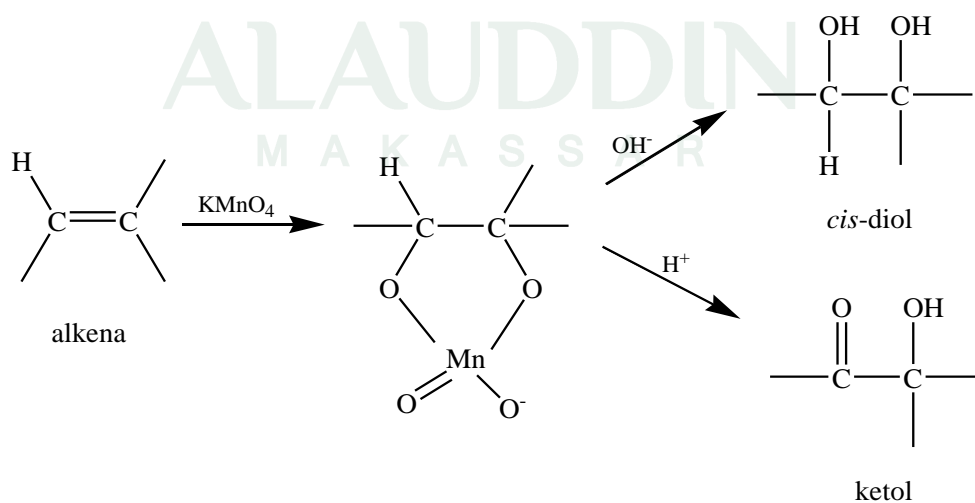
Oksidasi tanpa pemaksapisahan dapat menghasilkan suatu diol, ketol dan epoksida. Pada Tabel 2.7 terdapat beberapa reagen yang dapat digunakan dalam reaksi oksidasi tanpa pemaksapisahan.

Tabel 2.7 Reagen untuk Oksidasi Alkena Tanpa Pemaksapisahan

Reagen	Produk
KMnO ₄ dengan OH ⁻ (dingin)	1,2-diol
OSO ₄ diikuti dengan Na ₂ SO ₃	1,2-diol
C ₆ H ₅ CO ₃ H	epoksida

a. Pembentukan Cis-diol dan Ketol

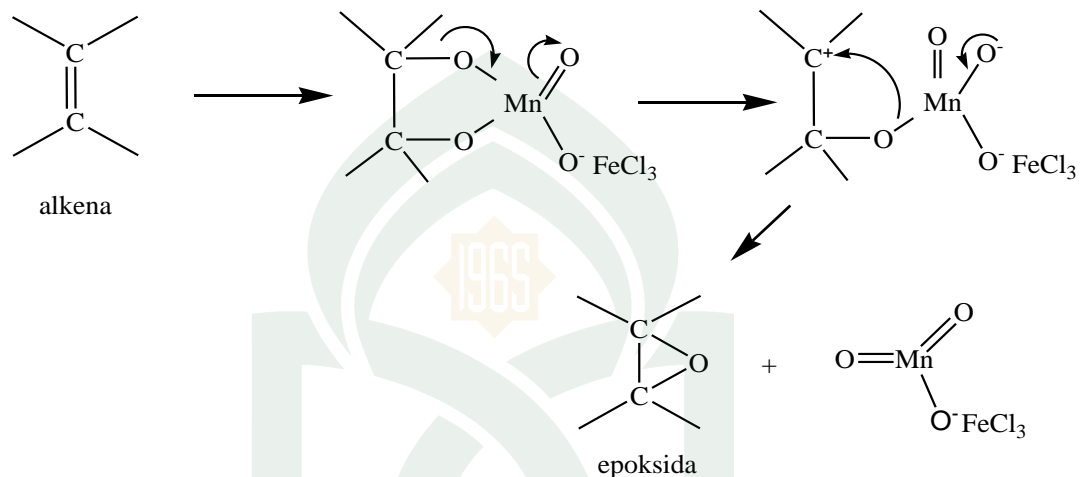
Pembentukan cis-diol dan ketol melibatkan adanya ion permanganat, dimana terbentuknya cis-diol terjadi apabila alkena direaksikan dengan KMnO₄, dalam basa, sedangkan dalam asam akan menghasilkan suatu ketol (Wiberg dan Saegebarth, 2004: 513).



Gambar 2.4 Pembentukan *cis*-diol dan Ketol

b. Pembentukan Epoksida

Produk epoksida diperoleh dari reaksi antara alkena dengan ion permanganat yang membentuk kompleks dengan besi(III) klorida (FeCl_3). Adanya pembentukan kompleks tersebut dapat meningkatkan kemampuan oksidasi (Salvador dan Hanson, 2004: 515).

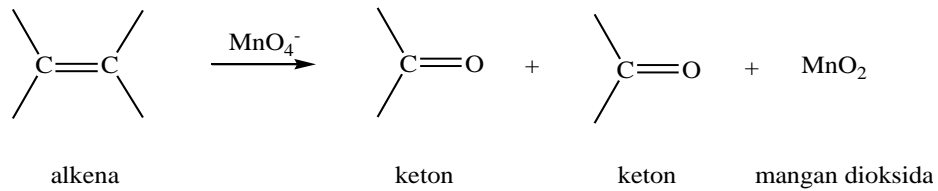


Gambar 2.5 Reaksi Pembentukan Epoksida

2. Oksidasi dengan Pemaksapisahan

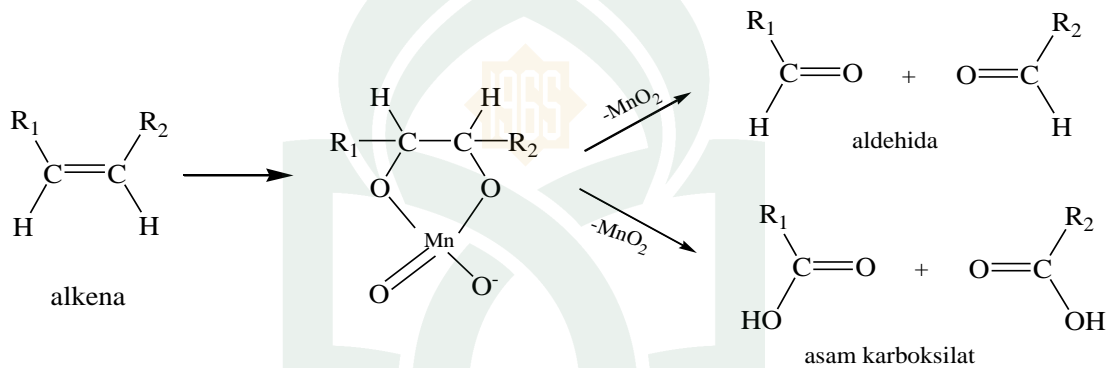
Produk yang dihasilkan dari oksidasi alkena dengan pemaksapisahan yaitu keton, aldehyd dan asam karboksilat. Salah satu jenis oksidator yang dapat digunakan yaitu kalium permanganat (KMnO_4), dimana ion permanganat (MnO_4^-) tersebut yang akan bereaksi dengan senyawa alkena.

Setiap produk pemaksapisahan oksidatif yang dihasilkan sangat bergantung pada bentuk struktur alkena dan kondisi reaksinya, dimana jika setiap atom karbon alkena mengikat dua gugus tertentu (disubstitusi) tanpa adanya atom hidrogen (H), maka terbentuk dua molekul keton (Dash, dkk., 2008: 709).



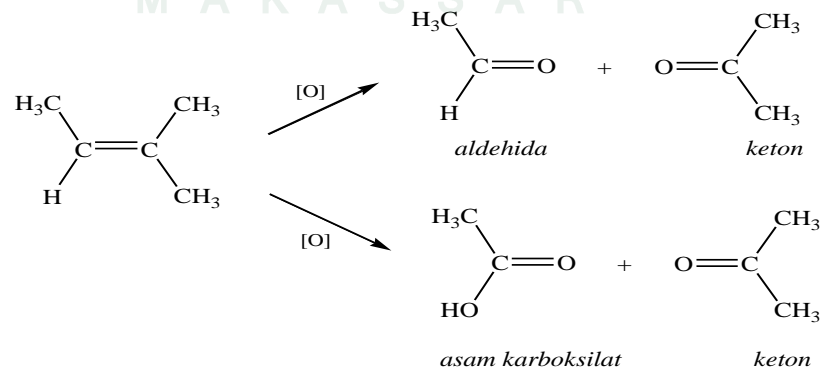
Gambar 2.6 Reaksi Oksidasi Alkena Terdisubstitusi

Apabila oksidasi dilakukan pada alkena yang hanya mengikat satu atom hidrogen (H) pada setiap atom karbonnya (monosubstitusi) akan membentuk salah satu diantara dua produk tergantung pada kondisi reaksi yaitu aldehid atau asam karboksilat (Fujitani, dkk., 2009: 324).



Gambar 2.7 Reaksi Oksidasi Alkena Termonosubstitusi

Jika reaksi oksidasi dilakukan pada alkena yang memiliki salah satu sisi karbon terdisubstitusi, maka dapat membentuk keton, sedangkan karbon tetangganya yang termonosubstitusi membentuk aldehid dan asam karboksilat Menurut Fessenden (1992: 41).



Gambar 2.8 Reaksi Oksidasi Alkena Termonosubstitusi dan Terdisubstitusi

Menurut Fessenden (1992: 415), reagen yang biasa digunakan untuk oksidasi alkena dengan pemaksapisahan yaitu kalium permanganat (KMnO_4) dan ozon (O_3) seperti yang terdapat pada Tabel 2.8.

Tabel 2.8 Reagen untuk Oksidasi Alkena dengan Pemaksapisahan

Reagen	Produk
KMnO_4 (panas)	Asam karboksilat dan keton
O_3 diikuti oleh H_2O_2 dengan H^+	Asam karboksilat dan keton
O_3 diikuti oleh Zn dengan H^+	Aldehid dan keton

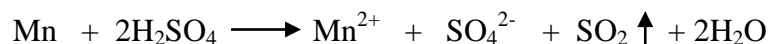
Kalium permanganat (KMnO_4) berbentuk padat dan berwarna coklat tua. Biasanya senyawa ini digunakan dalam bentuk cairan berwarna ungu. Tingkat keasaman (pH) sangat mempengaruhi kinerja KMnO_4 sebagai pengoksidasi kuat (Svehla, 1985: 115). KMnO_4 yang dilarutkan dalam suasana asam, maka ion permanganat akan mengalami perubahan bilangan oksidasi dari +7 menjadi +2.



Reaksi KMnO_4 yang dipanaskan akan menghasilkan kalium manganat (K_2MnO_4) dan mangan dioksida (MnO_2) dengan melepaskan gas oksigen (O_2) serta meninggalkan residu yang berwarna hitam (Svehla, 1985: 389-390).



Unsur mangan (Mn) yang direaksikan dengan asam sulfat pekat pada suhu yang panas akan melepaskan gas sulfur dioksida (SO_2) yang memiliki bau yang tajam (Svehla, 1985: 285).



F. Instrumen

1. Spektrofotometer *Infrared* (IR)

Spektrofotometer *Infrared* (IR) merupakan alat yang digunakan untuk melihat adanya interaksi molekul-molekul tertentu berupa spektrum yang diperoleh melalui radiasi elektromagnetik berdasarkan pada panjang gelombang tertentu. Terdapat tiga daerah panjang gelombang yaitu daerah IR dekat pada bilangan gelombang $14.290 - 4000 \text{ cm}^{-1}$, daerah IR tengah ($4000 - 400 \text{ cm}^{-1}$) dan daerah IR jauh ($700-200 \text{ cm}^{-1}$). Daerah IR tengah ($4000 - 400 \text{ cm}^{-1}$) sering diaplikasikan dalam analisis kimia untuk mendapatkan bentuk-bentuk spektrum IR (Silverstein, dkk., 2005: 72).



Gambar 2.8 Spektrofotometer *Infrared* (IR)

Bentuk spektrum dari radiasi IR akan berbeda, tergantung dari besar kecilnya frekuensi yang diterima. Apabila frekuensinya $<100 \text{ cm}^{-1}$, maka spektrum akan berbentuk garis yang berbeda-beda, sedangkan penyerapan pada frekuensi sekitar $10.000 - 100 \text{ cm}^{-1}$, terbentuk spektrum berupa pita-pita dari radiasi IR tersebut (Silverstein, dkk., 2005: 72).

Senyawa keton, aldehid, asam karboksilat dan ester karboksilat menunjukkan regang C=O yang kuat pada serapan $1870-1540 \text{ cm}^{-1}$, sehingga memudahkan dalam identifikasi spektrum IR. Adanya perbedaan posisi regang C=O dapat dipengaruhi oleh adanya konjugasi, perbedaan massa maupun adanya ikatan hidrogen baik

intramolekul maupun intermolekul. Keton pada vibrasi regang C-C(=O)-C memiliki serapan yang sedang yaitu $1300-1100\text{ cm}^{-1}$, dimana untuk keton alifatik penyerapannya berada pada daerah $1230-1100\text{ cm}^{-1}$. Daya serapan aldehid alifatik sedikit lebih besar dari keton alifatik jenuh (1715 cm^{-1}) yaitu $1740-1720\text{ cm}^{-1}$ dan serapan regang C-H aldehid yaitu pada daerah $2830-2695\text{ cm}^{-1}$ (Silverstein, dkk., 2005: 92-94).

Pada senyawa asam karboksilat memperlihatkan gugus -OH yang berbentuk lebar pada spektrum IR dengan serapan antara $3300-2500\text{ cm}^{-1}$, tetapi bentuk pita yang selalu terlihat berada pada daerah yang mendekati 3000 cm^{-1} . Sedangkan vibrasi regang C=O pada asam alifatik jenuh, absorpsinya pada daerah $1720-1706\text{ cm}^{-1}$. Senyawa-senyawa ester memiliki absorpsi yang sangat berkaitan dengan regang gugus C=O dan C-O. Pada ester alifatik jenuh, vibrasi regang C=O berada pada daerah serapan $1750-1735\text{ cm}^{-1}$. Vibrasi regang C-O pada ester berkaitan dengan vibrasi dari C-C(=O)-O dan O-C-C yang terdapat pada daerah serapan $1300-1000\text{ cm}^{-1}$, dimana pita C-C(=O)-O pada ester jenuh menunjukkan serapan yang kuat pada daerah $1210-1163\text{ cm}^{-1}$ (Silverstein, dkk., 2005: 95-98).

2. Spektrofotometer Gas Chromatography–Mass Spectrometry (GC-MS)

Spektrofotometer GC-MS merupakan alat untuk mengidentifikasi suatu senyawa berdasarkan spektrum massanya yang dibandingkan melalui data-data dari spektrum massa yang telah ditetapkan. Spektrum massa diperoleh dari proses ionisasi yaitu suatu senyawa dari sampel diubah menjadi ion-ion yang bergerak cepat, kemudian dipisahkan berdasarkan perbandingan massa terhadap muatan (m/z). Spektrum massa tersebut terdiri dari fragmen-fragmen ionik yang bermuatan positif serta memiliki massa berdasarkan nilai molekul relatifnya (Silverstein, dkk., 2005: 1-13).



Gambar 2.9 Spektrofotometer *Gas Chromatography–Mass Spectrometry* (GC-MS)

Penentuan suatu senyawa didasarkan pada massa ion yang diperoleh. Spektrum massa akan memberikan berat atau rumus molekul dari senyawa analisis berdasarkan pola fragmentasinya. Berat molekul hasil perhitungan yang diperoleh tidak selalu sama dengan hasil GC-MS karena adanya perbedaan dari kandungan unsur-unsur tertentu dalam sampel analisis (Khopkar, 2014: 409-410).

Senyawa metil ester dari asam alifatik rantai lurus terkadang memiliki bentuk *peak* ion molekul yang berbeda satu sama lain, dimana *peak* dasarnya berada pada m/z 74 yang juga menunjukkan *peak* yang kuat pada metil ester dari asam alifatik bercabang. *Peak* pada m/z 130-120 memiliki bentuk *peak* ion molekul yang lemah dibandingkan nilai m/z yang lainnya. Nilai m/z dari suatu senyawa analisis yaitu 116, 144, 142, 158 dan 186 dapat diprediksi memiliki rumus molekul $C_6H_{12}O_2$, $C_8H_{16}O_2$, $C_9H_{18}O$, $C_9H_{18}O_2$ dan $C_{11}H_{22}O_2$ yang dapat berupa senyawa-senyawa tertentu yang memiliki gugus fungsi ester, asam karboksilat maupun aldehyd (Silverstein, dkk., 2005: 29-57).

3. Ultrasonik

Ultrasonikasi merupakan suatu ilmu tentang proses dalam transfer energi dan diterapkan melalui alat ultrasonik yang memiliki gelombang berupa frekuensi >20 kHz, dimana salah satu pemanfaatannya untuk proses pencampuran dalam

bentuk cairan, seperti pencampuran bahan-bahan kimia untuk mempercepat reaksi (He, 2012: 480).



Gambar 2.10 Ultrasonik

Gelombang bunyi dari ultrasonik tersebut dapat memberikan tekanan bolak-balik dalam cairan, sehingga proses pencampuran dapat terjadi akibat adanya percepatan getaran partikel dalam suatu medium. Hal tersebut juga dapat mengakibatkan pembentukan dan pemecahan gelembung-gelembung mikro dalam medium karena adanya efek kavitasi. Pemecahan tersebut terjadi pada tekanan tinggi akibat proses penyerapan energi sudah mencapai maksimal dan suhu medium juga meningkat, sehingga menyebabkan reaksi kimia dapat terjadi (He, 2012: 481).

BAB III

METODOLOGI PENELITIAN

A. Waktu dan Tempat Penelitian

Penelitian ini dilaksanakan pada bulan Juli - Oktober 2016 di Laboratorium Kimia Organik, Fakultas Sains dan Teknologi, UIN Alauddin Makassar dan dilanjutkan analisis IR di Laboratorium Kimia Organik, Fakultas MIPA UNHAS dan analisis GC-MS di Laboratorium Forensik.

B. Alat dan Bahan

1. Alat

Alat-alat yang digunakan yaitu serangkaian GC-MS Agilent GC Tipe 7890 A MS Tipe 5975, IR Prestige-21 Shimadzu, sentrifuge *Thermo Scientific* Heraeus Labofuge 200, tanur *Thermo Scientific* Heraeus Furnace M 110, neraca analitik, serangkaian alat destilasi, ultrasonik Krisbow 47 kHz, oven, hot plate, corong pemisah, pipet skala, labu ukur, gelas ukur, gelas kimia, erlenmeyer, statif dan klem, cawan porselin, cawan petri, mortar, corong, termometer, tabung reaksi, pipet tetes, spatula, penjepit tabung dan rak tabung.

2. Bahan

Bahan-bahan yang digunakan yaitu akuadest (H_2O), arang aktif tempurung kelapa, asam klorida (HCl), etanol (C_2H_5OH) 96%, indikator *phenolphthalein* ($C_{20}H_{14}O_4$), kalium hidroksida (KOH), kalium permanganat ($KMnO_4$) teknis, kertas saring, kertas saring Whatman no. 42, kertas pH, talk ($Mg_3Si_4O_{10}(OH)_2$), minyak mentah kelapa sawit atau *crude palm oil* (CPO), dan n-heksan (C_6H_{14}).

C. *Prosedur Penelitian*

Prosedur dari penelitian ini, yaitu:

1. Penentuan Kadar *Free Fatty Acid* (FFA) CPO

a. Penentuan Kandungan FFA CPO

CPO sebanyak 5 gram ditambahkan 50 mL campuran n-heksan : etanol (1:4) dan 3 tetes indikator phenolphthalein ($C_{20}H_{14}O_4$), dipanaskan pada suhu $40^{\circ}C$ atau sampai larut. Selanjutnya ditirasi dengan kalium hidroksida (KOH) 0,1 N sampai terbentuk larutan berwarna kuning kehijauan sebagai titik akhir titrasi. Volume KOH yang digunakan dicatat untuk digunakan dalam perhitungan kadar FFA.

$$\% \text{ FFA} = \frac{\text{N KOH} \times \text{BM Asam Palmitat} \times \text{V. Titrasi}}{\text{Berat Sampel} \times 1000} \times 100\%$$

b. Penurunan FFA CPO dengan Arang Aktif Tempurung Kelapa

Adsorben arang aktif tempurung kelapa sebanyak 10 g ditambahkan ke dalam 200 mL CPO yang telah dipisahkan dari padatnya, diaduk selama 30 menit, kemudian disaring sebanyak dua kali yaitu pertama menggunakan kertas saring biasa dan terakhir dengan kertas saring whatman no. 42, dihasilkan minyak hasil filtrasi. Penentuan kadar FFA dalam CPO dilakukan kembali seperti pada prosedur bagian (a) diatas.

2. Modifikasi Triasilgliserida dengan Larutan $KMnO_4$

Modifikasi dilakukan terlebih dahulu sebelum proses transesterifikasi yaitu kalium permanganat ($KMnO_4$) sebanyak 2,6340 gram dicampurkan dalam 83,4 mL asam sulfat (H_2SO_4) 6 N, dipanaskan dalam penangas air sampai suhu $60^{\circ}C$, kemudian ditambahkan ke dalam 44,6076 gram minyak mentah sawit atau *crude palm oil* (CPO) dalam gelas kimia. Masukkan ke dalam alat ultrasonik selama 30

menit. Saring campuran tersebut dan CPO hasil modifikasi yang diperoleh disentrifuge untuk proses pemisahan, lalu dipanaskan untuk memisahkan kelebihan kalium permanganat (KMnO_4). Mengulangi perlakuan tersebut dengan menggunakan variasi waktu 45, 60, 75 dan 90 menit.

3. Sintesis Biodiesel

a. Transesterifikasi

KOH 0,5% sebanyak 0,1338 gram dilarutkan dalam etanol ($\text{C}_2\text{H}_5\text{OH}$) 55,2830 gram. Campurkan dengan 26,7645 gram CPO hasil modifikasi yang telah dipanaskan sampai suhu 60°C . Reaksikan dalam ultrasonik selama 10 menit pada suhu 50°C . Hasil reaksi dimasukkan ke dalam corong pisah. Diamkan selama 1x24 jam untuk memisahkan antara biodiesel dan gliserol.

b. Pemurnian Biodiesel

Pada proses pemurnian biodiesel ini dilakukan dengan metode dry wash atau pencucian kering menggunakan *cleaning agent* yaitu talk. Talk terlebih dahulu diaktivasi dengan cara 10 gram talk dicampurkan dengan 20 mL asam klorida (HCl) 2 M, dipanaskan pada temperatur 80°C selama 60 menit. Selanjutnya disaring dan dicuci dengan larutan aquadest (H_2O) hingga pH netral, lalu dikeringkan di dalam tanur dengan suhu 250°C selama 90 menit. Talk yang telah diaktivasi tersebut ditambahkan dalam biodiesel sebanyak 1 % (b/b) dan distirrer selama 20 menit pada suhu ruang, kemudian disaring menggunakan kertas saring Whatman no.42 untuk dipisahkan dari sisa adsorben. Biodiesel dari hasil tersebut diuapkan untuk menghilangkan sisa-sisa etanol, lalu disaring untuk memisahkan padatan yang terbentuk dari asam lemak jenuhnya. Biodiesel yang sudah murni dihitung nilai konversinya dan diidentifikasi komponen-komponen yang terdapat dalamnya menggunakan instrumen berupa IR dan GC-MS.

4. Identifikasi Biodiesel

a. Identifikasi Menggunakan *Infrared* (IR)

Pastikan semua alat terhubung dengan arus listrik. Aktifkan rangkaian alat IR. Sebelum sampel diinjeksikan, lakukan standarisasi alat dengan cara pastikan pena atau pencatat recorder pada posisi 4000 nm. Kemudian aturlah panjang gelombang pada posisi 4000 nm. Tempatkan kalibrasi pada tempatnya, biarkan hingga muncul lampu berwarna hijau pada monitor dan lakukan *scanning*. Setelah proses kalibrasi selesai, keluarkan plat kaca yang merupakan tempat sampel dari alat IR. Teteskan sampel diantara plat NaCl yang kemudian dimasukkan pada plat kaca. Gantungkan plat kaca dalam tempat sampel pada alat IR, kemudian identifikasi senyawa.

b. Identifikasi Menggunakan *Gas Chromatography–Mass Spectrometry* (GC-MS)

1) Preparasi sampel

Alkil ester asam lemak (biodiesel) dimasukkan ke dalam tabung reaksi. Tambahkan 1 mL n-heksan untuk mengekstrak biodiesel dari sampel dan alkohol. Tambahkan 3 mL larutan NaCl jenuh untuk memperjelas bidang pemisahan antara ekstrak dan alkohol. Pindahkan bagian n-heksan (fasa atas) ke dalam vial, tambahkan Na₂SO₄ anhidrat untuk memerangkap air sehingga mencegah adanya air di dalam bahan uji. Masukkan sampel uji ke dalam vial kedua dengan hati-hati agar Na₂SO₄ anhidrat tidak ikut terbawa. Sampel siap di analisis pada instrumen GC-MS

2) Identifikasi

Aktifkan GC-MS dan atur seluruh komponen yang terkait hingga sampel sebanyak 1 µl siap diinjeksikan dan siap *running*. Atur tampilan analisis. Pilih *sample login* pada monitor sementara menunggu GC dan MS pada monitor pada kondisi *Ready*. Klik *start* pada monitor, sehingga *automatic injector* membersihkan

syringe sesuai *setting*, injeksikan sampel sebanyak 1 μl ke dalam *autoinjector*. Jika grafik sudah terlihat agak datar, analisis GC dapat dihentikan dengan mengklik stop pada monitor. Puncak grafik diidentifikasi pada tiap waktu retensi dari puncak awal sampai puncak akhir dan dicocokkan dengan *references* pada program GCMS dengan memilih opsi *similary search*. Hasil identifikasi akan menunjukkan komponen yang paling mirip dari beberapa komponen dari bobot molekul serta tinggi *intens peaknya*. Setelah itu, nonaktifkan instrumen GC-MS.



BAB IV

HASIL DAN PEMBAHASAN

A. Hasil Penelitian

1. Kadar *Free Fatty Acid* (FFA) *Crude Palm Oil* (CPO)

Kadar FFA dari CPO yaitu 2,0216 % dan setelah diturunkan menggunakan arang aktif menjadi 0,9215 %.

2. Nilai Konversi Biodiesel

Tahap awal dari penelitian ini adalah modifikasi triasilgliserida (TAG) dari *Crude Palm Oil* (CPO) atau minyak sawit mentah yang kemudian dilanjutkan dengan proses transesterifikasi untuk pembuatan biodiesel. Modifikasi TAG menggunakan beberapa variasi waktu oksidasi oleh kalium permanganat (KMnO_4) 3,16%. Nilai konversi biodiesel yang diperoleh seperti yang terdapat pada Tabel 4.1.

Tabel 4.1 Nilai Konversi Biodiesel Dari Beberapa Variasi Waktu Oksidasi Triasilgliserida

No.	Waktu Reaksi (menit)	Nilai konversi (%)
1.	30	22,1
2.	45	5
3.	60	17,3
4.	75	3,7
5.	90	9,2

3. Analisis *Infrared* (IR)

Biodiesel yang telah dimurnikan dianalisis menggunakan spektrofotometer *Infrared* (IR) yang berfungsi untuk mengidentifikasi adanya gugus-gugus fungsi yang terdapat pada sampel. Tabel 4.2 memperlihatkan hasil serapan vibrasi regang gugus-gugus senyawa ester (biodiesel) dari CPO dengan menggunakan beberapa variasi waktu oksidasi.

Tabel 4.2 Nilai Serapan dari Vibrasi Regang Gugus-Gugus Senyawa dari CPO Murni dan Biodiesel dari Beberapa Variasi Waktu Oksidasi KMnO_4 3,16% pada Triasilgliserida

No	Perlakuan	Rentang Serapan (cm^{-1})*	Serapan (cm^{-1})	Tipe Vibrasi Regang*	
(1)	(2)	(3)	(4)	(5)	
1.	<i>Crude Palm Oil</i> (CPO) Murni	3000 – 2840	2925,15 ; 2854,74	C-H (sp^3)	
		1667 – 1640	1654,98	=C-H (sp^2)	
		1850 – 1600	1745,64	C=O	
		1000 – 1300	1114,89 ; 1163,11 ; 1236,41	C-O	
2.	Biodiesel dari variasi oksidasi TAG	30 menit	3800 – 2700	3446,79 ; 3010,88	O-H
			3000 – 2840	2918,30 ; 2850,79	C-H (sp^3)
			1850 – 1600	1701,22 ; 1739,79	C=O
			1000 – 1300	1051,20 ; 1118,71 ; 1205,51 ; 1290,38 ; 1379,10	C-O
			1900 – 1500	1639,49	C=C
			3800 – 2700	3475,73	O-H
		45 menit	3000 – 2840	3003,17 ; 2920,23 ; 2850,79	C-H (sp^3)
			1850 – 1600	1739,79 ; 1708,93	C=O
			1000 – 1300	1024,20 ; 1097,50 ; 1114,86 ; 1176,58 ; 1199,72 ; 1246,02 ; 1294,24	C-O
			3800 – 2700	3556,74	O-H
		60 menit	3000 – 2840	3003,17 ; 2916,37 ; 2850,79	C-H (sp^3)
			1667 – 1640	1641,42	=C-H (sp^2)
			1850 – 1600	1737,86	C=O
			1000 – 1300	1049,28 ; 1114,86 ; 1195,87 ; 1300,02	C-O
			1900 – 1500	1689,64	C=C
			3800 – 2700	3469,94	O-H
		75 menit	3000 – 2840	3003,17 ; 2918,30 ; 2850,79	C-H (sp^3)
			1667 – 1640	1651,07	=C-H (sp^2)
			1850 – 1600	1739,79 ; 1705,07	C=O
			1000 – 1300	1053,13 ; 1114,86 ; 1201,65 ; 1294,24	C-O
			3800 – 2700	3471,87	O-H
		90 menit	3000 – 2840	3005,10 ; 2920,23 ; 2852,72	C-H (sp^3)
			1850 – 1600	1741,72 ; 1708,93	C=O
			1000 – 1300	1016,49 ; 1053,13 ; 1095,57 ; 1114,86 ; 1172,72 ; 1197,79 ; 1244,09 ; 1288,45	C-O

* Sumber: Silverstein, dkk. (2005)

4. Analisis Gas Chromatography–Mass Spectrometry (GC-MS)

a. Komponen-komponen CPO dan Biodiesel

Analisis menggunakan GC-MS juga harus dilakukan selain dari analisis berdasarkan hasil IR. Hal ini karena GC-MS mampu mendukung hasil dari analisis IR yang memberikan data berupa kadar dari komponen-komponen dari sampel analisis disertai dengan nama senyawanya. Tabel 4.3 menunjukkan hasil dari analisis GC-MS.

Tabel 4.3 Nilai Waktu Retensi dan Kadar Komponen Senyawa dari Biodiesel dengan Beberapa Variasi Waktu Oksidasi KMnO_4 3,16% pada CPO

No	Perlakuan	Waktu Retensi (menit)	Kadar (%)	
1.	<i>Crude Palm Oil</i> (CPO) Murni	14,69	35,54	
		16,53	2,57	
		17,25	13,35	
		22,79	8,18	
2.	Biodiesel dari variasi oksidasi TAG	30 menit	5,91	7,74
			11,81	26,93
			15,32	6,60
			17,66	3,04
		45 menit	23,22	16,78
			9,19	2,07
			11,81	54,71
			12,61	2,90
			15,32	21,94
			17,66	7,12
		60 menit	19,75	2,88
			5,92	10,95
			11,81	51,13
			15,32	17,56
			17,66	6,70
			19,75	3,27
		75 menit	21,44	1,96
			8,79	0,31
			11,97	18,76
			20,13	12,84
			21,43	1,59
			21,83	14,51
		90 menit	24,89	6,84
			26,27	6,47
6,00	23,14			
11,80	54,83			
		15,32	6,03	
		17,66	2,95	

b. Fragmentasi

Fragmentasi yang dihasilkan dari analisis GC-MS dari setiap variasi waktu dapat dilihat dari tabel-tabel berikut:

Tabel 4.4 Fragmentasi Masing-masing Komponen CPO Murni dan Komponen Biodiesel dari Hasil Modifikasi Triasilgliserida CPO

No	Perlakuan	Pola Fragmentasi	Prediksi Senyawa	Kualitas (Quality)	
1.	<i>Crude Palm Oil</i> (CPO) Murni	256, 213, 171, 129, 85, 73, 55, 45	Asam n-heksadekanoat	93	
		264, 222, 180, 111, 97, 69, 55, 41	Asam 9-oktadekanoat metil ester	96	
		264, 111, 97, 83, 69, 55, 41	Asam oleat	95	
		257, 239, 134, 98, 84, 74, 55	2-Heksadekanoil Gliserol	86	
2.	Biodiesel dari variasi oksidasi TAG	30 menit	115, 87, 73, 60, 55, 41	Asam Heksanoat	90
			158, 129, 115, 87, 73, 60, 41	Asam Nonanoat	94
			214, 183, 171, 143, 87, 74, 55, 43	Asam Dodekanoat Metil Ester	97
			242, 199, 143, 87, 74, 55, 43	Asam Tetradekanoat Metil Ester	99
			286, 268, 119, 91, 69, 41	Retinol	44
		45 menit	158, 127, 115, 101, 87, 74, 55, 43	Asam Oktanoat Metil Ester	90
			158, 129, 115, 87, 73, 60, 41	Asam Nonanoat	94
			186, 155, 143, 87, 74, 55, 43	Asam Dekanoat Metil Ester	94
			214, 183, 171, 143, 87, 74, 57	Metil 10-metil undekanoat	97
			242, 199, 143, 87, 74, 55, 43	Asam Tetradekanoat Metil Ester	99
		60 menit	270, 227, 143, 87, 74, 55, 43	Asam Heksadekanoat Metil Ester	97
			115, 87, 73, 60, 55, 41	Asam Heksanoat	86
			158, 129, 115, 87, 73, 60, 41	Asam Nonanoat	94
			214, 183, 171, 143, 87, 74, 55, 43	Asam Dodekanoat Metil Ester	97
			242, 199, 143, 87, 74, 55, 43	Asam Tetradekanoat Metil Ester	99
		75 menit	270, 227, 143, 87, 74, 55, 43	Asam Heksadekanoat Metil Ester	98
			264, 222, 180, 110, 97, 83, 69, 55, 41	Asam 9-Oktadekanoat Metil Ester	93
			124, 114, 98, 82, 70, 57, 43	Nonanal	91
			158, 129, 115, 87, 73, 60, 41	Asam Nonanoat	94
			256, 213, 171, 129, 87, 73, 60, 43	Asam n-Heksadekanoat	99
		90 menit	296, 264, 222, 180, 110, 87, 74, 55, 41	Asam 7-Oktadekanoat Metil Ester	99
			282, 264, 222, 111, 97, 83, 69, 55, 41	9-Oktadekanoat	99
			330, 299, 239, 134, 98, 74, 43	2-Heksadekanoil Gliserol	91
			354, 264, 109, 81, 55	2-Oleoilgliserol	95
			117, 87, 73, 60, 41	Asam Heksanoat	90
		90 menit	158, 129, 115, 87, 73, 60, 41	Asam Nonanoat	95
			214, 183, 171, 143, 87, 74, 55, 43	Asam Dodekanoat Metil Ester	97
			242, 199, 143, 87, 74, 55, 43	Asam Tetradekanoat Metil Ester	98

B. Pembahasan

1. Kadar *Free Fatty Acid* (FFA) CPO

Free Fatty Acid (FFA) atau Asam lemak bebas (FFA) dalam *Crude Palm Oil* (CPO) dapat mempengaruhi reaksi transesterifikasi. Menurut Pardamean (2008: 14), kandungan CPO dapat mencapai 3-4%. Apabila reaksi transesterifikasi dilakukan pada minyak dengan kadar FFA yang tinggi, maka akan terbentuk sabun akibat reaksi antara katalis dengan FFA. Menurut Gerpen (2004: 36), jumlah maksimum asam lemak bebas yang dapat diterima berdasarkan penggunaan katalis yaitu <2 %, dan sebaiknya kurang <1%.

CPO yang digunakan dalam penelitian ini diambil dari PT. Agro Nusa Abadi (ANA) yang berada di Kabupaten Morowali, Sulawesi Tengah. CPO tersebut, sebagian membentuk padatan karena memiliki kandungan asam lemak jenuh yang tinggi. Menurut Hambali (2007: 16) kandungan asam palmitat ($C_{15}H_{31}COOH$) dalam CPO mencapai 44 %, yang dapat berbentuk padatan pada suhu ruang. Hal ini menyebabkan penentuan FFA lebih sukar dilakukan, sehingga dilakukan pemisahan antara CPO dengan bentuk padatnya.

Penentuan kandungan FFA menggunakan cara titrasi asam dan basa dengan mencampurkan CPO ke dalam campuran n-heksan : etanol yang digunakan sebagai pelarut dan disertai dengan pemanasan. Indikator PP atau phenolphthalein ($C_{20}H_{14}O_4$) juga ditambahkan sebagai penentuan titik akhir titrasi. Saat ditambahkan, indikator PP tersebut tidak berwarna karena tercampur dengan CPO yang memiliki asam lemak bebas. Titrasi dilakukan dengan menggunakan basa kalium hidroksida 0,1 N yang berfungsi untuk menentukan kandungan FFA dari CPO. Volume KOH yang digunakan sampai titik akhir tirasi dipakai dalam proses penentuan FFA. Titik akhir titrasi ditandai dengan adanya perubahan warna menjadi hijau kekuningan karena

indikator PP akan mengalami perubahan warna yaitu tidak berwarna pada larutan asam atau netral dan ketika berada pada larutan basa akan mengalami perubahan warna tertentu. Pada umumnya, indikator PP akan berubah warna menjadi merah muda pada larutan basa, tetapi adanya kandungan karotenoid pada CPO yang diindikasikan dengan warna jingga kemerahan (kuning kemerahan) menyebabkan titik akhir titrasi ditandai dengan warna kuning kehijauan.

Kandungan FFA CPO sebelum pemurnian yaitu 2,0216 % dan setelah pemurnian menjadi 0,9215 %. Dengan demikian, FFA dari CPO sudah memenuhi standar untuk dilakukan proses transesterifikasi. Proses pemurnian dilakukan dengan menggunakan karbon aktif dari tempurung kelapa sebagai adsorben. Karbon aktif ini digunakan karena bersifat non polar, sehingga mampu mengabsorpsi asam lemak bebas dalam CPO.

2. Hasil Modifikasi Triasilgliserida dengan Larutan KMnO_4

Modifikasi triasilgliserida (TAG) dimaksudkan untuk mengubah struktur dari TAG yang terkandung dalam CPO melalui asam lemak jenuhnya yang terdapat ikatan rangkap dengan tujuan untuk memproduksi biodiesel. Modifikasi dilakukan dengan menggunakan reaksi pemaksapisahan oksidatif dengan bantuan oksidator kalium permanganat (KMnO_4) dan dicampurkan menggunakan alat ultrasonik dengan variasi waktu 30, 45, 60, 75 dan 90 menit.

Kadar KMnO_4 yang digunakan dalam modifikasi ini yaitu 3,16%. Penelitian Nurlina (2014), telah melakukan modifikasi pada biodiesel dari biji kemiri menggunakan KMnO_4 3,16%. Tetapi dalam penelitiannya tersebut tidak menghasilkan pemutusan ikatan rangkap atau tidak terjadi proses oksidasi dengan variasi waktu 20, 30, 40 dan 50 menit. Dengan demikian, dalam penelitian ini proses oksidasi dilakukan pada TAG dalam CPO untuk diproduksi menjadi biodiesel.

KMnO₄ teknis dalam bentuk kristal dilarutkan menggunakan asam sulfat (H₂SO₄) 6 N dan dipanaskan. Menurut Fessenden (1992), oksidasi alkena dengan cara pemaksapisahan akan terjadi pada larutan KMnO₄ panas. Sedangkan H₂SO₄ digunakan untuk mempercepat proses pemutusan ikatan rangkap C-C oleh KMnO₄ dalam proses oksidasi. Larutan KMnO₄ tersebut dicampurkan ke dalam CPO dan diberi gelombang ultrasonik selama waktu yang ditentukan.

Penggunaan ultrasonik berfungsi sebagai alat untuk mempercepat proses pencampuran. Alat ultrasonik yang memiliki gelombang bunyi yang dihasilkan dari tenaga listrik akan mentransfer energi melalui media perantara berupa cairan ke dalam campuran CPO dan larutan KMnO₄, sehingga menciptakan getaran dalam campuran tersebut. Efek kavitasi akan terjadi yaitu terbentuknya gelembung-gelembung mikro yang lama-kelamaan akan bertambah besar dan akhirnya pecah. Hal inilah yang menyebabkan proses pencampuran terjadi.

Hasil modifikasi tersebut akan membentuk residu berwarna hitam (MnO₂) akibat reaksi yang dihasilkan apabila KMnO₄ dipanaskan.



CPO hasil modifikasi, disaring dan disentrifuge untuk melakukan proses pemisahan dengan residu yang terbentuk dan larutannya. CPO hasil pemisahan dipanaskan untuk mengendapkan kelebihan KMnO₄. Terhadap hasil modifikasi TAG ini, dilakukan analisis Infrared (IR) untuk mengetahui berjalannya reaksi oksidasi dan kemudian dilanjutkan dengan proses transesterifikasi.

3. Hasil Sintesis Biodiesel

a. Reaksi Transesterifikasi

Pembuatan biodiesel dapat dilakukan dengan proses transesterifikasi menggunakan katalis basa dan alkohol. Pembuatan biodiesel secara alkoholis ini

merupakan proses transesterifikasi dimana terjadi pemutusan tiga rantai gugus ester dari setiap cabang trigliserida dan mengubahnya menjadi 3 molekul metil atau etil ester (biodiesel) dan 1 molekul gliserol.

Katalis yang digunakan dalam penelitian ini yaitu kalium hidroksida 0,5 %. Alkohol yang dipakai yaitu etanol (C_2H_5OH) 96% dengan perbandingan rasio mol CPO dan etanol 1:12. Etanol dipilih karena etanol diproduksi dari tanaman, sehingga produksi bahan bakar biodiesel lebih berkelanjutan. Alkohol digunakan berlebihan untuk memastikan bahwa CPO akan terkonversi lebih besar menjadi biodiesel. Konsentrasi katalis juga mempengaruhi yield biodiesel. Supardan (2011) melakukan transesterifikasi minyak goreng bekas menggunakan ultrasonik untuk menghasilkan biodiesel dengan yield tertinggi dengan rasio mol minyak terhadap etanol sebesar 1:12 dan jumlah katalis KOH 1%. Penggunaan katalis KOH 1% dalam penelitian ini menghasilkan *crude* biodiesel yang cepat memadat karena tingginya kandungan asam lemak jenuh CPO, sehingga hanya digunakan KOH 0,5%. Penggunaan katalis yang semakin besar juga dapat mengakibatkan terbentuknya sabun, sehingga yield biodiesel akan menurun dan proses pemisahan dengan gliserol menjadi sulit. Larutan etoksi dibuat dengan melarutkan KOH 0,5% ke dalam Etanol 96% dan ditambahkan ke dalam CPO.

Penelitian ini menggunakan alat ultrasonik dengan frekuensi 47 kHz untuk mempercepat pencampuran dalam reaksi transesterifikasi. Suhu dalam reaksi tetap dijaga pada suhu $50^{\circ}C$ sesuai dengan penelitian yang dilakukan Supardan (2011). Penggunaan suhu yang terlalu tinggi juga dapat mengakibatkan etanol cepat menguap. Waktu yang digunakan selama proses reaksi yaitu 10 menit berdasarkan pada penelitian Susilo (2008), yang mana waktu terbaik untuk proses transesterifikasi jarak pagar menggunakan ultrasonik dengan frekuensi 19,3 kHz dan frekuensi 29,53

kHz yaitu 10 menit. Perbedaan dari penelitian ini yaitu dibedakan dari tingkat frekuensi dan sampel yang digunakan.

b. Hasil Pemurnian Biodiesel

Pemurnian biodiesel bertujuan untuk menghilangkan komponen-komponen yang tidak diinginkan dalam biodiesel, sehingga mampu memperbaiki kualitas dari biodiesel tersebut. Pemurnian biodiesel dapat dilakukan dengan metode *dry wash* (pencucian kering) menggunakan *cleaning agent* seperti talk ($Mg_3Si_4O_{10}(OH)_2$) yang merupakan mineral magnesium silikat (magnesol) (terhidrasi) yang digunakan sebagai adsorben. Talk yang digunakan dalam penelitian ini telah diaktivasi dan berbentuk bubuk berwarna putih. Sifat dari talk yaitu permukaannya yang hidrofobik (bersifat non polar) dan pinggirannya yang bersifat hidrofilik (bersifat polar), sehingga penggunaannya sebagai adsorben dapat menyerap pengotor seperti gliserol, alkohol yang masih terdapat dalam biodiesel. Penggunaan metode *dry wash* memiliki kelebihan dibandingkan dengan *water wash* atau pencucian menggunakan air yaitu diantaranya mengurangi penggunaan air, waktu yang dibutuhkan relatif singkat dan tidak menghasilkan emulsi.

Jumlah talk yang digunakan sangat mempengaruhi proses pemurnian biodiesel. Penelitian yang dilakukan oleh Darmawan (2013) yang melakukan pemurnian pada suhu $55^{\circ}C$ dengan magnesol 1% dari berat biodiesel adalah yang terbaik dari segi karakteristik biodiesel. *Crude* biodiesel dari CPO yang apabila dimurnikan menggunakan sistem *water wash* selalu terjadi emulsi dan berbentuk padat. Hal ini juga terjadi apabila pemurnian dengan sistem *dry wash* dilakukan dengan adanya pemanasan yang menyebabkan keseluruhan biodiesel menjadi padat. Terbentuknya padatan tersebut akibat tingginya kandungan asam lemak jenuh seperti asam palmitat yang akan membentuk padatan pada suhu ruang. Dengan demikian,

proses pemurnian dengan menggunakan adsorben berupa talk ini dilakukan dengan mencampurkan talk 1% dari berat crude biodiesel disertai pengadukan pada suhu ruang. Pengadukan berfungsi untuk mempercepat proses adsorpsi.

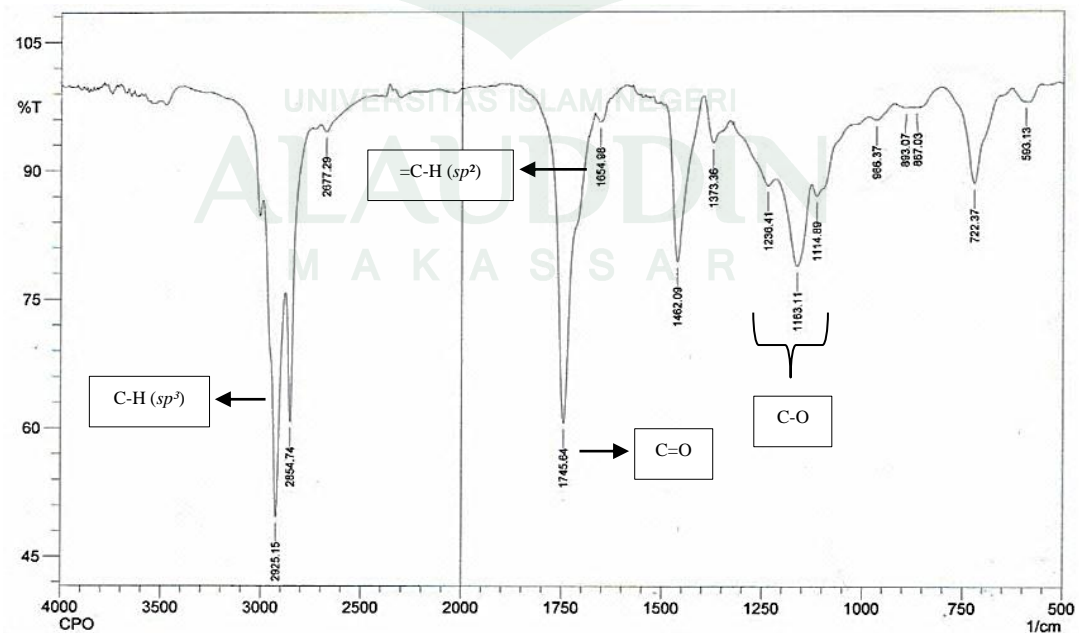
Biodiesel hasil pemurnian didiamkan selama \pm 24 jam pada suhu ruang hingga terbentuk padatan yang selanjutnya disaring untuk dipisahkan dari biodiesel. Proses ini dikenal sebagai metode *winterization*. Akan tetapi dalam proses *winterization*, biodiesel didiamkan dalam suhu yang rendah hingga terbentuk padatan. Penggunaan pada suhu ruang ini karena proses konversi biodiesel yang tidak sempurna menyebabkan etanol masih terdapat pada biodiesel dan menyebabkan suhunya lebih rendah, sehingga sebagian biodiesel cepat memadat. Proses ini juga berguna untuk menguapkan kelebihan etanol. Terbentuknya padatan tersebut terjadi akibat tingginya kandungan asam lemak jenuh yang akan memadat pada suhu ruang, sedangkan asam lemak tak jenuhnya berbentuk cair pada suhu ruang. Hal ini terjadi akibat titik leleh dari asam lemak jenuh lebih tinggi dibandingkan asam lemak tak jenuh. Dengan demikian, proses ini dapat memisahkan antara asam lemak jenuh dan tidak jenuh dalam biodiesel.

Nilai konversi biodiesel dengan variasi waktu modifikasi 30, 45, 60, 75 dan 60 menit berturut-turut yaitu 22,1 %, 5 %, 17,3%, 3,7 %, 9,2 %. Persentase biodiesel yang rendah ini disebabkan terbentuknya padatan dari biodiesel, sehingga yield biodiesel yang dihasilkan juga bertambah kecil. Hal ini juga dapat disebabkan oleh penggunaan jenis alkohol dalam proses transesterifikasi. Metanol dapat menghasilkan konversi biodiesel yang lebih tinggi dibandingkan etanol karena sifat metanol yang lebih reaktif karena memiliki rantai karbon yang lebih pendek dibandingkan etanol.

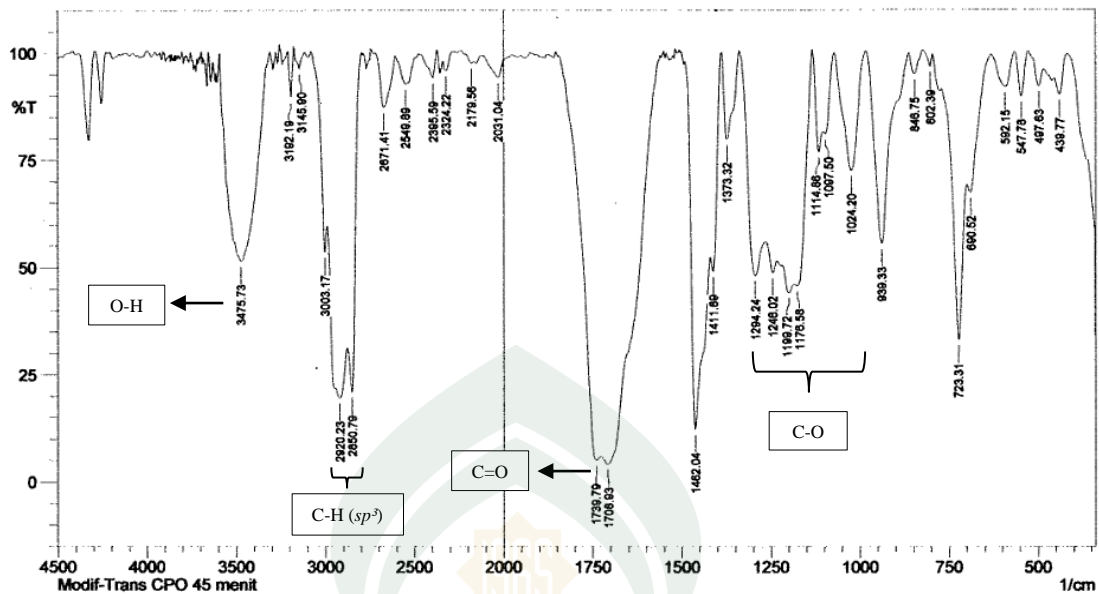
4. Hasil Identifikasi Biodiesel

a. Analisis Infrared (IR)

Analisis senyawa dalam sampel CPO dan biodiesel murni dapat dilakukan dengan menggunakan spektrofotometer IR yang dapat digunakan untuk mengetahui gugus-gugus fungsi yang terkandung di dalamnya. Analisis IR ini dilakukan sebelum dan sesudah modifikasi triasilgliserida menjadi biodiesel dengan variasi waktu, sehingga perbedaannya dapat terlihat. Hasil analisis IR pada CPO murni yang belum dimodifikasi tidak terdapat regang -OH pada rentang serapan $3800\text{-}2700\text{ cm}^{-1}$ seperti yang terlihat pada Gambar 4.1. Sedangkan CPO sesudah dimodifikasi menjadi biodiesel terdapat regang -OH pada setiap variasi waktu oksidasi. Hal ini merupakan salah satu indikasi bahwa proses modifikasi menggunakan oksidator kalium permanganat (KMnO_4) 3,16% mampu mengoksidasi ikatan rangkap dari asam-asam lemak tidak jenuh yang terkandung dalam CPO yang akan diproduksi menjadi biodiesel.



Gambar 4.1 Spektrum IR CPO Murni



Gambar 4.2 Spektrum IR Biodiesel Variasi Oksidasi 45 Menit

Spektrum IR biodiesel menggunakan variasi oksidasi 45 menit menunjukkan adanya regang -OH , karbonil (C=O), C-O , $\text{C-H (} sp^2 \text{)}$ dan tidak terdapat regang $\text{=C-H (} sp^3 \text{)}$ pada daerah serapan $1667\text{-}1640\text{ cm}^{-1}$. Hal ini mengindikasikan bahwa telah terjadi reaksi oksidasi pada ikatan rangkap asam lemak tidak jenuh dengan menghasilkan asam karboksilat yang dibuktikan dengan adanya regang -OH pada serapan $3475,73\text{ cm}^{-1}$ dan regang C=O . Regang -OH pada variasi 45 menit, absorbansinya tidak lebih kuat dari variasi oksidasi 30, 60 dan 75 menit yang bentuknya juga melebar, sedangkan pada variasi 90 menit, absorbansinya sangat kecil dibandingkan variasi lainnya yang dapat dilihat pada lampiran IV.

Variasi oksidasi 60 dan 75 menit memiliki vibrasi regang $\text{=C-H (} sp^2 \text{)}$. Sedangkan untuk variasi 30, 45 menit dan 90 menit, tidak terdapat regang $\text{=C-H (} sp^2 \text{)}$ tersebut. Hal ini memungkinkan terjadinya reaksi oksidasi pada ikatan rangkap asam-asam lemak jenuh dalam CPO. Regang C=C hanya muncul pada variasi 60 dan

30 menit. Sedangkan hasil serapan untuk regang C-H (sp^3) terdapat pada semua variasi reaksi yang dapat menandakan bahwa adanya rantai asam lemak alifatik.

Hasil spektrum IR pada Tabel 4.2 menunjukkan bahwa komponen-komponen yang dihasilkan dari setiap variasi merupakan senyawa ester. Hal ini dibuktikan melalui adanya regang C-O pada rentang serapan $1000-1300\text{ cm}^{-1}$ dari setiap variasi oksidasi dan didukung oleh adanya regang karbonil C=O yang sangat jelas dan berada ditengah-tengah spektrum. Sedangkan kandungan ester yang terdapat dalam CPO murni dapat dilihat dari hasil serapannya pada Tabel 4.2 merupakan komponen minor.

b. Analisis GC-MS

Sampel CPO yang telah dimodifikasi pada asam-asam lemak tidak jenuhnya, selain diidentifikasi menggunakan spektrofotometer IR, juga harus dilengkapi dengan data spektrofotometer lain seperti GC-MS. Hal ini disebabkan hasil IR hanya memberikan informasi mengenai gugus-gugus yang terdapat pada sampel analisis, sehingga data yang diperlukan tidak lengkap. Hasil GC-MS ini digunakan untuk melihat komponen-komponen hasil reaksi dan kadarnya masing-masing serta dugaan senyawa komponen berdasarkan data kelimpahan massa dan fragmentasi.

Hasil analisis GC-MS pada CPO murni memperlihatkan bahwa kandungan terbesarnya diprediksi yaitu asam palmitat 35,54%, asam oleat 13,25% pada waktu retensi atau retention time (rT) 14,691 menit dan 17,250 menit, sedangkan asam linoleat memiliki kandungan 0,69%. Menurut Hambali (2007: 16), kandungan asam-asam lemak dalam CPO yaitu asam palmitat 44,0%, asam oleat 39,2% dan asam linoleat 10,1%. Tidak sesuai hasil teori dan hasil GC-MS dari sampel CPO dari penelitian ini disebabkan karena sebelumnya telah dilakukan pemisahan CPO

dari minyak yang bentuk padatnya dan hanya CPO yang tidak memadat diambil untuk sampel analisis.

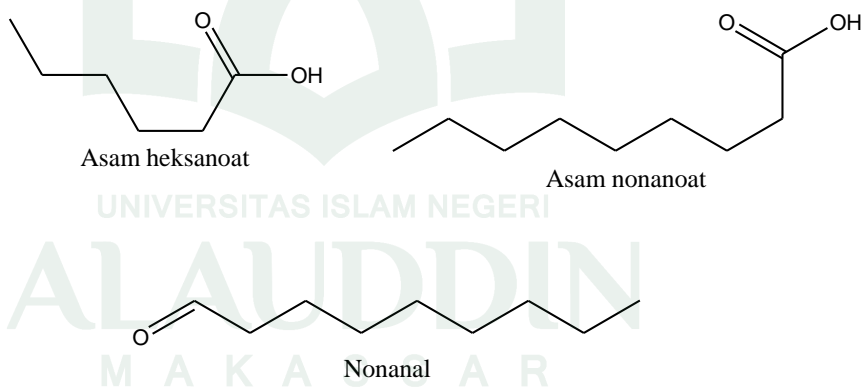
Hasil GC-MS pada variasi 30 menit menunjukkan kandungan terbesarnya yaitu diprediksi sebagai asam nonanoat 26,93%, vitamin A (retinol) 16,78% dan asam heksanoat 7,74%. Vitamin A merupakan kandungan minor dari CPO dan asam nonanoat serta asam heksanoat yang sebelumnya tidak terdapat pada CPO murni kemungkinan terbentuk akibat adanya reaksi oksidasi KMnO_4 3,16% yang memotong ikatan rangkap dari asam oleat dan linoleat pada TAG yang bisa menghasilkan senyawa asam karboksilat. Sedangkan senyawa yang menunjukkan adanya ester yaitu terdapat pada rT 15,326 dan 17,666 menit yang diprediksi sebagai senyawa asam dekanat metil ester 6,60% dan asam miristat metil ester 3,04%.

Pada variasi oksidasi 45 menit yang dianalisis dengan GC-MS juga diprediksi menghasilkan senyawa mayor yaitu asam nonanoat 54,71%. Asam nonanoat dapat diperoleh dari hasil oksidasi pada ikatan rangkap asam oleat yang terkandung dalam CPO dan data spektrumnya dapat dilihat pada lampiran VI. Pada variasi ini terbentuk senyawa ester berantai pendek yaitu diprediksi senyawa asam oktanoat metil ester 2,07% yang dapat terbentuknya karena adanya proses oksidasi yang memotong ikatan rangkap TAG menjadi rantai yang lebih pendek.

Pada variasi 60 menit terjadinya oksidasi yang sama dengan variasi 30 menit yaitu terbentuk senyawa yang diprediksi sebagai asam heksanoat 10,95% dan asam nonanoat 51,13%. Dalam variasi 60 menit ini masih terdapat asam oleat metil ester dengan kadar 1,96% yang menandakan ikatan rangkapnya tidak teroksidasi. Akan tetapi, dengan adanya asam heksanoat dan asam nonanoat dengan kadar yang tinggi menandakan sebagian besar asam oleat dan linoleat teroksidasi dan mengalami pemutusan dengan rantai TAG menghasilkan asam karboksilat dan TAG berantai

pendek. TAG berantai pendek tersebut terkonversi menjadi biodiesel yaitu asam dekanoat metil ester pada variasi 30 menit, asam dodekanoat metil ester pada variasi 45 dan 60 menit.

Hasil analisis pada variasi 75 menit menunjukkan adanya oksidasi dengan menghasilkan senyawa yang diprediksi nonanal atau nonanaldehid 0,31% dan asam nonanoat 18,76%. Hal ini menandakan pemutusan ikatan rangkap menghasilkan senyawa aldehyd dan asam karboksilat. Menurut Fujitani, dkk. (2009: 324), proses oksidasi alkena termonosubstitusi dengan ion permanganat (MnO_4^-) akan menghasilkan senyawa aldehyd dan asam karboksilat. Struktur senyawa yang terbentuk dari proses oksidasi pada asam lemak oleat menghasilkan asam nonanoat dan nonanal serta asam lemak linoleat menghasilkan asam heksanoat dapat dilihat pada Gambar 4.3.



Gambar 4.3 Struktur Komponen Hasil Modifikasi

Pada variasi 75 menit diprediksi masih terdapat asam miristat 12,84% dan asam oleat 14,51% yang artinya dalam transesterifikasi, proses konversi biodiesel dan pemisahannya dengan gliserol tidak berjalan sempurna, sehingga apabila biodiesel tersebut didiamkan dalam beberapa hari akan terbentuk gliserol yang akan terpisah kembali dengan biodiesel. Hal ini terbukti bahwa hasil biodiesel yang

dihasilkan tidak bening. Sedangkan variasi 90 menit juga terjadi reaksi oksidasi menghasilkan senyawa yang diprediksi sebagai asam heksanoat sebesar 23,14% dan asam nonanoat 54,83% serta terbentuk senyawa asam dodekanoat metil ester 6,03% dan asam tetradekanoat metil ester 2,95%. Akan tetapi, hasil modifikasi 90 menit ini menghasilkan biodiesel yang keruh dan tidak sesuai dengan bentuk fisik biodiesel pada umumnya berwarna kekuningan dan bening.



UNIVERSITAS ISLAM NEGERI
ALAUDDIN
M A K A S S A R

BAB V

KESIMPULAN

A. Kesimpulan

Kesimpulan dari hasil penelitian ini yaitu:

1. Oksidator KMnO_4 dapat mengoksidasi ikatan rangkap triasilgliserida dari *crude palm oil* (CPO) pada setiap variasi waktu oksidasi yaitu 30, 45, 60, 75 dan 90 menit.
2. Nilai konversi biodiesel yang diperoleh dari CPO hasil modifikasi dengan reaksi oksidasi 30, 45, 60, 75 dan 90 menit berturut-turut yaitu 22,1%; 5%; 17,3%, 3,7% dan 9,2%.
3. Komponen-komponen yang dihasilkan melalui proses modifikasi triasilgliserida (TAG) menggunakan KMnO_4 yaitu asam nonanoat, asam heksanoat dan nonanal yang merupakan hasil pemotongan ikatan rangkap asam oleat atau linoleat dari TAG CPO.

B. Saran

Saran yang dapat disampaikan dalam penelitian ini yaitu:

1. Sampel yang digunakan untuk dimodifikasi sebaiknya banyak mengandung asam lemak tidak jenuh karena memiliki ikatan rangkap yang dapat dioksidasi dengan KMnO_4 dan tidak cepat membeku pada suhu ruang.
2. Gliserol sebagai hasil samping dari proses transesterifikasi dapat dimanfaatkan kembali sebagai sampel untuk penelitian tertentu, sehingga tidak terbuang sebagai limbah.
3. Untuk memastikan bahwa sampel hasil modifikasi dapat digunakan sebagai bahan bakar, sebaiknya dilakukan beberapa uji standar biodiesel.

DAFTAR PUSTAKA

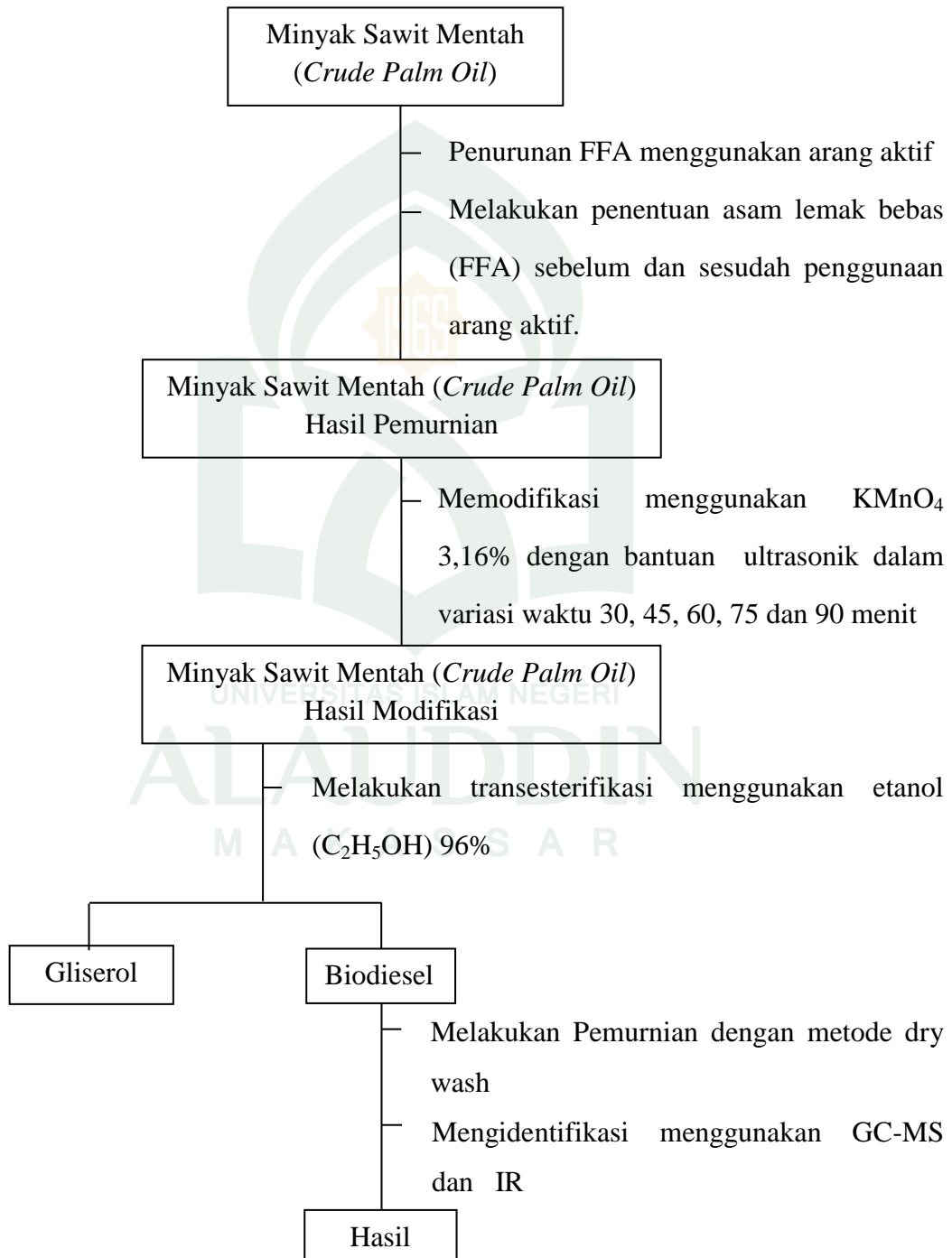
Al-Qur'anul Karim

- Aziz, Isalmi, dkk. "Pembuatan produk biodiesel dari Minyak Goreng Bekas dengan Cara Esterifikasi dan Transesterifikasi". *Valensi* 2, no. 3 (2011): h. 443-448.
- Baidawi, Ahmad, dkk. "Transesterifikasi dengan Co-Solvent sebagai salah satu Alternatif Peningkatan Yield Metil Ester pada Pembuatan Biodiesel dari Crude Palm Oil (CPO)". *Chemical National Seminar*, Fakultas Teknologi Industri, Surabaya 26 Agustus 2008.
- Bismo, Setijo, dkk. "sintesis biodiesel dengan teknik ozonasi: investigasi produk ozonida etil-ester minyak kelapa dan minyak kedelai". *Jurnal teknik Kimia indonesia* 4. No. 2 (2005): 197-204.
- Darmawan, Ferry Indra dan I Wayan Susila. "Proses Produksi Biodiesel dari Minyak Jelantah Dengan Metode Pencucian Dry-Wash Sistem". *JTM* 2, no. 01 (2013): 80-87.
- Dash, Sukalyan, dkk. "Oxidation by Permanganate: Synthetic and Mechanistic Aspects". *Tetrahedron* 65, no. 859 (2009): h: 707-739.
- Departemen Agama RI. *Al-Qur'an dan terjemahannya*. Bandung: MQS Publishing, 2010.
- Dwivedi, Gaurav dan M.P. Sharma. "Cold Flow Behaviour of Biodiesel-A Review". *International Journal of Renewable Energy Research* 3, no. 4 (2013): 827-836.
- Fessenden, Ralp J. dan Joan S. Fessenden. *Fundamental of Organic Chemistry (Dasar-dasar Kimia Organik)*, terj. Sukmariah Maun, dkk., Jakarta: Binarupa Aksara, 2010.
- Fessenden, Ralp J. dan Joan S. Fessenden. *Organic Chemistry (Kimia Organik)*, terj. Aloysius Hadyana Pudjaatmaka, Edisi ke-3. Jakarta: Erlangga, 1992.
- Fijitani, Kango, dkk. "Oxidation of Cyclohexanediol Derivatives with 12-Tungstophosphoric Acid-Hydrogen Peroxide System". *Journal of Oleo Science* 58, no. 6 (2009): h. 323-328.
- Hadiana, Deni. "Polimerisasi Anilin oleh Horseradish Peroksidase dan Karakteristiknya". *Tesis*, Depok: Fakultas Matematika dan Ilmu Pengetahuan Alam UI, 2012.
- Hambali, Erliza, dkk. *Teknologi Bioenergi*. Jakarta: AgroMedia Pustaka, 2007.
- Hamid S., Tilani dan Rachman Yusuf." Preparasi Karakteristik Biodiesel dari Minyak Kelapa Sawit". *Makara, Teknologi*. 6, no. 2 (2002): h. 60-65.
- He, Brian dan Jon H Van Gerpen. "Application of Ultrasonication in Transesterification processes for biodiesel production". *Biofuels* 3, no. 4 (2012): h.479-488.

- Indah, Tuti, dkk. “Katalis Basa Heterogen Campuran CaO & SrO Pada Reaksi Transesterifikasi Minyak Kelapa Sawit”. Prosiding Seminar Nasional AVoER ke-3, Fakultas Teknik Universitas Sriwijaya, Palembang, 26-27 Oktober 2011.
- Gerpen, J. Van, dkk. *Biodiesel Production Technology*. U.S. Department: National Renewable Energy Laboratory, 2004.
- Khopkar, S. M. *Basic Concepts of Analytical Chemistry*, terj. A. Saptorahardjo, *Konsep Dasar Kimia Analitik*. Jakarta: UI-Press, 2014.
- Kuncahyo, Priyohadi. “Analisa Prediksi Potensi Bahan Baku Biodiesel Sebagai Suplemen Bahan Bakar Motor Diesel di Indonesia”. *Jurnal Teknik Pomits 2*, no. 1 (2013): h. 62-66.
- Lubad, Aziz Masykur dan Paramita Widiastuti. “Program Nasional Biofuel dan Realitasnya di Indonesia” *Lembaran Publikasi Lemigas 44*, no. 3 (2010): h. 307-318.
- Lubis, Rustam Effendi dan Agus Widanarko. *Buku Pintar Kelapa Sawit*. Jakarta: AgroMedia Pustaka, 2011.
- Manai, Syamsudin. *Membuat Sendiri Biodiesel*. Bandung: Andi, 2010.
- Musadhaz, Sabinazan, dkk. “Pembuatan Biodiesel Biji Karet Dan Biodiesel Sawit Dengan Instrumen Ultrasonik Serta Karakteristik Campurannya”. *Jurnal Teknologi Industri Pertanian 22*, no 3 (2012): h. 180-188.
- Nasir, Gamal. *Statistik Perkebunan Indonesia Komoditas Kelapa Sawit 2013 – 2015*. Jakarta: Direktorat Jenderal Perkebunan, 2014.
- Nurlina. “Modifikasi Biodiesel dari Minyak Biji Kemiri (*Aleurites moluccana*) Melalui Reaksi Oksidasi dengan Bantuan Gelombang Ultrasonik”. *Skripsi*, Makassar: Fakultas Sains dan Teknologi UIN Alauddin, 2014.
- Pahan, Iyung. *Panduan Lengkap Kelapa Sawit*. Jakarta: Penebar Swadaya, 2008.
- Pardamean, Maruli. *Panduan Lengkap Pengelolaan Kebun dan Pabrik Kelapa Sawit*. Jakarta: AgroMedia Pustaka, 2008.
- Prihandana, Rama dan Roy Hendroko. *Energi Hijau*. Cet. 2; Jakarta: Penebar Swadaya, 2008.
- Prihandana, Rama, dkk. *Menghasilkan Biodiesel Murah*. Jakarta: AgroMedia Pustaka, 2006.
- Republik Indonesia. *Peraturan Menteri Energi dan Sumber Daya Mineral Republik Indonesia Nomor 12 Tahun 2015 Tentang Perubahan Ketiga Atas Peraturan Menteri Energi dan Sumber Daya Mineral Nomor 32 Tahun 2008 Tentang Penyediaan, Pemanfaatan, dan Tata Niaga Bahan Bakar Nabati (Biofuel) Sebagai Bahan Bakar Lain*. Jakarta: Menteri Energi dan Sumber Daya Mineral RI, 2015.
- Republik Indonesia. *Peraturan Presiden Republik Indonesia Nomor 5 Tahun 2006 Tentang Kebijakan Energi Nasional*. Jakarta: Perpres RI, 2006.

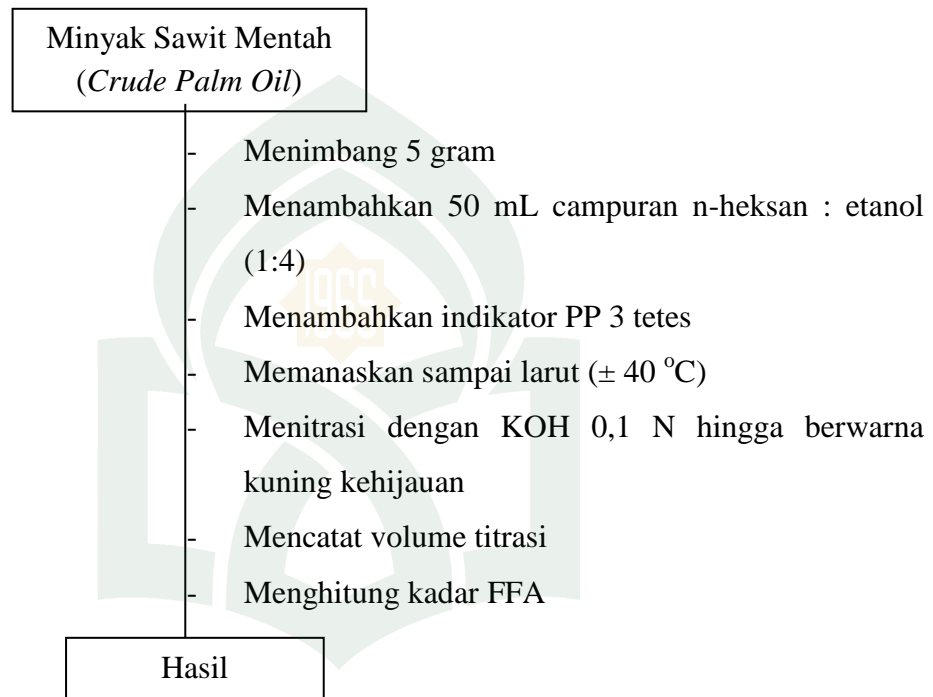
- Salvador, Jorge A.R. dan James R. Hanson. "The Solid-Phase Oxidation of Steroidal Alkenes with Potassium Permanganate and Metal Salts". *Journal of Chemical Research* (2004): h. 513-516.
- Setyaningsih, Dwi, dkk. "Optimasi Proses Sintesis Gliserol Tert-Butil Eter (GTBE) Sebagai Aditif Biodiesel". *Jurnal Teknik Industri Pertanian* 21, no.1 (2011): h. 9-15.
- Shihab M. Quraish, *Tafsir Al-Mishbah Pesan, Kesan, dan Keserasian Al Quran Volume 6* Jakarta: Lentera Hati, 2002.
- Silalahi, Jansen dan Siti Nurbaya. "Komposisi, Distribusi dan Sifat Aterogenik Asam Lemak dalam Minyak Kelapa dan Kelapa Sawit". *J. Indon Med Assoc* 61, no.11 (2011): h. 453-457.
- Silverstein, Robert M. *Spectrometric Identification of Organic Compounds*. Edisi ke-7. USA: John Wiley & Sons, Inc, 2005.
- Supardan, Muhammad Dani. "Penggunaan Ultrasonik untuk Transesterifikasi Minyak Goreng Bekas". *Jurnal Rekayasa Kimia dan Lingkungan* 8, no. 1 (2011): h. 11-16.
- Susilo, Bambang. "Aplikasi Gelombang Ultrasonik untuk Pengolahan Biodiesel dari Jarak Pagar (*Jatropha curcas* L.)". *Hasil Penelitian*. Malang: Fakultas Teknologi Pertanian, Universitas Brawijaya, 2008.
- Suwarto, dkk. *Top 15 Tanaman Perkebunan*. Cet. 1; Jakarta: Penebar Swadaya, 2014.
- Svehla G. *Textbook Of Macro and Semimicro Qualitative Inorganic Analysis (Buku teks Analisis Anorganik Kualitatif Makro dan Semimikro)*, terj. Setiono dan Hadyana Pujaatmaka, Edisi Revisi. Jakarta: PT. Kalman Media Pustaka, 1985.
- Tyson, K. Shaine. *Biodiesel Handling and Use Guide*. Edisi ke-4. U.S. Department: National Renewable Energy Laboratory, 2009.
- Wiberg, K.B. and K.A. Saegebarth. "J. Am. Chem. Soc". dalam Jorge A.R. Salvador dan James R. Hanson. *The Solid-Phase Oxidation of Steroidal Alkenes with Potassium Permanganate and Metal Salts*. *Journal of Chemical Research* (2004): h. 513-516.

LAMPIRAN I
BAGAN ALIR PENELITIAN

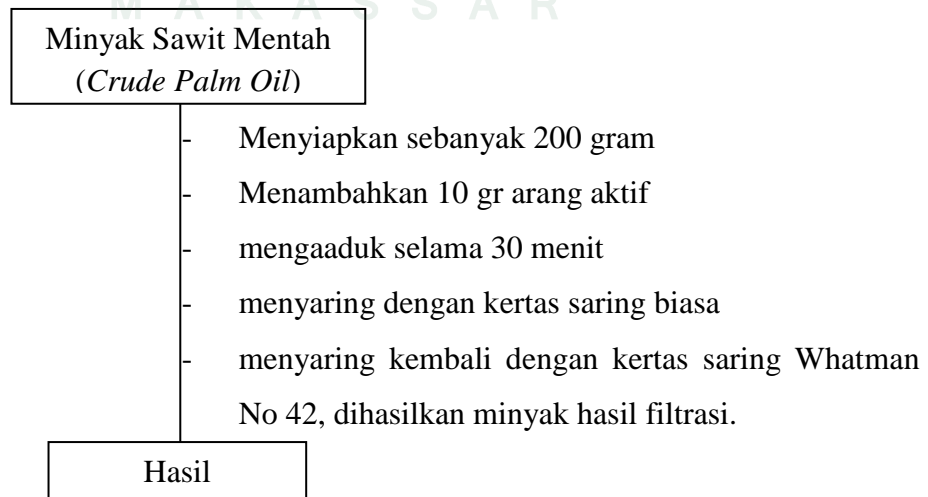


LAMPIRAN II
BAGAN PROSEDUR KERJA

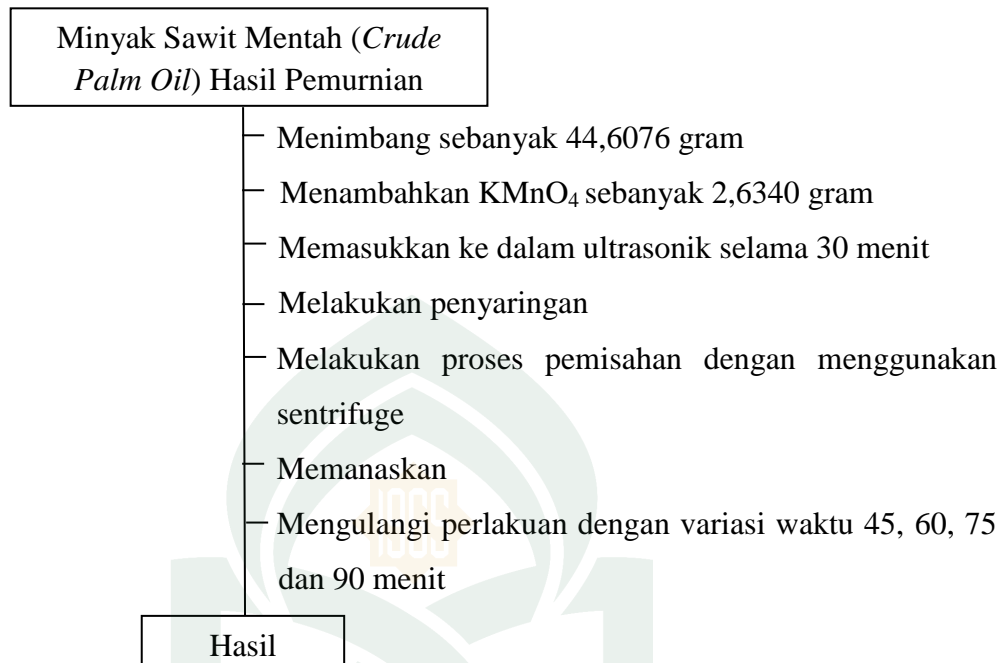
1. Penentuan Kandungan Asam Lemak Bebas (FFA)



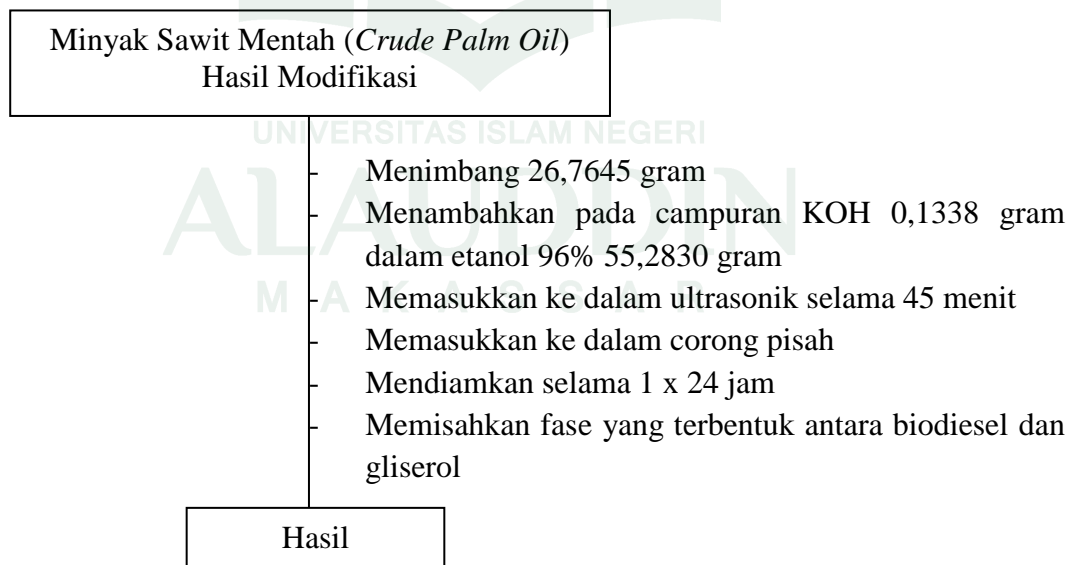
2. Penurunan FFA CPO dengan Menggunakan Arang Aktif Tempurung Kelapa



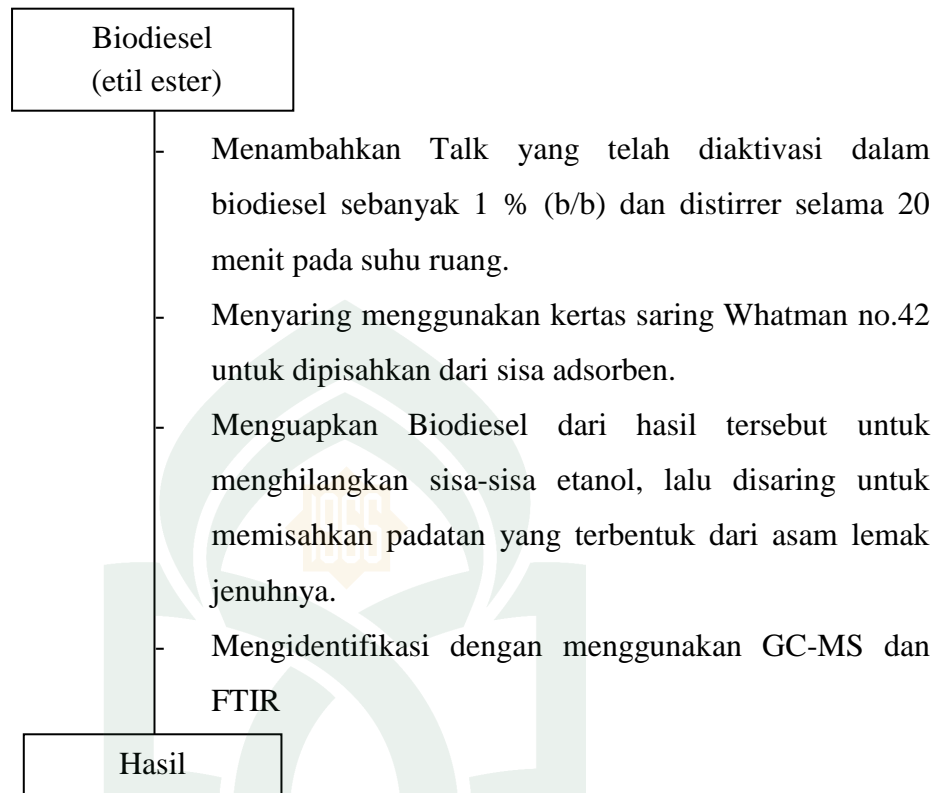
3. Modifikasi Triasilgliserida Menggunakan KMnO_4



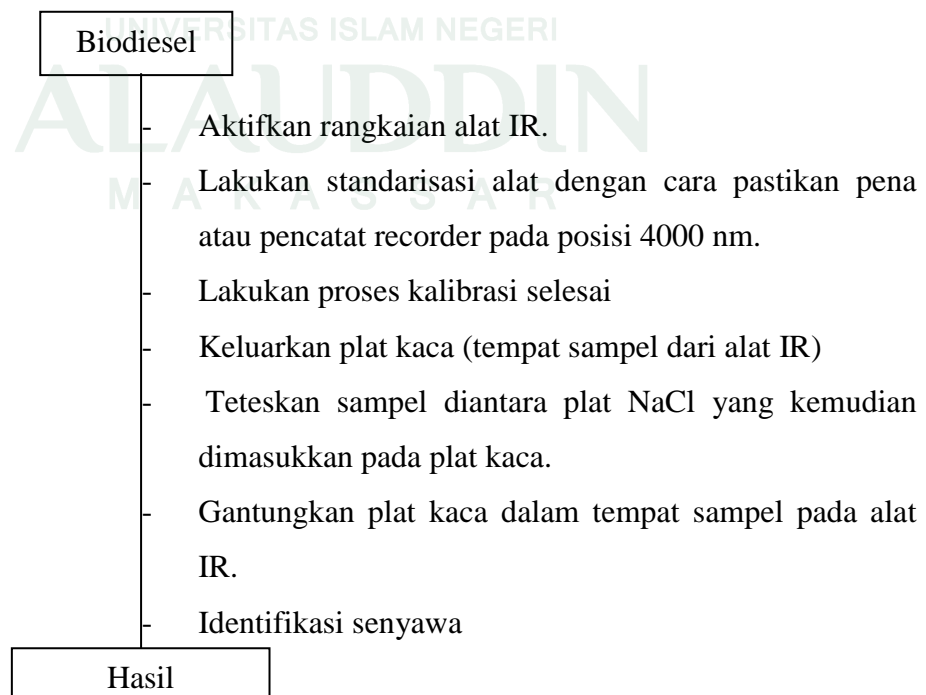
4. Transesterifikasi



5. Pemurnian Biodiesel dengan Metode Dry Wash

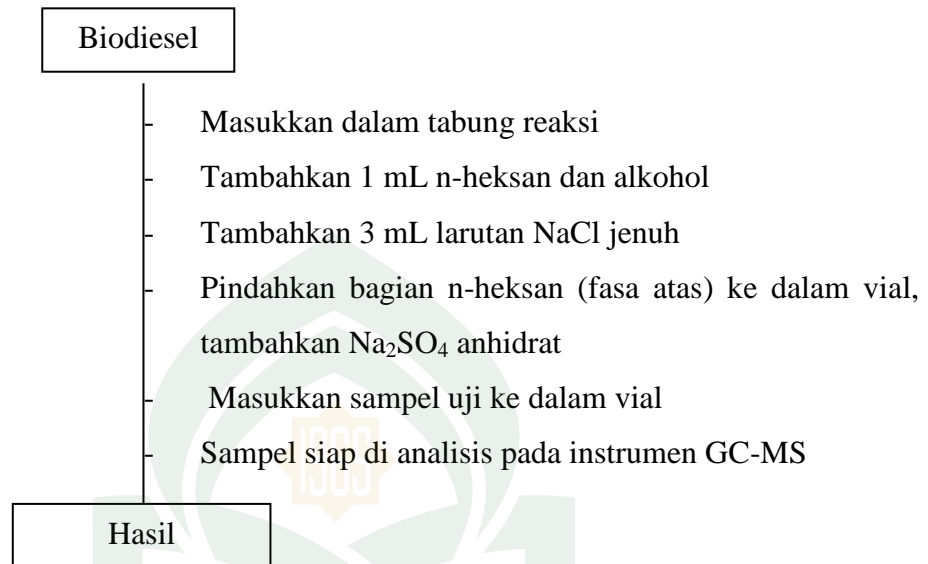


6. Identifikasi Menggunakan IR

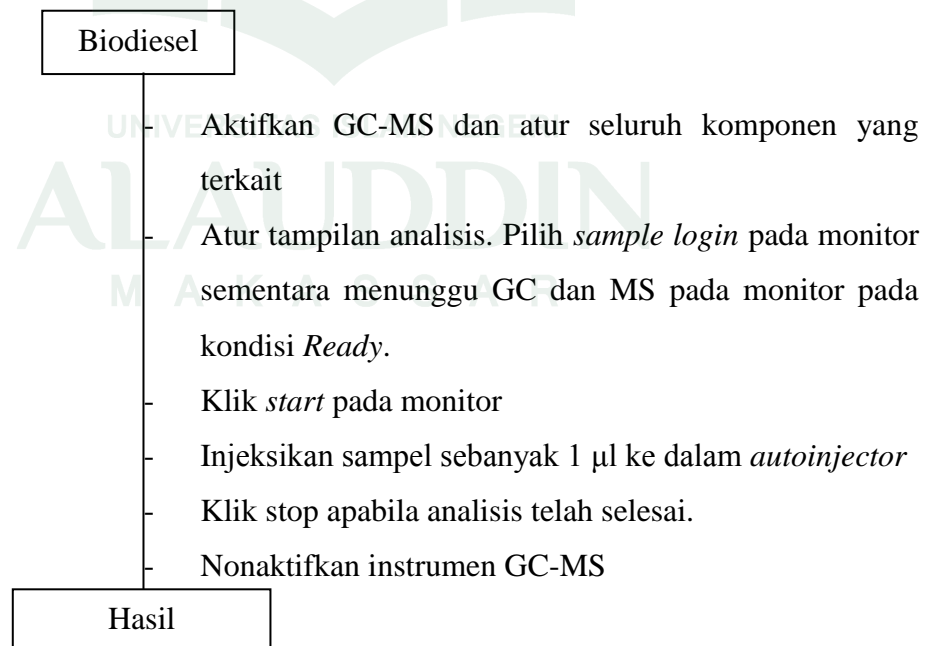


7. Identifikasi Menggunakan GC-MS

a. Preparasi sampel



b. Identifikasi



LAMPIRAN III
ANALISIS DATA

1. Kadar Asam Lemak Bebas (FFA) CPO

a. Pembuatan KOH 0,1 N dalam 1000 mL

$$N \text{ KOH} = 0,1 \text{ grek/L}$$

$$V \text{ KOH} = 1000 \text{ mL} = 1 \text{ L}$$

$$BE \text{ KOH} = 56,091 \text{ gr/grek}$$

$$\begin{aligned} \text{gr} &= N \times BE \times V \\ &= 0,1 \text{ grek/L} \times 56,091 \text{ gr/grek} \times 1 \text{ L} \\ &= 5,6091 \text{ gr} \end{aligned}$$

b. Penentuan Kadar Asam Lemak Bebas (FFA) CPO (*Crude Palm Oil*)

a. Kadar FFA sebelum Menggunakan Arang Aktif

$$\text{Kadar FFA} = \frac{N \text{ KOH} \times \text{BM Asam Palmitat} \times V \text{ Titrasi}}{\text{Berat Sampel} \times 1000} \times 100\%$$

$$\text{Kadar FFA} = \frac{0,1 \text{ N} \times 256 \frac{\text{gr}}{\text{mol}} \times 3,95 \text{ mL}}{5,0021 \text{ gr} \times 1000} \times 100\%$$

$$\text{Kadar FFA} = \frac{101,2}{5002,1} \times 100\%$$

$$\text{Kadar FFA} = 2,0216 \%$$

b. Kadar FFA setelah Menggunakan Arang Aktif

$$\% \text{ FFA} = \frac{N \text{ KOH} \times \text{BM Asam Palmitat} \times V. \text{ Titrasi}}{\text{Berat Sampel} \times 1000} \times 100\%$$

$$\% \text{ FFA} = \frac{0,1 \text{ N} \times 256 \frac{\text{gr}}{\text{mol}} \times 1,80 \text{ mL}}{5,0008 \text{ gr} \times 1000} \times 100\%$$

$$\% \text{ FFA} = \frac{46,08}{5000,8} \times 100\%$$

$$\% \text{ FFA} = 0,9215 \%$$

2. Penentuan Mr Crude Palm Oil (CPO)

Mr CPO = Mr total asam lemak

a. Mr Asam laurat (C₁₁H₂₃COOH)

$$\text{Kadar} = 224,34 \text{ gr/mol} \times \frac{0,2}{100}$$

$$\text{Kadar} = 0,4487 \text{ gr/mol}$$

b. Mr Asam miristat (C₁₃H₂₇COOH)

$$\text{Kadar} = 228,38 \text{ gr/mol} \times \frac{1,1}{100}$$

$$\text{Kadar} = 2,5122 \text{ gr/mol}$$

c. Mr Asam palmitat (C₁₅H₃₁COOH)

$$\text{Kadar} = 256,43 \text{ gr/mol} \times \frac{44,0}{100}$$

$$\text{Kadar} = 112,8292 \text{ gr/mol}$$

d. Mr Asam stearat (C₁₇H₃₅COOH)

$$\text{Kadar} = 284,48 \text{ gr/mol} \times \frac{4,5}{100}$$

$$\text{Kadar} = 12,8016 \text{ gr/mol}$$

e. Mr Asam oleat (C₁₇H₃₃COOH)

$$\text{Kadar} = 282,47 \text{ gr/mol} \times \frac{39,2}{100}$$

$$\text{Kadar} = 110,7282 \text{ gr/mol}$$

f. Mr Asam linoleat (C₁₇H₃₁COOH)

$$\text{Kadar} = 280,45 \text{ gr/mol} \times \frac{10,1}{100}$$

$$\text{Kadar} = 28,3255 \text{ gr/mol}$$

Jadi Mr CPO yaitu:

$$\text{Mr CPO} = \text{Mr total asam lemak}$$

$$\text{Mr CPO} = 267,6454 \text{ gr/mol}$$

3. Penentuan Bobot untuk Modifikasi Struktur



a. Berat Crude Palm Oil (CPO)

$$\text{Mr} = \frac{\text{gr}}{\text{mol}}$$

$$267,6454 = \frac{\text{gr}}{1}$$

$$\text{gram} = 267,6454 \text{ gr}$$

b. Berat Kalium Permanganat (KMnO₄)

$$\text{Mr} = \frac{\text{gr}}{\text{mol}}$$

$$158,0376 = \frac{\text{gr}}{0,1}$$

$$\text{gram} = 15,8038 \text{ gr}$$

Catt:

Jika, berat CPO dan KMnO₄ diperkecil menjadi 6 bagian, maka:

$$\text{gr CPO} = \frac{267,6454 \text{ gr}}{6} = 44,6076 \text{ gr}$$

$$\text{gr KMnO}_4 = \frac{15,8038 \text{ gr}}{6} = 2,6340 \text{ gr}$$

c. Pembuatan Kalium Permanganat (KMnO₄) 3,16% dalam Asam Sulfat (H₂SO₄) 6 N

$$\% = \frac{\text{gr zat terlarut}}{\text{voume pelarut}}$$

$$\% = \frac{\text{gr KMnO}_4}{\text{Voume H}_2\text{SO}_4}$$

$$\text{Volume H}_2\text{SO}_4 = \frac{\text{gr KMnO}_4}{\%}$$

$$\text{Volume H}_2\text{SO}_4 = \frac{2,6340 \text{ gr}}{3,16\%}$$

$$\text{Volume H}_2\text{SO}_4 = 83,35 \text{ mL}$$

4. Penentuan Bobot Untuk Reaksi Transesterifikasi

Minyak: Alkohol (0,1 : 1,2)

a. Minyak

$$n = \frac{\text{gr}}{\text{mr}}$$

$$0,1 \text{ mol} = \frac{\text{gr}}{267,6454 \text{ gr/mol}}$$

$$\text{gr} = 26,7645 \text{ gram}$$

b. Etanol

$$n = \frac{\text{gr}}{\text{mr}}$$

$$1,2 \text{ mol} = \frac{\text{gr}}{46,0692 \text{ gr/mol}}$$

$$\text{gr} = 55,2830 \text{ gram}$$

c. KOH 0,5%

$$\text{bobot} = \frac{0,5}{100} \times \text{bobot minyak}$$

$$= \frac{0,5}{100} \times 26,76454 \text{ gr}$$

$$= 0,1338 \text{ gram}$$

5. Aktivasi Talk

Pembuatan HCl 2 M dalam 10 mL

$$\% \text{ HCl} = 37\%$$

$$\text{BJ HCl} = 1,19$$

$$\text{BM HCl} = 36,5 \text{ g/mol}$$

$$\text{M HCl p. a} = \frac{\% \times \text{BJ} \times 1000}{\text{BM}}$$

$$\text{M HCl p. a} = \frac{37\% \times 1,19 \frac{\text{gr}}{\text{mL}} \times 1000 \text{ mL/L}}{36,5 \text{ gr/mol}}$$

$$\text{M HCl p. a} = 12,1 \text{ M}$$

Jadi, volume yang harus dipipet:

$$M_1 \times V_1 = M_2 \times V_2$$

$$12,1 \text{ M} \times V_1 = 2 \text{ M} \times 10 \text{ mL}$$

$$V_1 = \frac{2 \text{ M} \times 10 \text{ mL}}{12,1 \text{ M}}$$

$$V_1 = 1,7 \text{ mL}$$

6. Pemurnian Biodiesel menggunakan Talk 1%

a. Variasi oksidasi 30 menit

$$\% \text{ Talk} = \frac{1}{100} \times 53,2028 \text{ gr crude biodiesel}$$

$$\% \text{ Talk} = 0,5320 \text{ gram}$$

b. Variasi oksidasi 45 menit

$$\% \text{ Talk} = \frac{1}{100} \times 53,4390 \text{ gr crude biodiesel}$$

$$\% \text{ Talk} = 0,5344 \text{ gram}$$

c. Variasi oksidasi 60 menit

$$\% \text{ Talk} = \frac{1}{100} \times 53,3555 \text{ gr crude biodiesel}$$

$$\% \text{ Talk} = 0,5336 \text{ gram}$$

d. Variasi oksidasi 75 menit

$$\% \text{ Talk} = \frac{1}{100} \times 53,3308 \text{ gr crude biodiesel}$$

$$\% \text{ Talk} = 0,5333 \text{ gram}$$

e. Variasi oksidasi 90 menit

$$\% \text{ Talk} = \frac{1}{100} \times 53,0682 \text{ gr crude biodiesel}$$

$$\% \text{ Talk} = 0,5307 \text{ gram}$$

7. Nilai Konversi Biodiesel**a. Biodiesel Modif-Trans 30 Menit**

Bobot biodiesel : 5,9230 gr

Bobot CPO : 26,7644 gr

$$\% \text{ biodiesel} = \frac{\text{bobot biodiesel}}{\text{bobot CPO}} \times 100\%$$

$$\% \text{ biodiesel} = \frac{5,9230 \text{ gr}}{26,7644 \text{ gr}} \times 100\%$$

$$\% \text{ biodiesel} = 22,1 \%$$

b. Biodiesel Modif-Trans 45 Menit

Bobot kosong = 9,7130 gr

Bobot kosong + bobot biodiesel = 11,0506

Bobot biodiesel = 11,0506 gr - 9,7130 gr = 1,3376 gr

$$\% \text{ biodiesel} = \frac{\text{bobot biodiesel}}{\text{bobot CPO}} \times 100\%$$

$$\% \text{ biodiesel} = \frac{1,3376 \text{ gr}}{26,7645 \text{ gr}} \times 100\%$$

$$\% \text{ biodiesel} = 5\%$$

c. Biodiesel Modif-Trans 60 Menit

Bobot biodiesel : 4,6197 gr

Bobot CPO : 26,7645 gr

$$\% \text{ biodiesel} = \frac{\text{bobot biodiesel}}{\text{bobot CPO}} \times 100\%$$

$$\% \text{ biodiesel} = \frac{4,6197 \text{ gr}}{26,7645 \text{ gr}} \times 100\%$$

$$\% \text{ biodiesel} = 17,3 \%$$

d. Biodiesel Modif-Trans 75 Menit

Bobot biodiesel : 0,9917 gr

Bobot CPO : 26,7645 gr

$$\% \text{ biodiesel} = \frac{\text{bobot biodiesel}}{\text{bobot CPO}} \times 100\%$$

$$\% \text{ biodiesel} = \frac{0,9917 \text{ gr}}{26,7645 \text{ gr}} \times 100\% = 3,7 \%$$

e. Biodiesel Modif-Trans 90 Menit

Bobot biodiesel : 0,9917 gr

Bobot CPO : 26,7645 gr

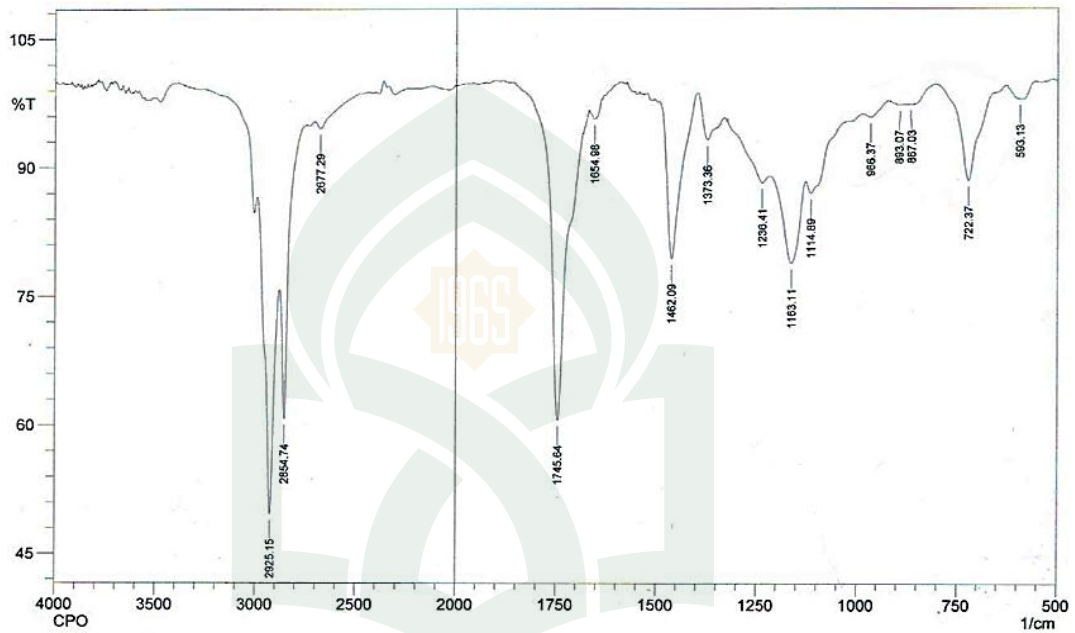
$$\% \text{ biodiesel} = \frac{\text{bobot biodiesel}}{\text{bobot CPO}} \times 100\%$$

$$\% \text{ biodiesel} = \frac{2,4731 \text{ gr}}{26,7645 \text{ gr}} \times 100\% = 9,2 \%$$

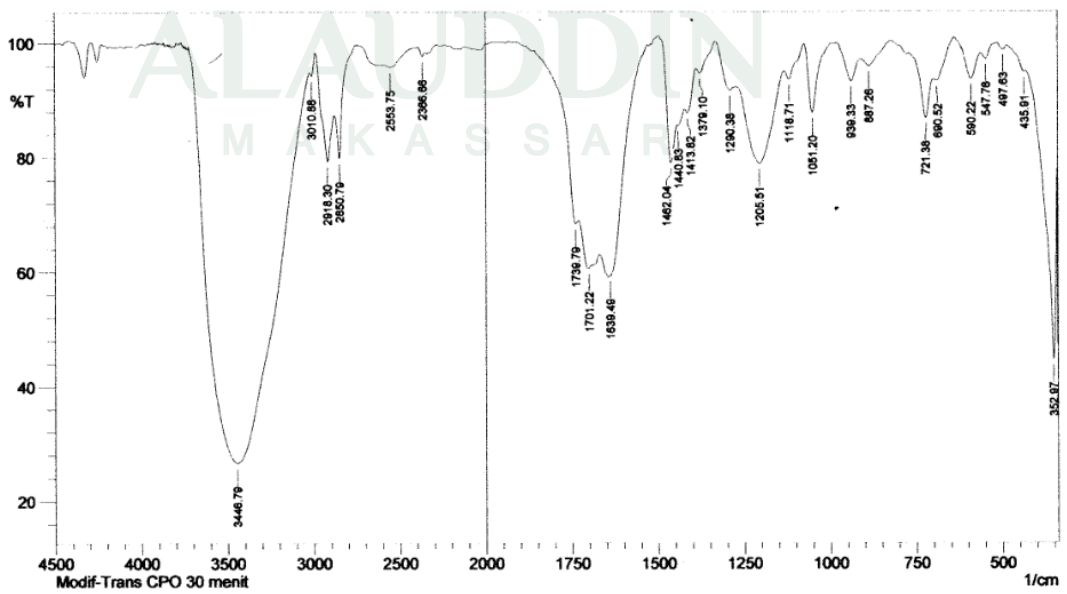
LAMPIRAN IV

Spektrum Gugus-Gugus Fungsi Produk Modifikasi

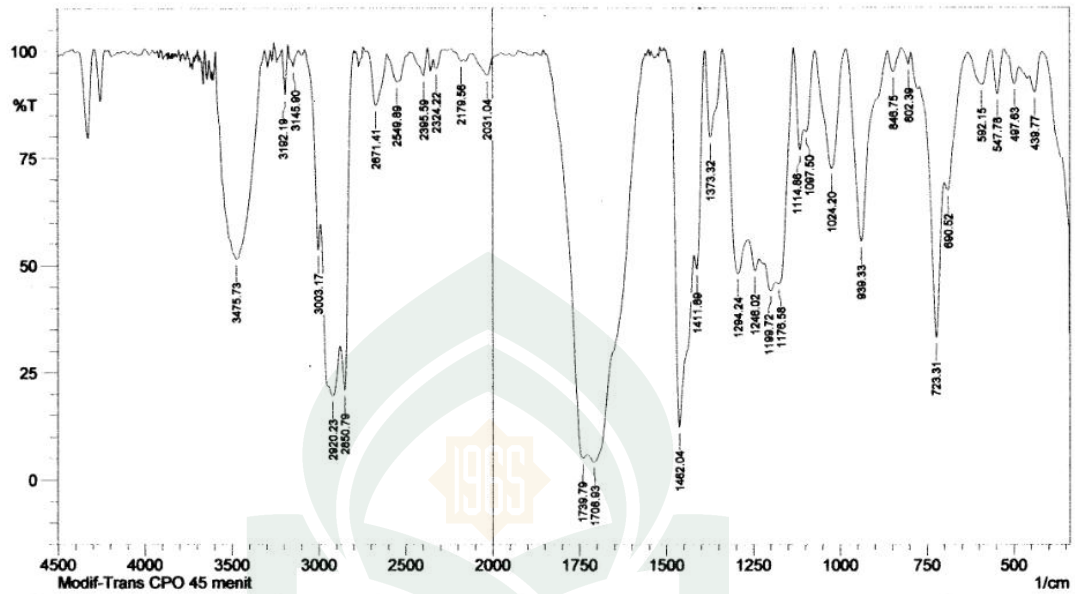
1. CPO Murni



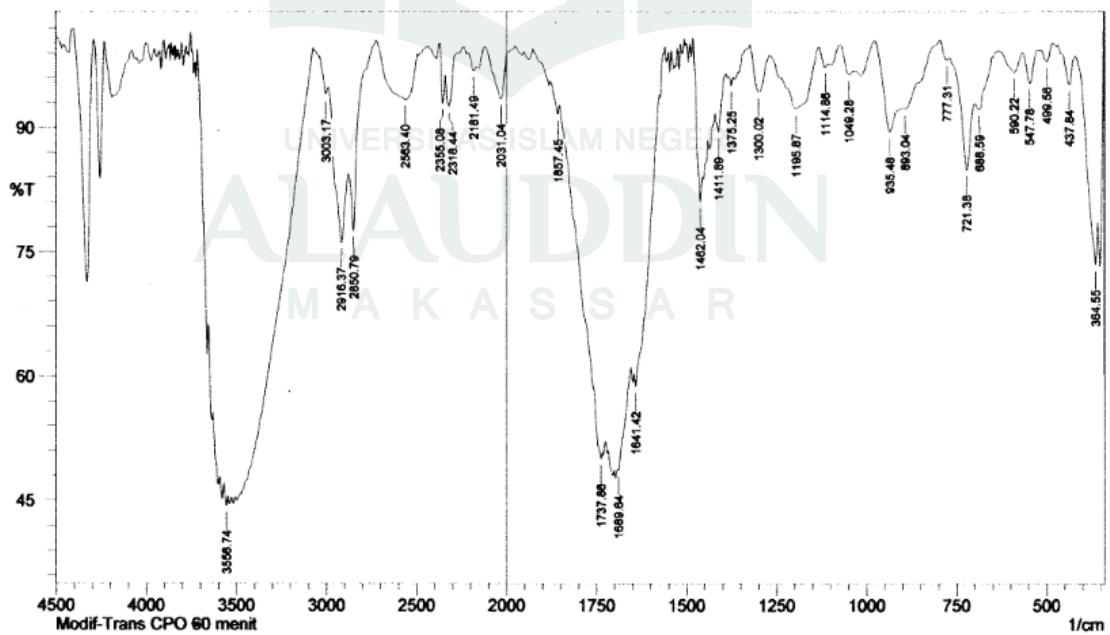
2. Variasi Oksidasi 30 Menit



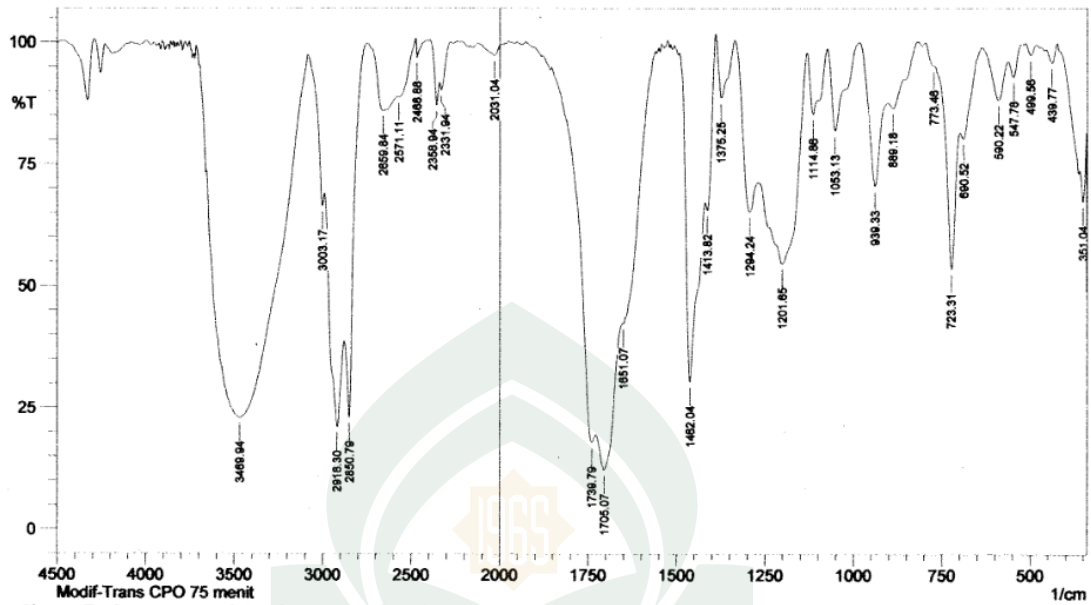
3. Variasi Oksidasi 45 menit



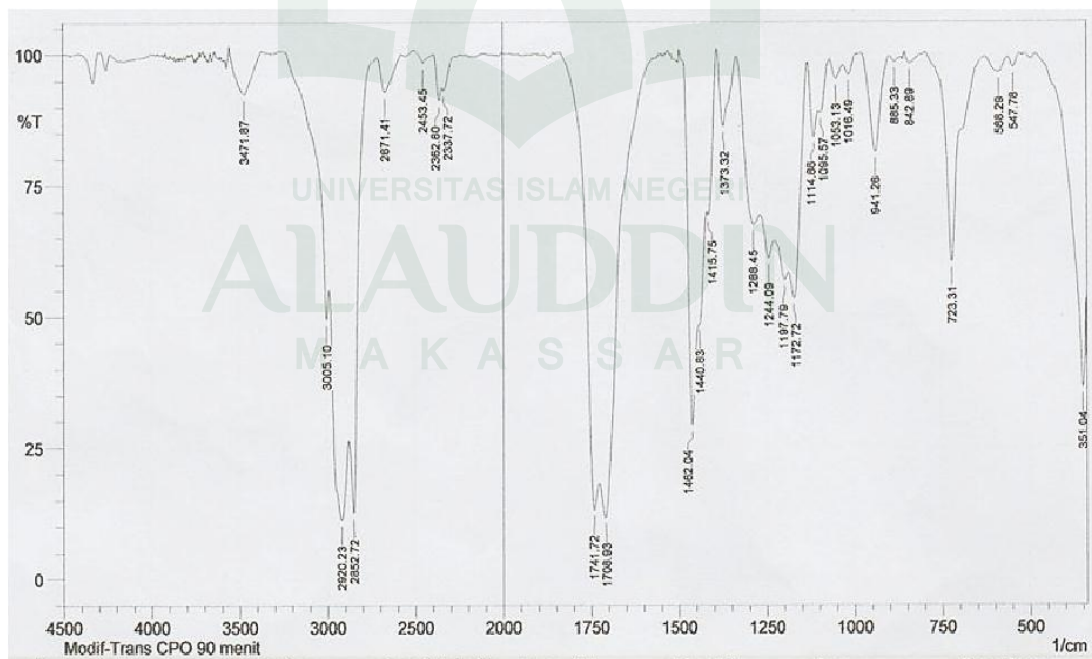
4. Variasi Oksidasi 60 menit



5. Variasi Oksidasi 75 menit



6. Variasi Oksidasi 90 menit



LAMPIRAN V

Spektrum Komponen Tiap Produk Modifikasi

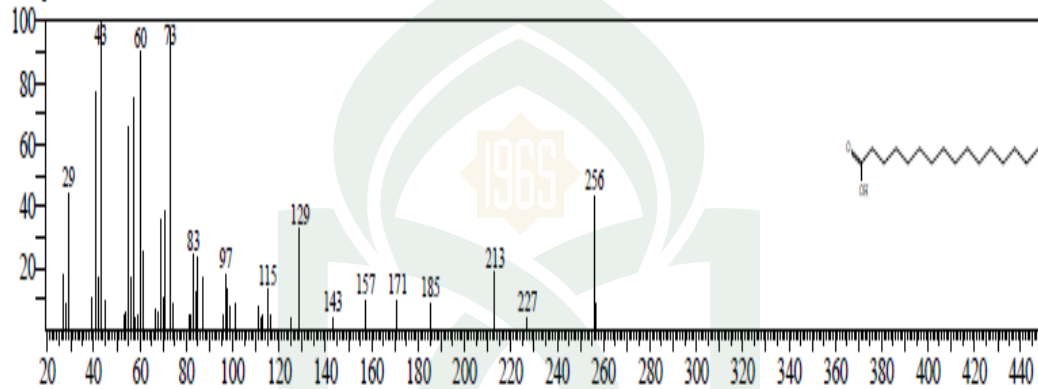
1. Spektrum Massa CPO Murni

a. Asam n-heksadekanoat

Hit#:1 Entry:21295 Library:NIST27.LIB

SI:93 Formula:C₁₆H₃₂O₂ CAS:57-10-3 MolWeight:256 RefIndex:0

CompName:n-Hexadecanoic acid

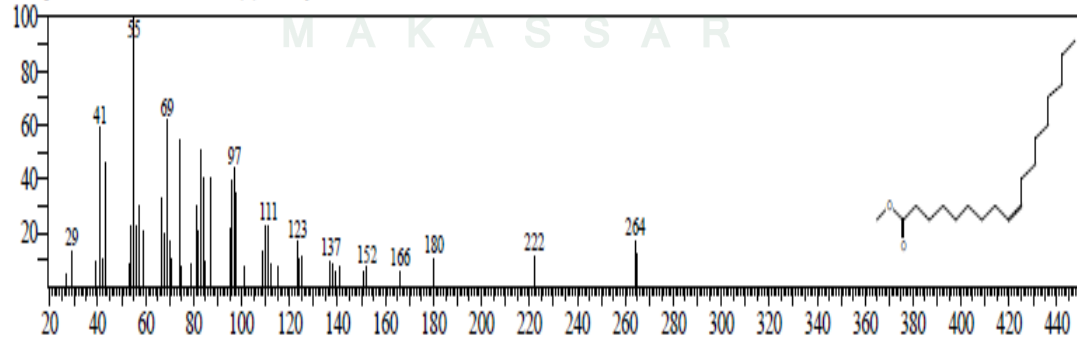


b. Asam 9-oktadekenoat metil ester

Hit#:1 Entry:23570 Library:NIST27.LIB

SI:96 Formula:C₁₉H₃₆O₂ CAS:112-62-9 MolWeight:296 RefIndex:0

CompName:9-Octadecenoic acid (Z)-, methyl ester

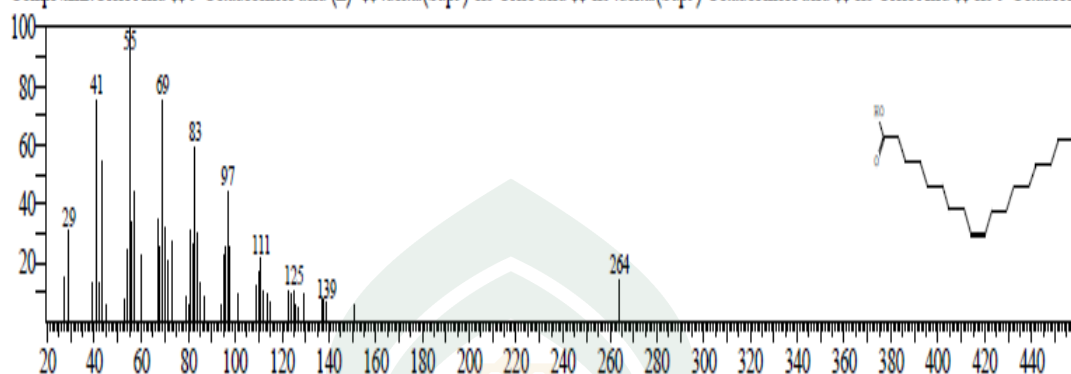


c. Asam oleat

Hit#:1 Entry:84787 Library:NIST147.LIB

SI:95 Formula:C18H34O2 CAS:112-80-1 MolWeight:282 RefIndex:0

CompName:Oleic Acid \$\$ 9-Octadecenoic acid (Z)- \$\$.delta.(Sup9)-cis-Oleic acid \$\$ cis-.delta.(Sup9)-Octadecenoic acid \$\$ cis-Oleic Acid \$\$ cis-9-Octadecen

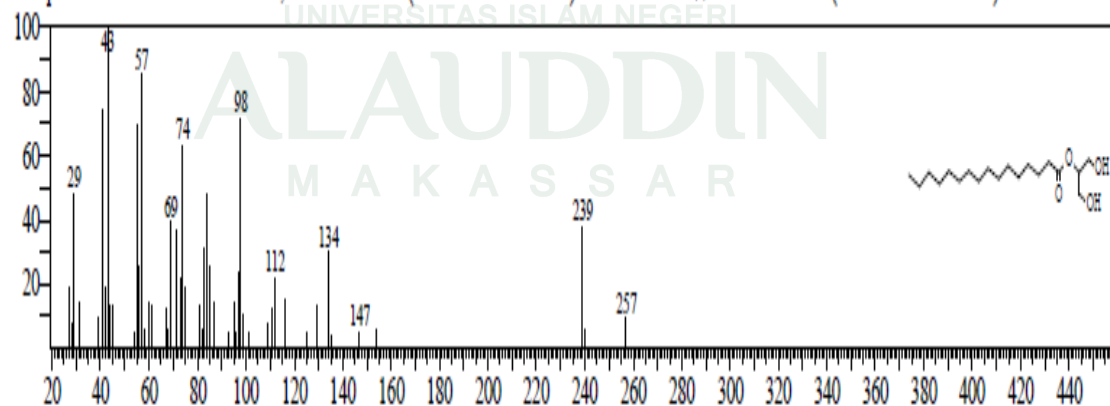


d. Asam heksadekanoat, 2-hidroksi-1-(hidroksimetil) etil ester atau 2-Heksadekanoil Gliserol

Hit#:1 Entry:274739 Library:WILEY8.LIB

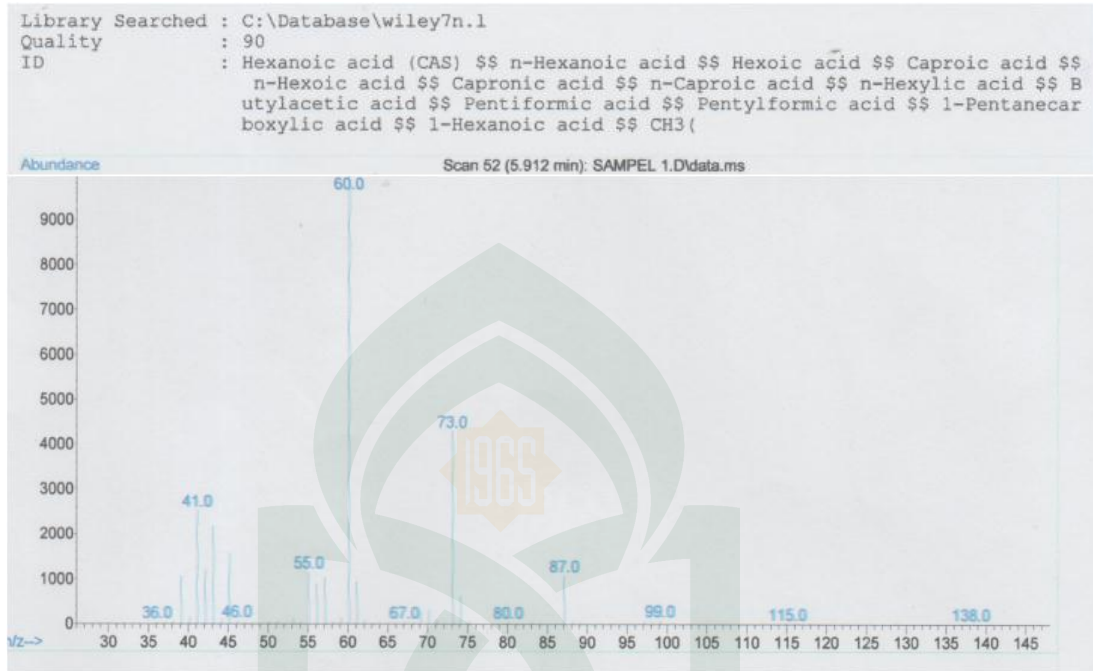
SI:94 Formula:C19H38O4 CAS:23470-00-0 MolWeight:330 RefIndex:0

CompName:HEXADECANOIC ACID, 2-HYDROXY-1-(HYDROXYMETHYL)ETHYL ESTER \$\$ 2-HYDROXY-1-(HYDROXYMETHYL)ETHYL PALMIT

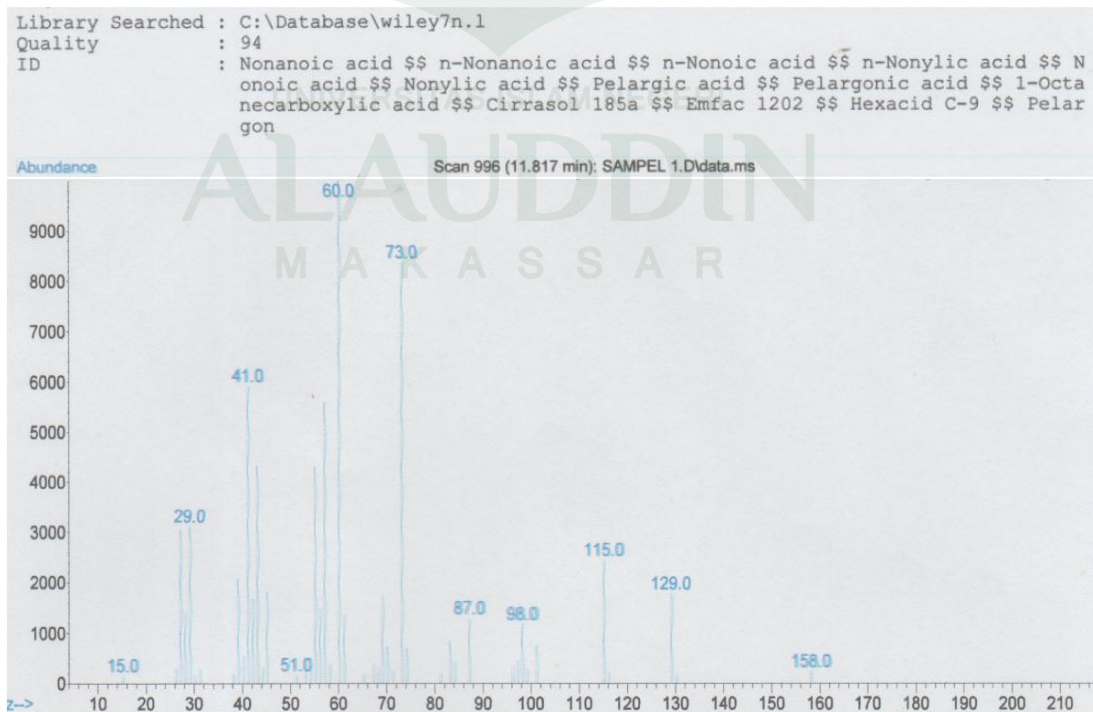


2. Spektrum Massa Variasi Oksidasi 30 menit

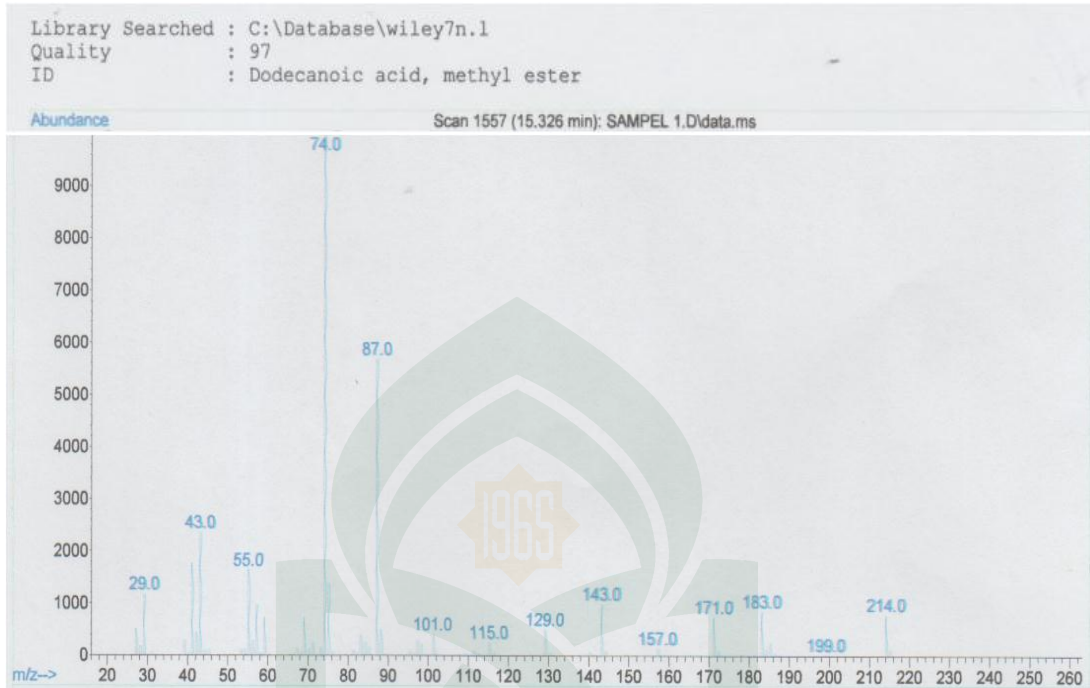
a. Asam heksanoat



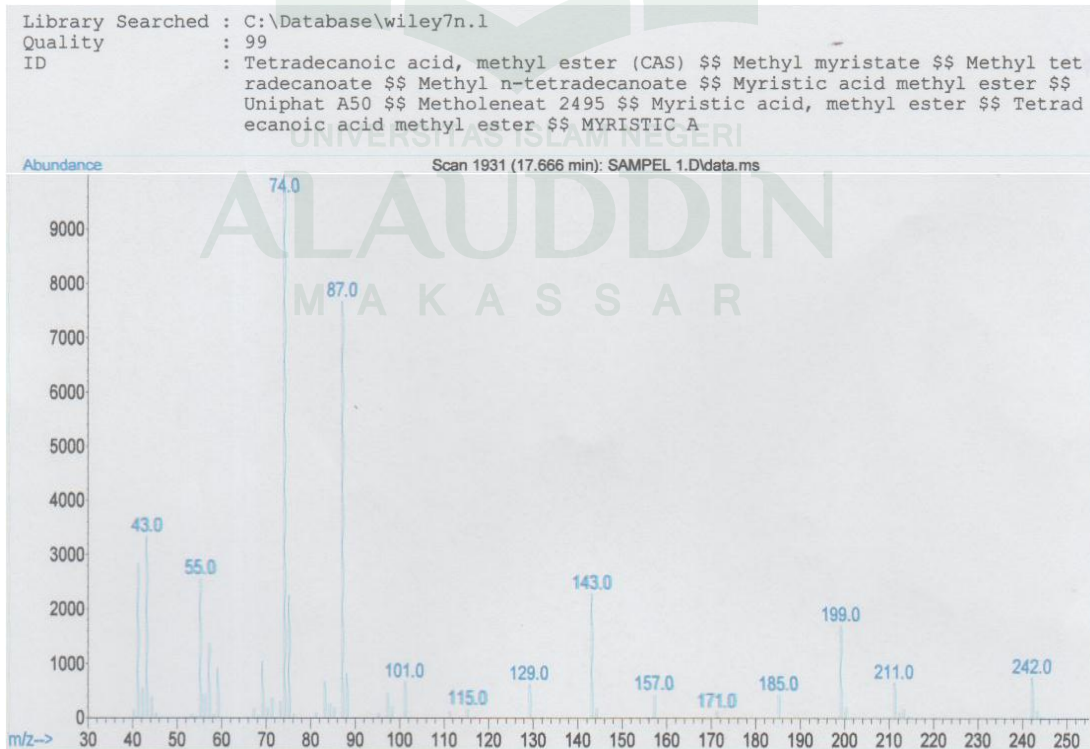
b. Spektrum asam Nonanoat



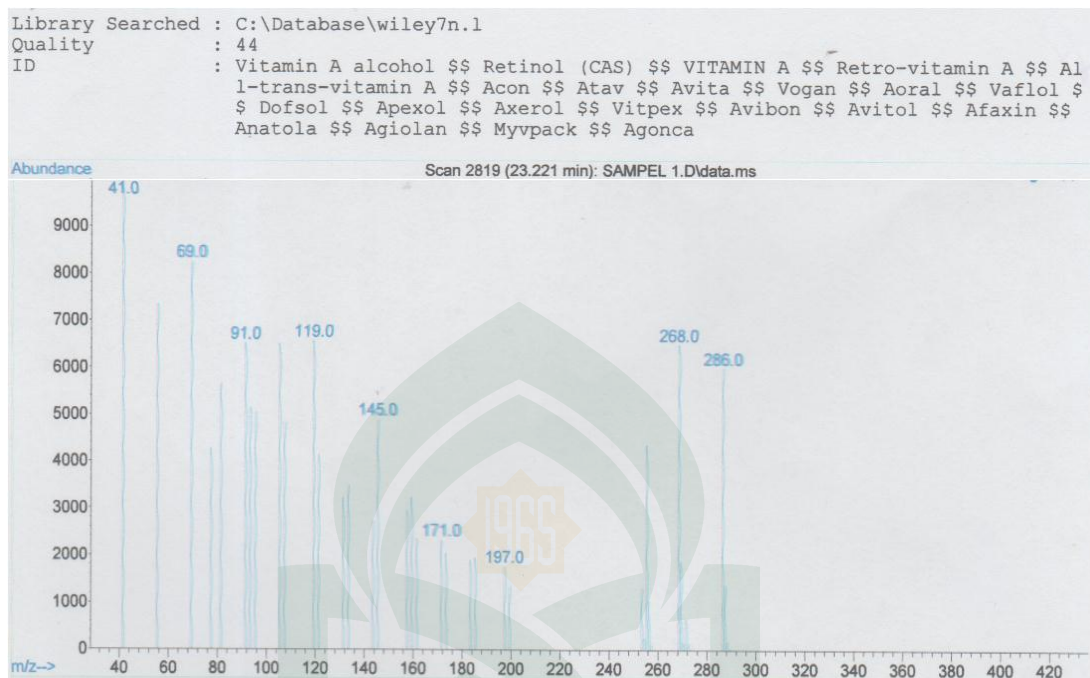
c. Spektrum Asam Dodekanoat metil ester



d. Spektrum asam tetradekanoat metil ester

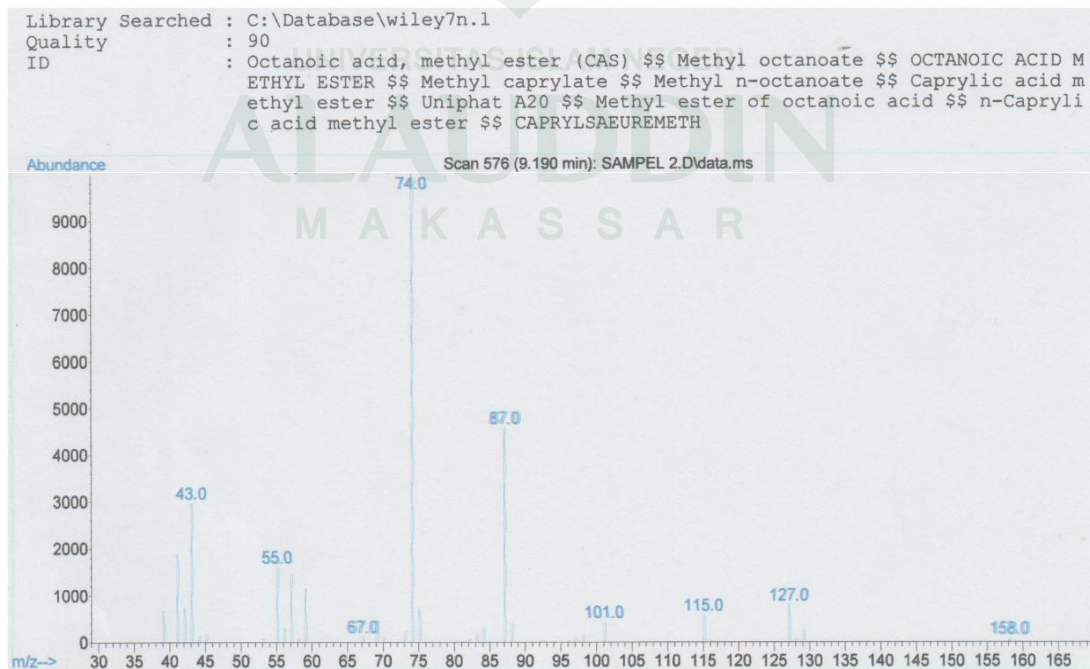


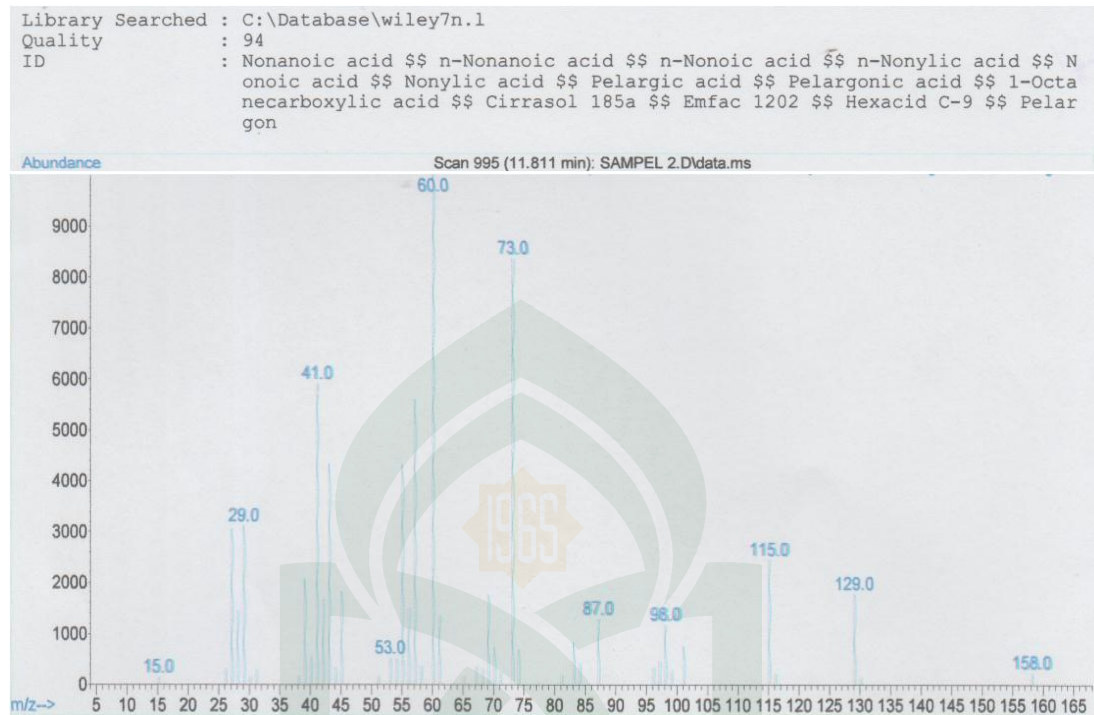
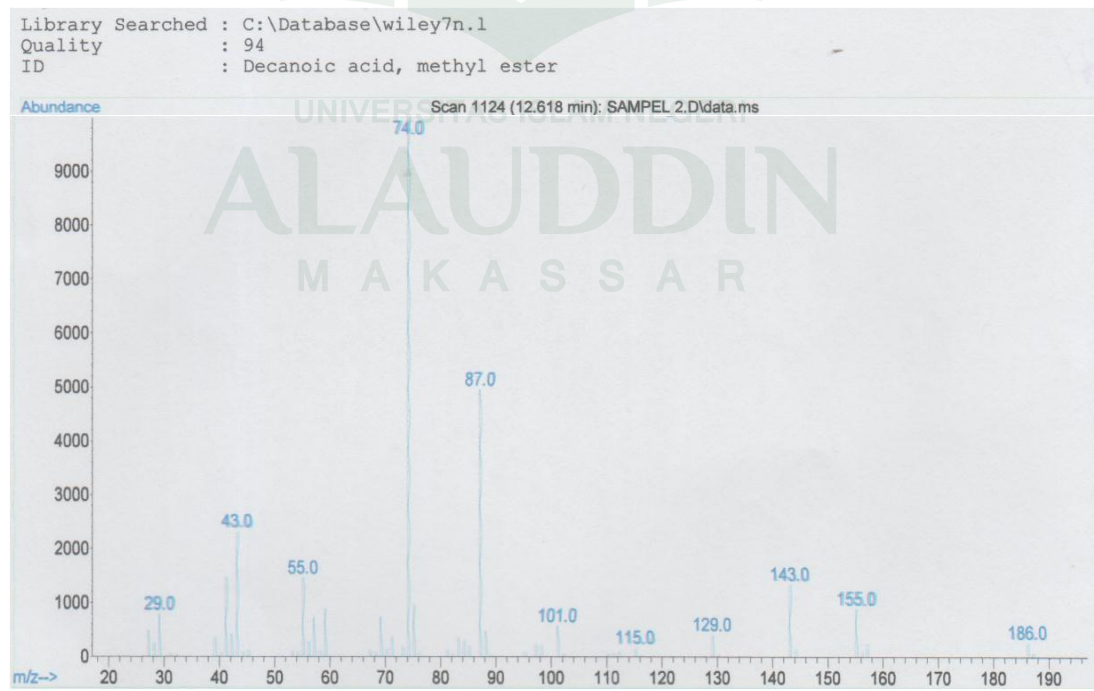
e. Spektrum Retinol



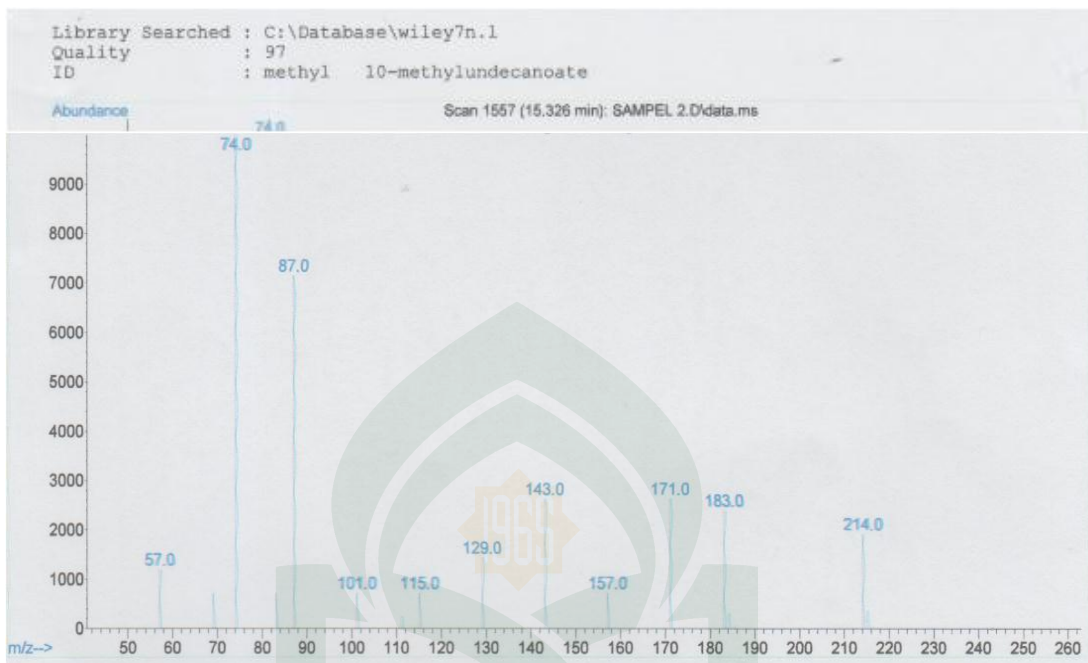
3. Spektrum Massa Variasi Oksidasi 45 menit

a. Asam Oktanoat Metil ester

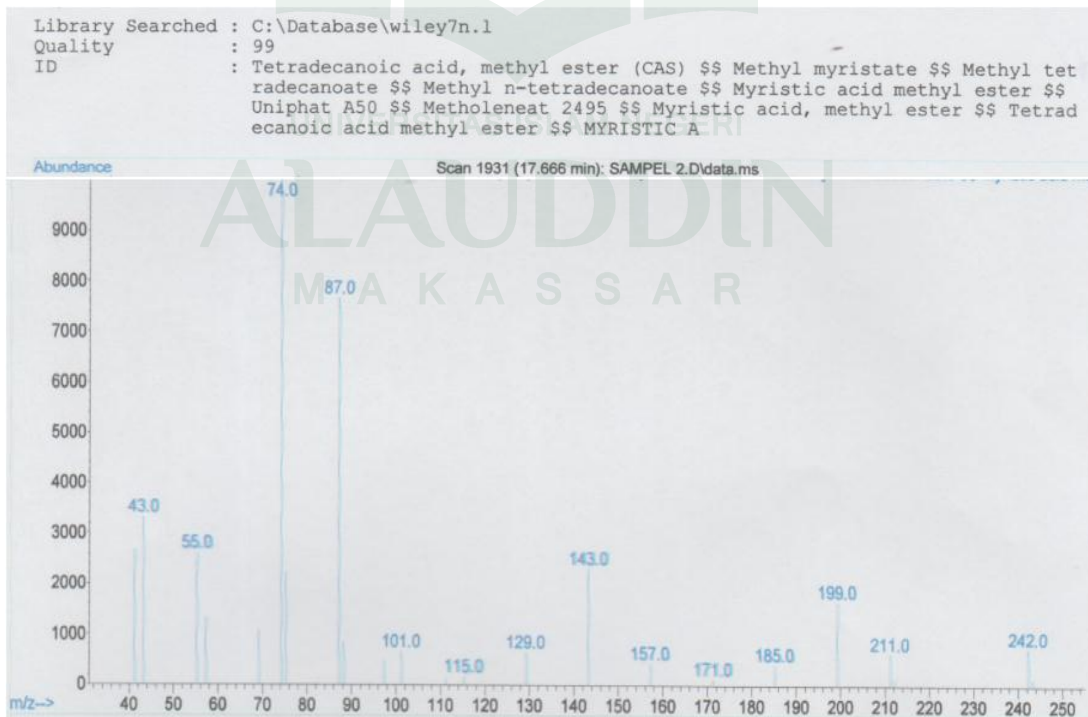


b. Asam nonanoat**c. Asam dekanooat metil ester**

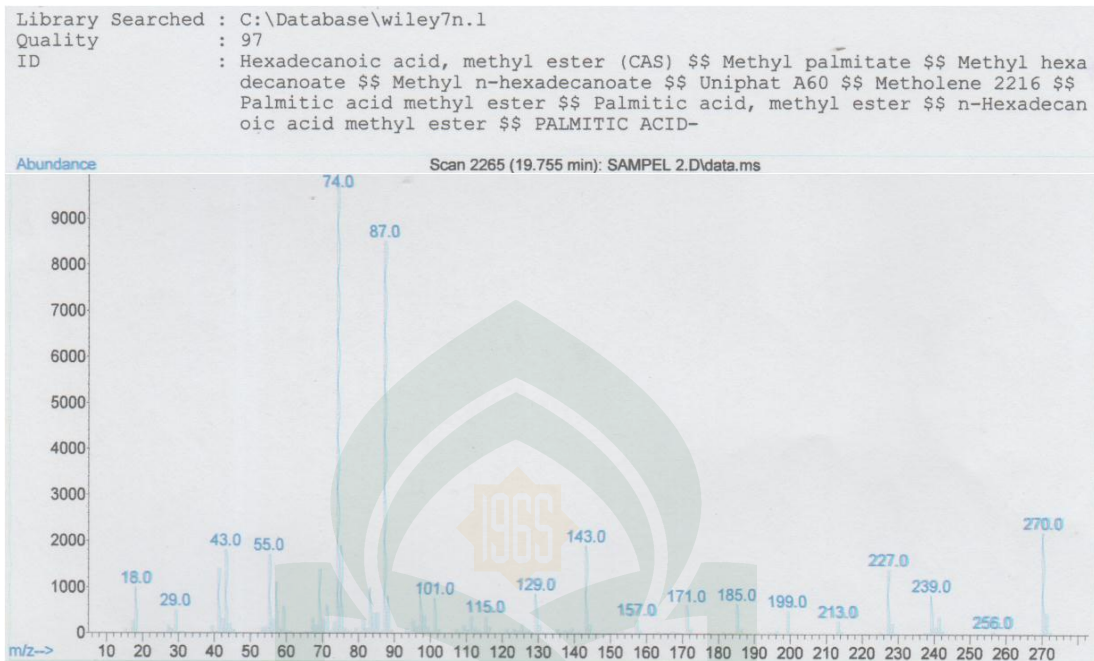
d. Metil 10-metil undekanoat



e. Asam tetradekanoat metil ester (asam miristat metil ester)

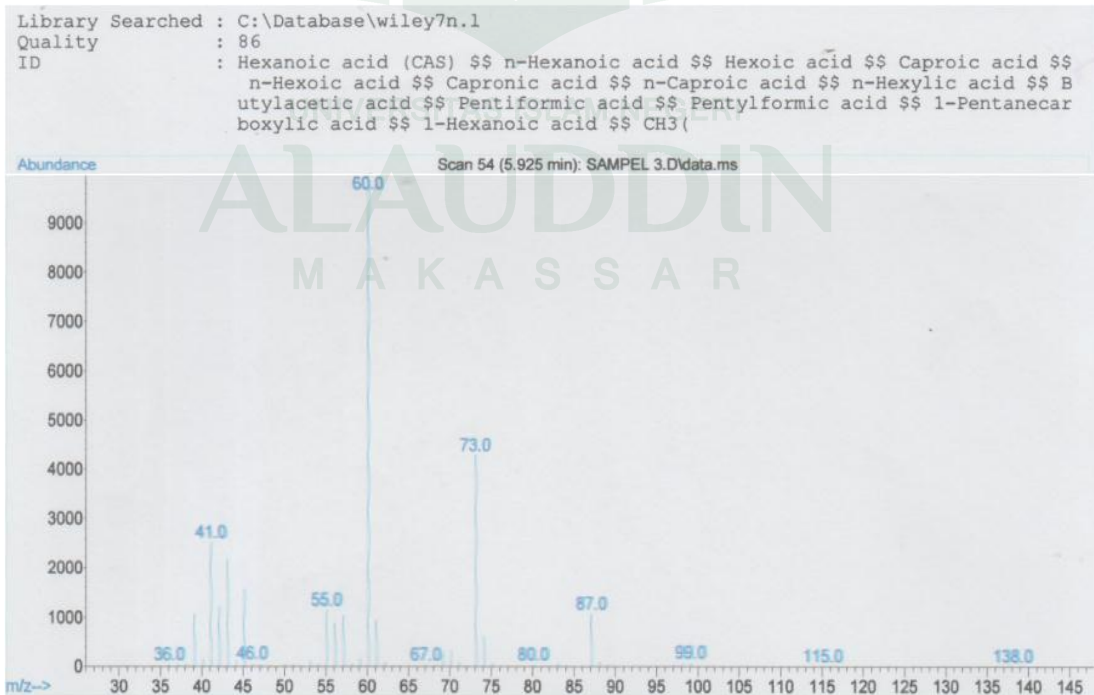


f. Asam heksadekanoat metil ester (asam palmitat metil ester)

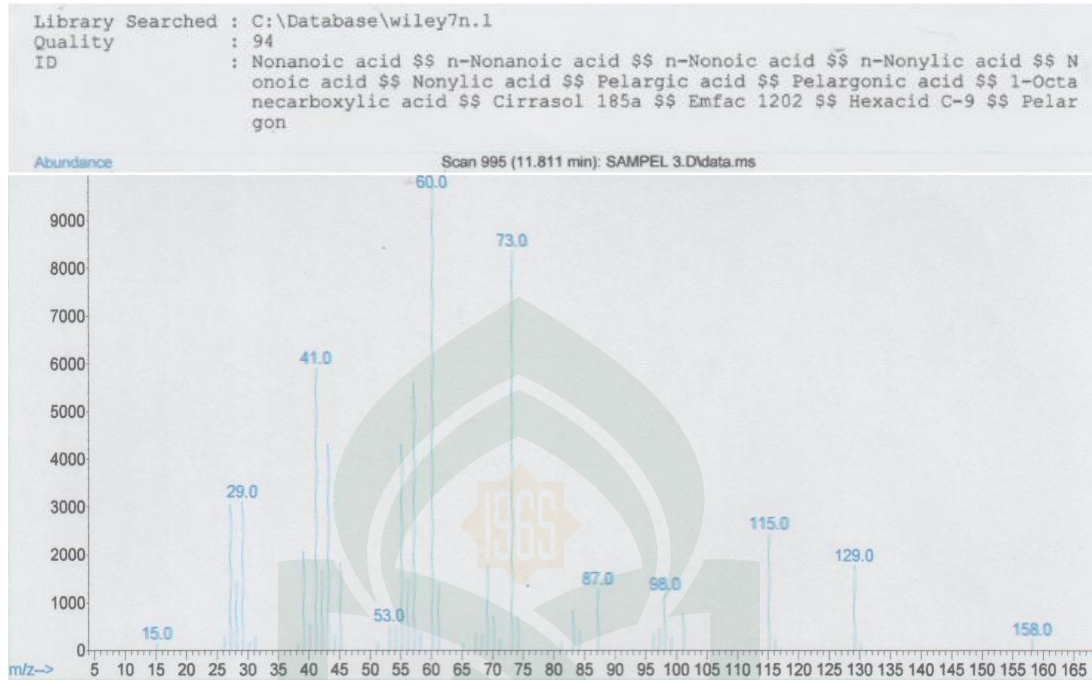


4. Spektrum Massa Variasi Oksidasi 60 menit

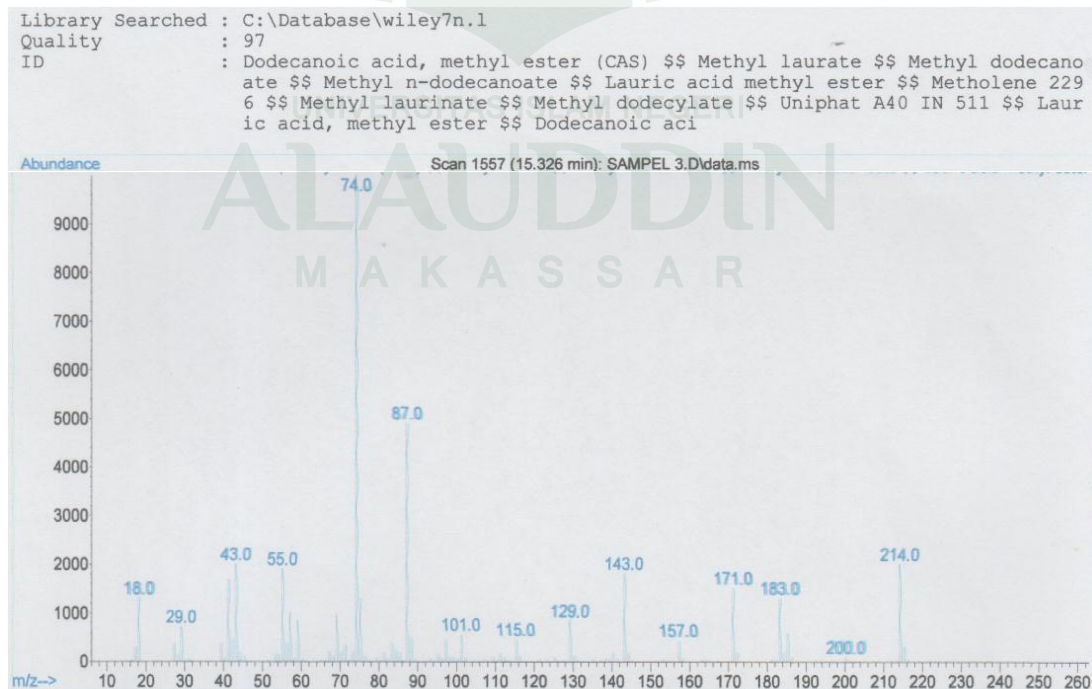
a. Asam heksanoat



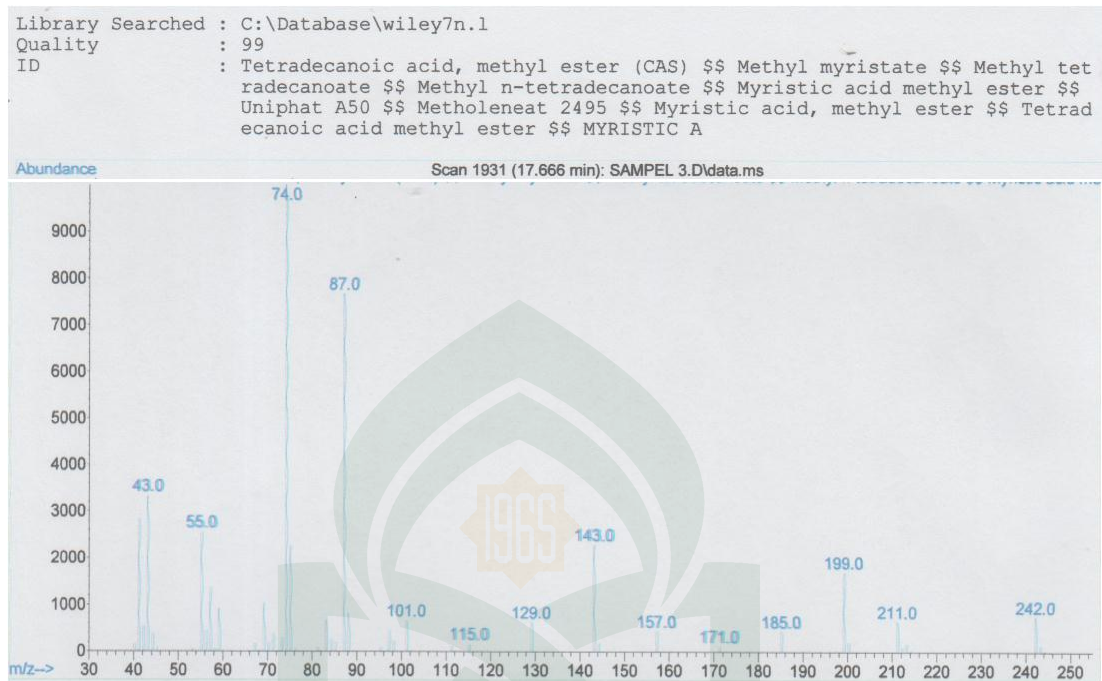
b. Asam nonanoat



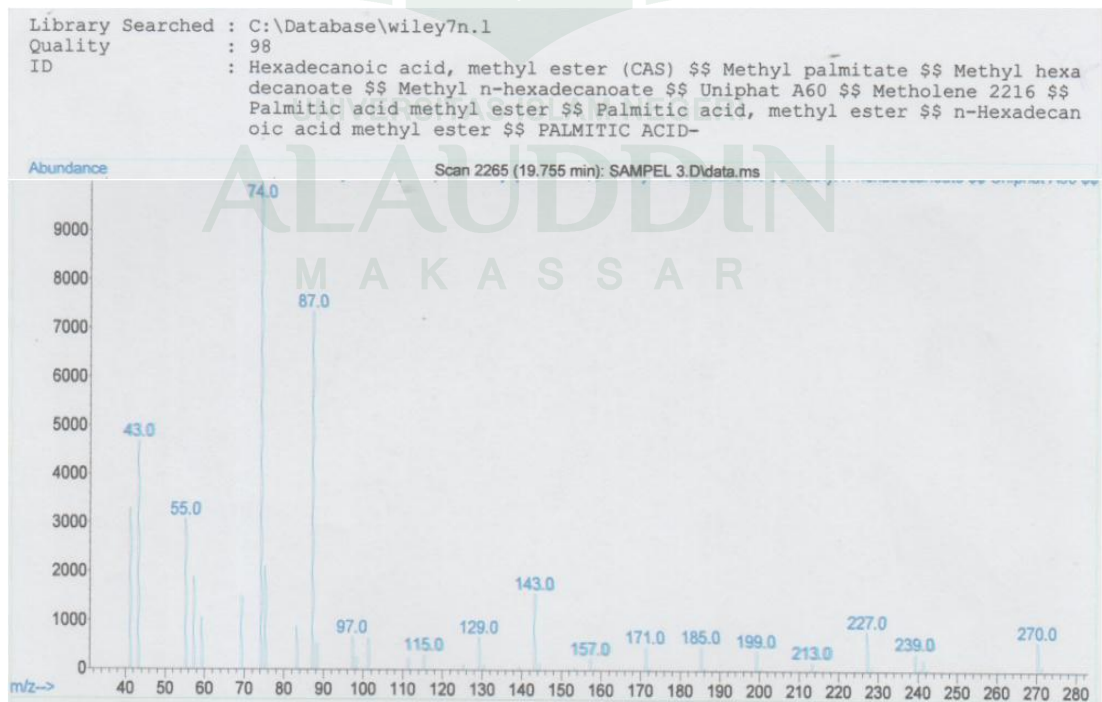
c. Asam dodekanoat metil ester



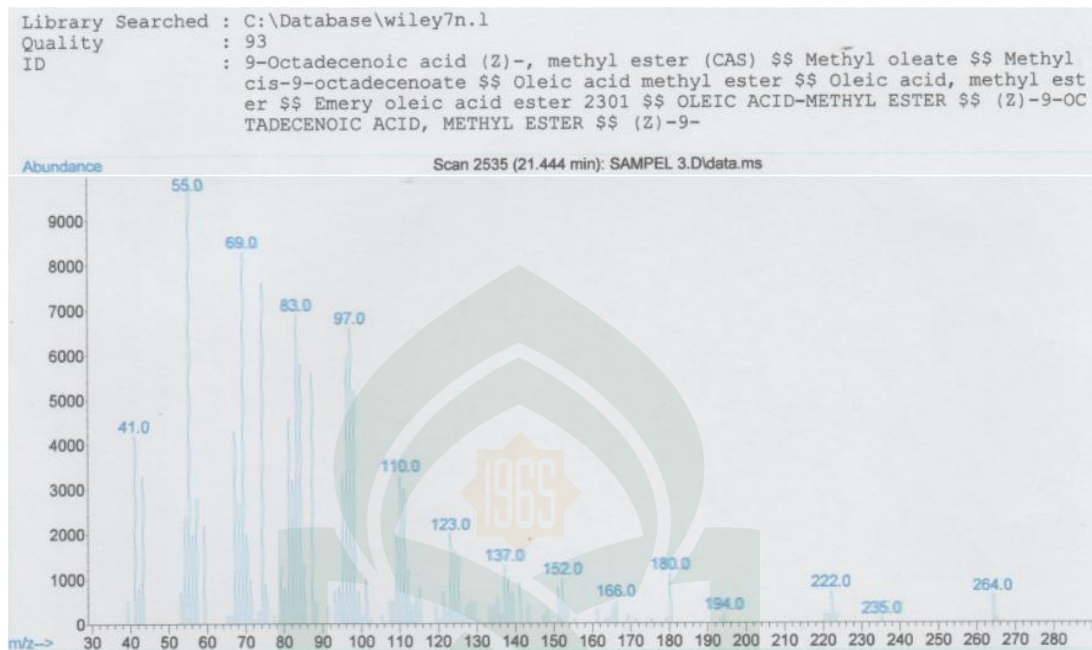
d. Asam tetradekanoat metil ester



e. Asam heksadekanoat metil ester (asam palmitat metil ester)

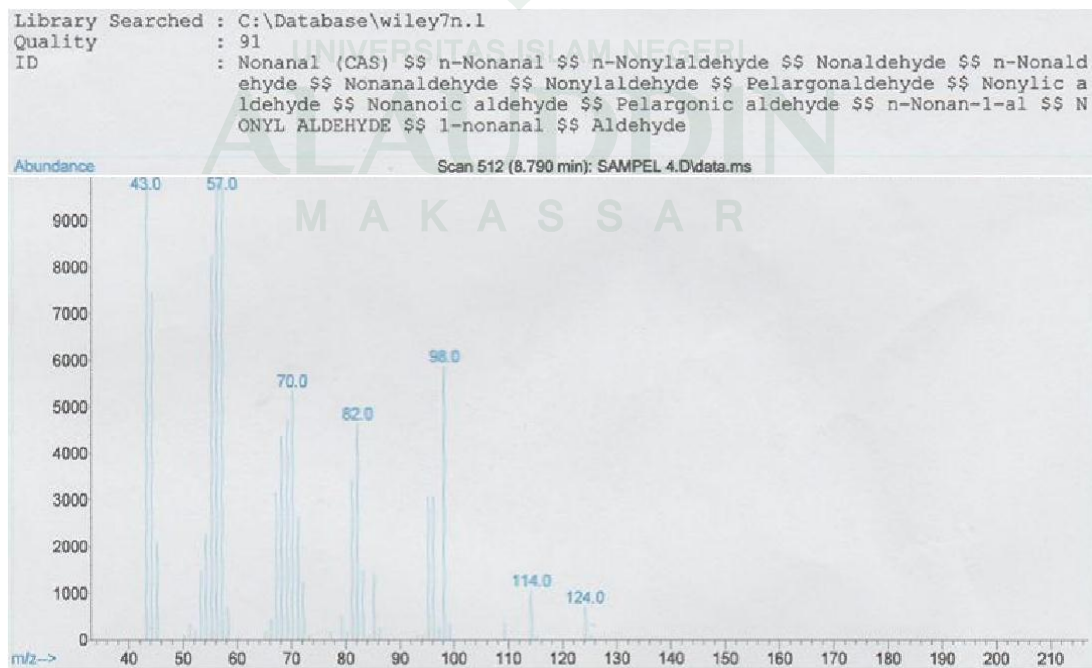


f. Asam 9-oktadekenoat (asam oleat metil ester)

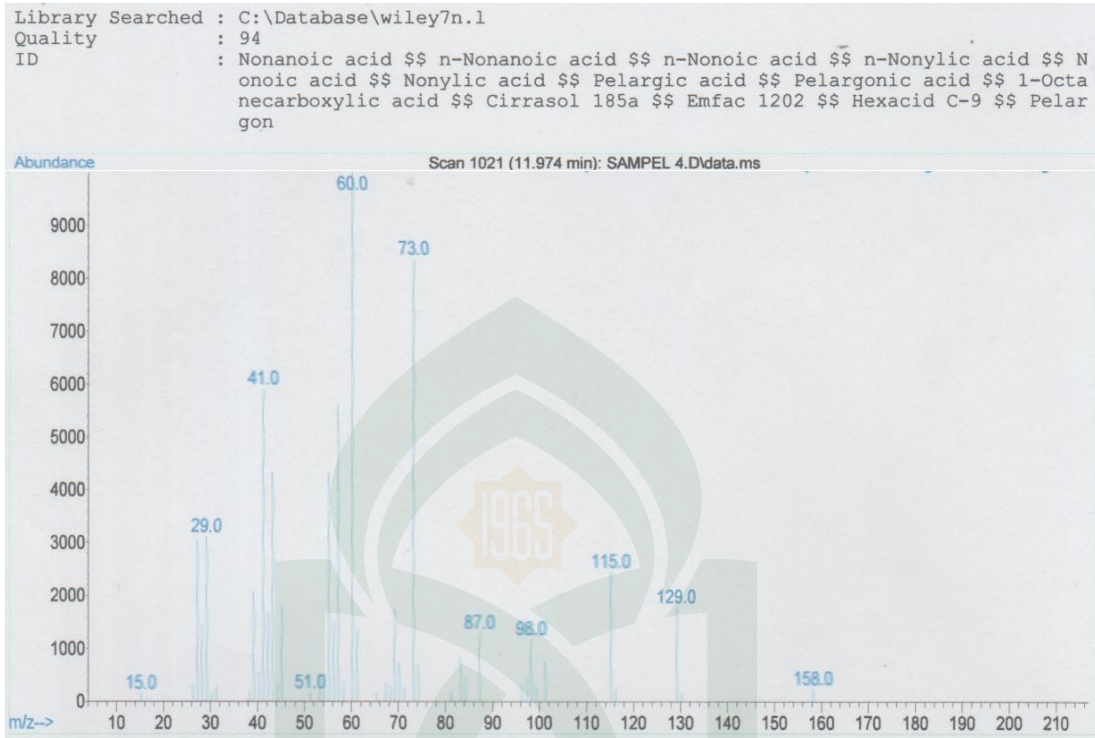


5. Spektrum Massa Variasi Oksidasi 75 menit

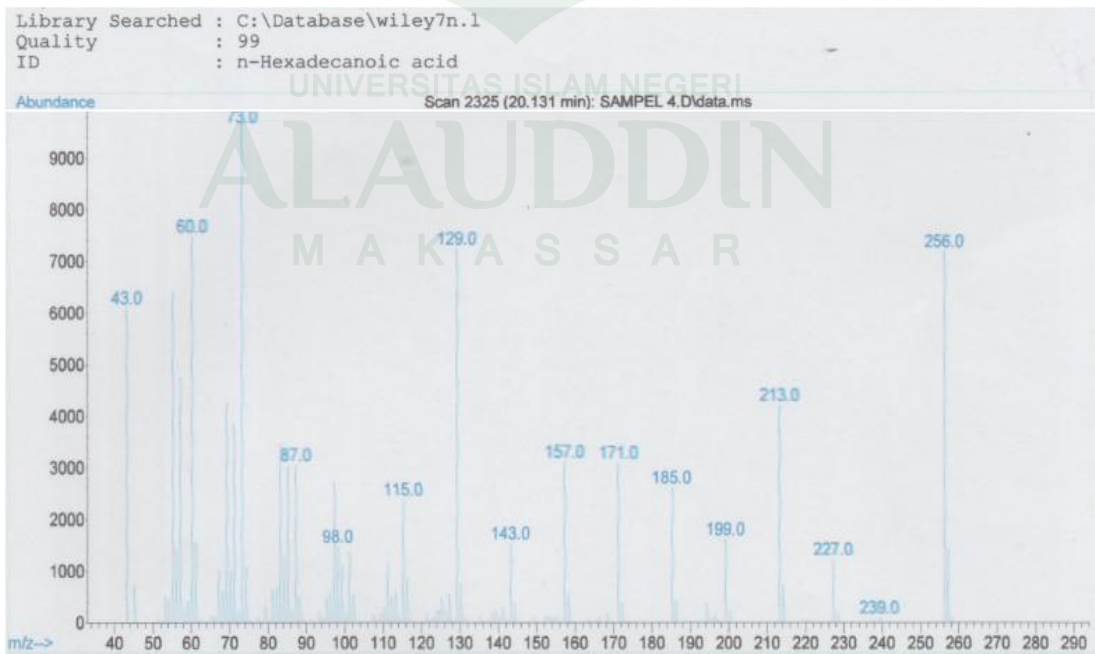
a. Nonanal

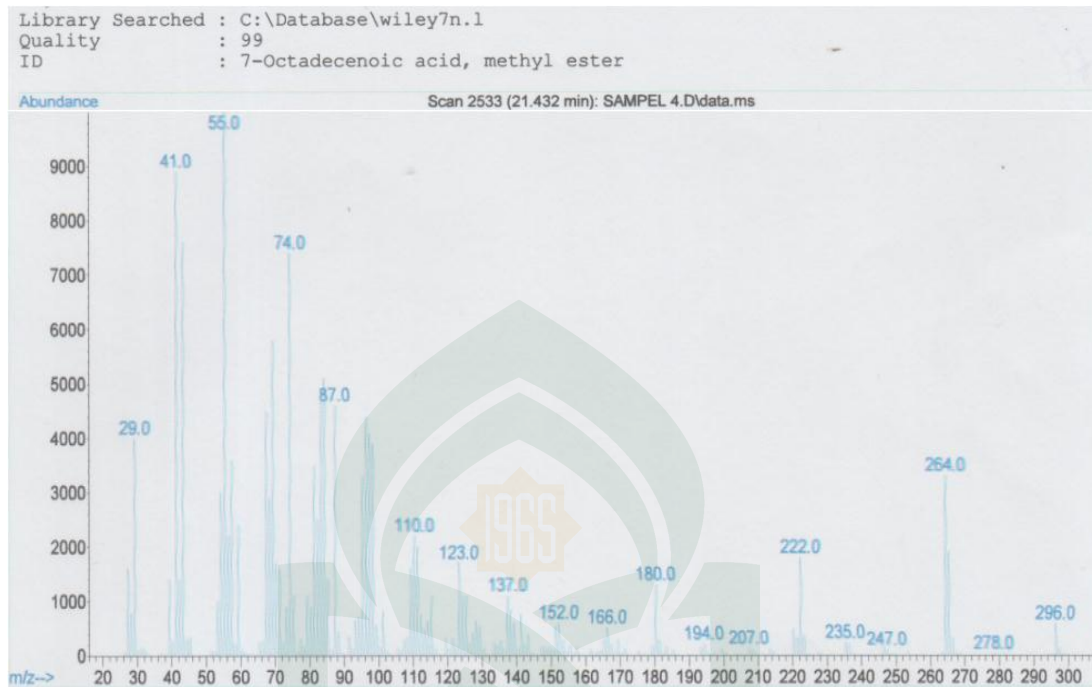
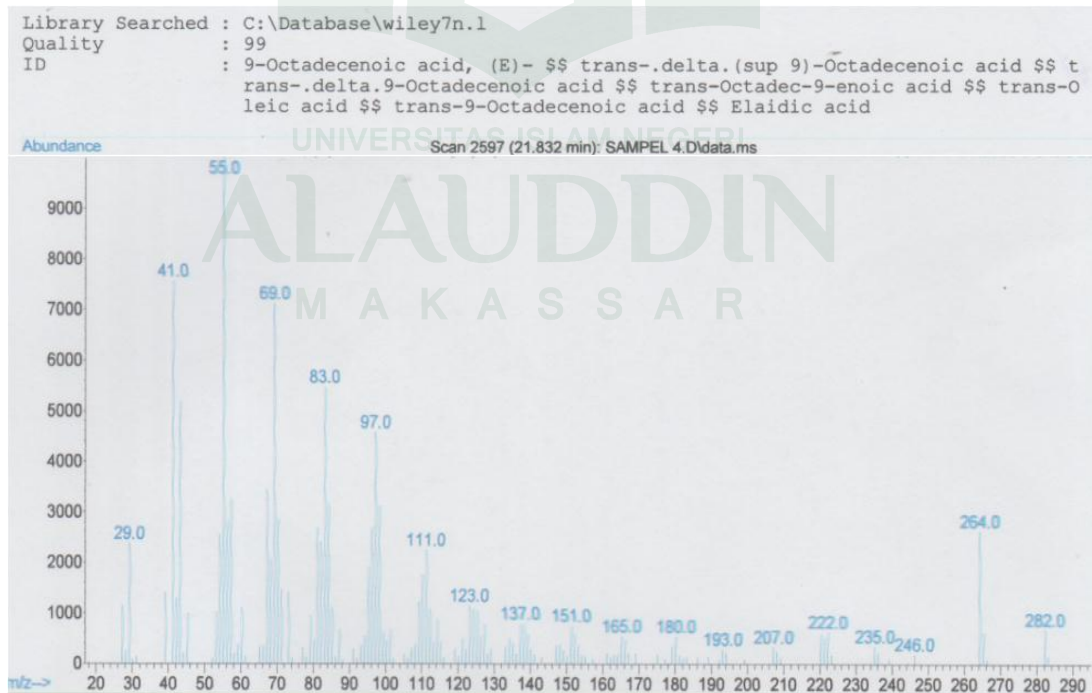


b. Asam nonanoat

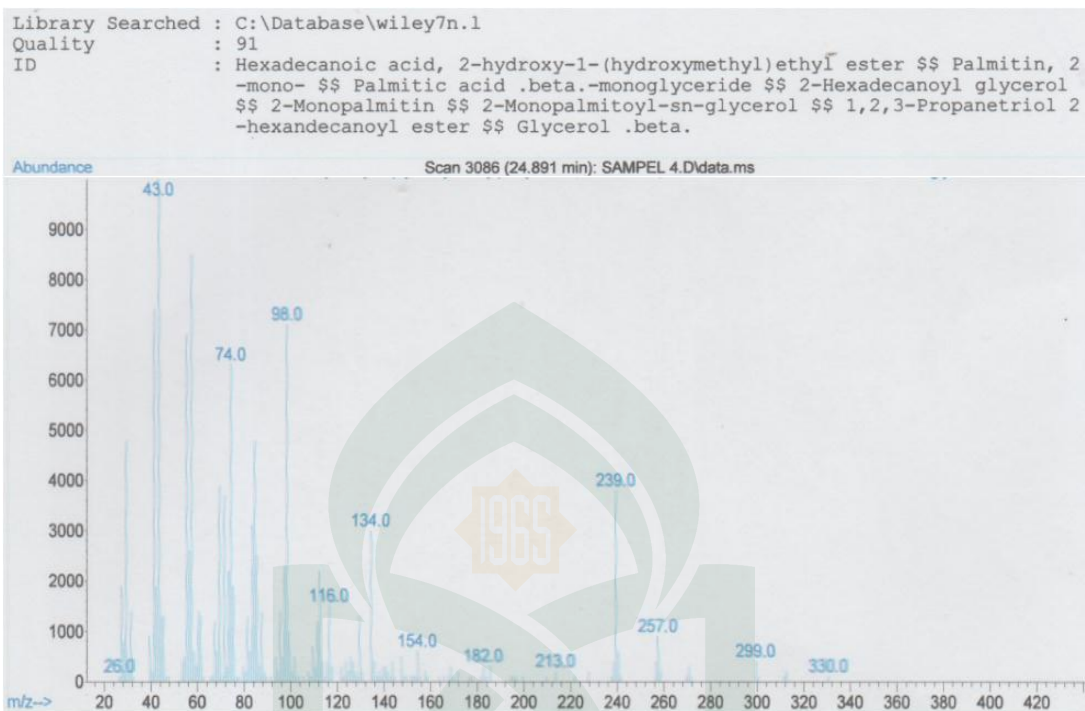


c. Asam palmitat (asam n-heksadekanoat)

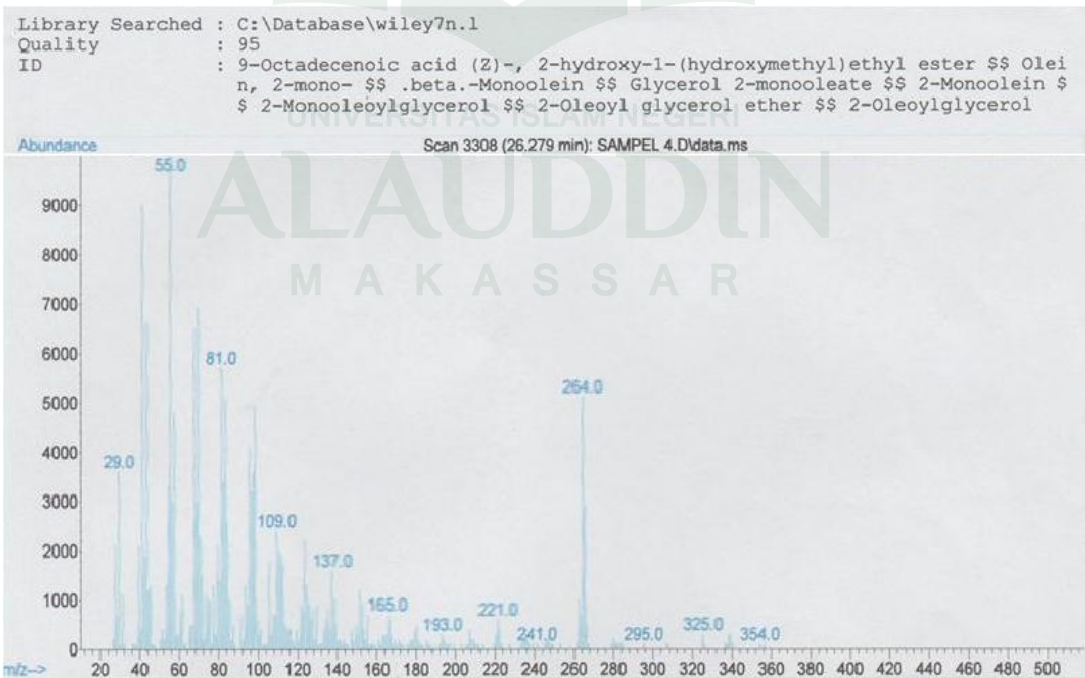


d. Asam 7-oktadekanoat metil ester (asam oleat metil ester)**e. 9-oktadekenoat (asam oleat)**

f. Senyawa 2-heksadekanoil gliserol

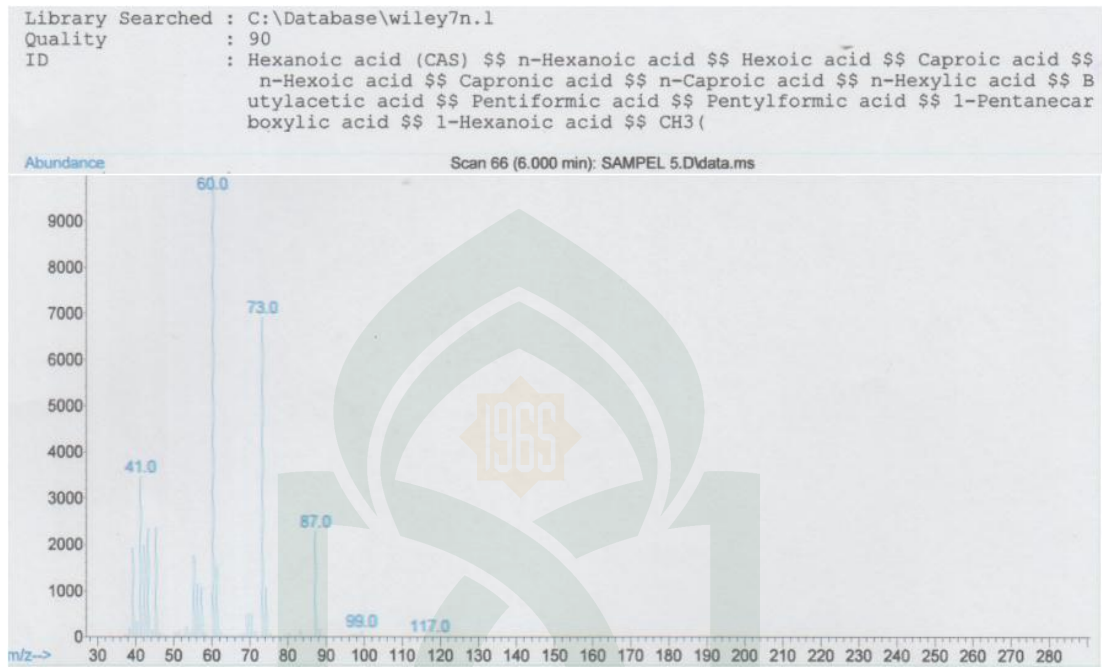


g. 2-oleoil gliserol

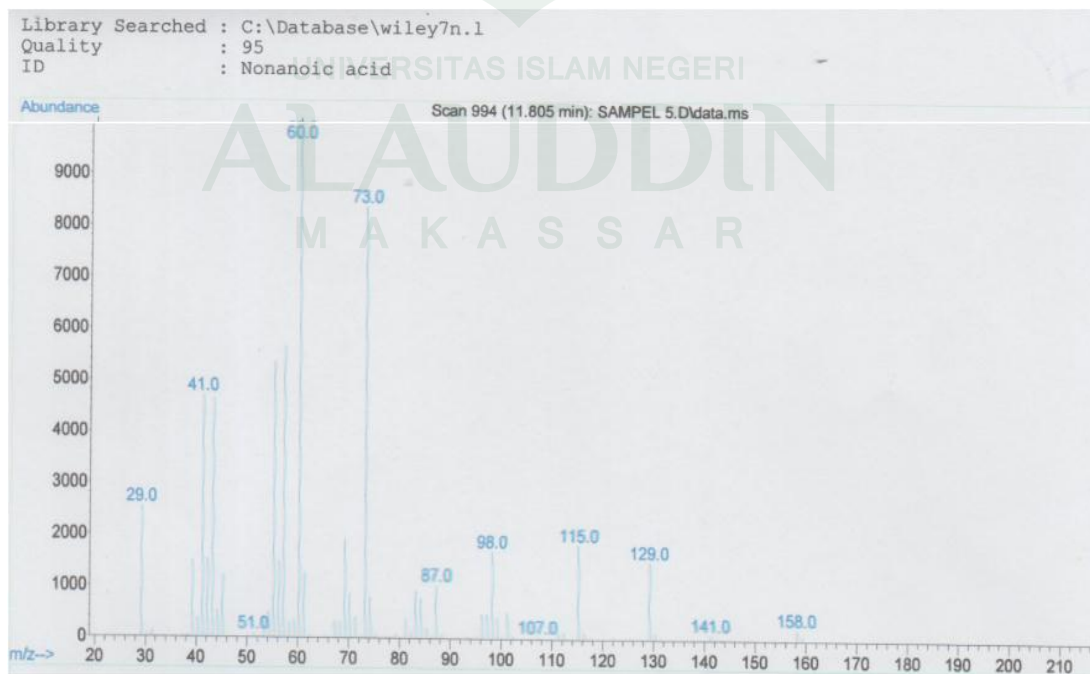


6. Spektrum massa variasi oksidasi 90 menit

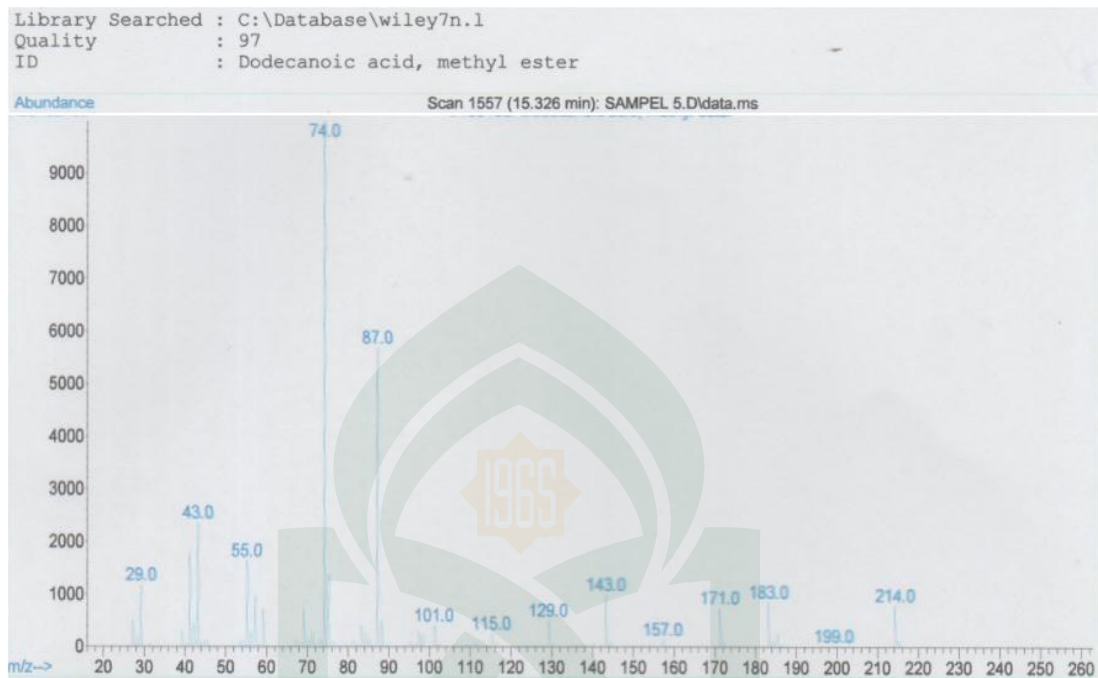
a. Asam heksanoat



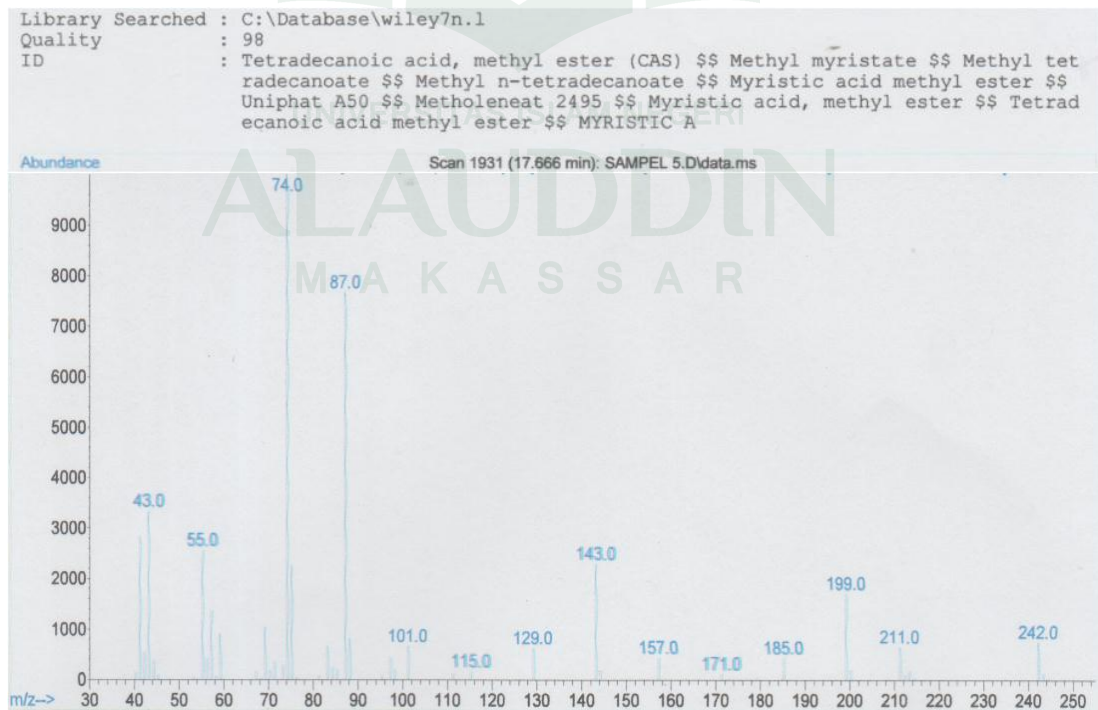
b. Asam nonanoat



c. Asam dodekanoat metil ester



d. Asam tetradekanoat metil ester



LAMPIRAN VII
DOKUMENTASI PENELITIAN

1. Penentuan kadar FFA sebelum dan sesudah pemurnian



Pemisahan CPO dengan bentuk padatnya



Proses penentuan ALB

Pemurnian dengan karbon aktif



Pengadukan



Hasil



Tirasi dengan KOH 0,1 N



Penyaringan



Hasil uji ALB
sesudah pemurnian

2. Modifikasi Triasilgliserida

a. Variasi 30 menit



CPO

KMnO₄Pemanasan KMnO₄ + H₂SO₄Reaksi KMnO₄ 6% + CPO

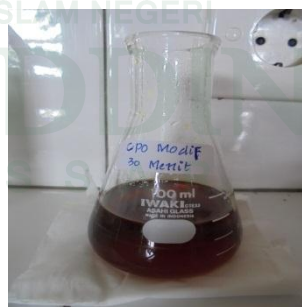
Penyaringan



Hasil pemisahan



Pemanasan CPO termodifikasi



CPO Hasil Modifikasi

b. Variasi 45 menit

CPO

KMnO₄Pemanasan KMnO₄ + H₂SO₄ 6 N

Hasil sentrifuge



Penyaringan

Reaksi KMnO₄ 3,16% + CPO

CPO hasil modifikasi

UNIVERSITAS ISLAM NEGERI
ALAUDDIN
KASSAR

c. Variasi 60 menit



CPO

KMnO₄Pemanasan KMnO₄ + H₂SO₄ 6 N

Penyaringan



Hasil reaksi oksidasi

Reaksi KMnO₄ 3,16% + CPO selama 60 menit

Hasil sentrifuge



CPO Hasil modifikasi

a. Variasi 75 menit

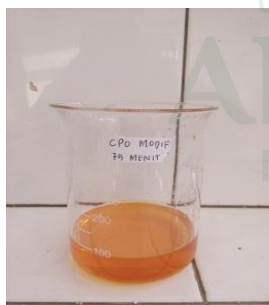
CPO

 KMnO_4 Pemanasan $\text{KMnO}_4 + \text{H}_2\text{SO}_4$ 6 N

Hasil sentrifuge



Penyaringan

Reaksi KMnO_4 3,16% + CPO selama 75 menit

CPO Hasil modifikasi

d. Variasi 90 menit



CPO

KMnO₄Pemanasan KMnO₄ + H₂SO₄ 6 N

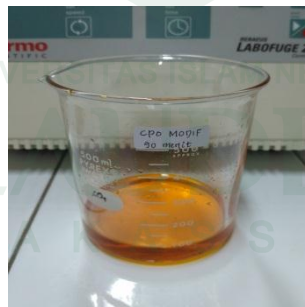
Hasil sentrifuge



Penyaringan

Reaksi KMnO₄ 3,16% + CPO selama 90 menit

Pemanasan



CPO Hasil modifikasi

3. Sintesis Biodiesel

A. Variasi modifikasi 30 menit



CPO Hasil modifikasi



Etanol 96%



KOH 0,5% %



Crude biodiesel



Diamkan ± 24 jam



Direaksikan



Talk 1%



Talk 1% + crude biodiesel



Didiamkan selama beberapa jam



Penyaringan



Diamkan selama beberapa hari



Biodiesel

b. Variasi modifikasi 45 menit



CPO Hasil modifikasi 45 menit



Etanol 96%



KOH 0,5% %



Crude biodiesel



Diamkan ± 24 jam



Direaksikan



Talk 1%



Talk 1% + crude biodiesel



Penyaringan



Diamkan selama beberapa hari



Persen biodiesel



c. Variasi modifikasi 60 menit



CPO Hasil modifikasi 60 menit



Etanol 96%



KOH 0,5% %



Crude biodiesel

Diamkan \pm 24 jam

Direaksikan



Talk 1%



Talk 1% + crude biodiesel



Penyaringan



Persen biodiesel



Diamkan selama beberapa hari

d. Variasi modifikasi 75 menit



CPO Hasil modifikasi
75 menit



KOH 0,5%



Etanol 96%



Talk 1%



Diamkan ± 24 jam



Direaksikan



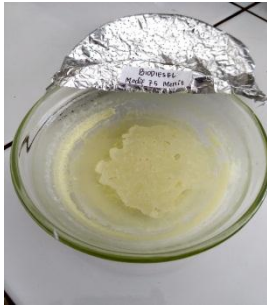
Crude biodiesel



Talk 1% + crude biodiesel



Penyaringan



Diamkan selama beberapa hari



Persen biodiesel

e. Variasi modifikasi 90 menit



CPO Hasil modifikasi 90 menit



Etanol 96%



KOH 0,5% %



Crude biodiesel



Diamkan ± 24 jam



Direaksikan



Talk 1%



Talk 1% + crude biodiesel



Penyaringan



Diamkan selama beberapa hari



Persen biodiesel

RIWAYAT HIDUP



Rosdiyanti, lahir di Desa Beringin Jaya, 21 Februari 1994. Desa ini berada di Kabupaten Morowali, Sulawesi Tengah. Penulis adalah anak ke-empat dari empat bersaudara dan anak dari pasangan Jasmin dan Haeriyah.

Rosdiyanti mulai menempuh pendidikannya kejenjang Sekolah Dasar Negeri 2 Beringin Jaya pada tahun 2000 dan lulus pada tahun 2006. Pada tahun yang sama penulis melanjutkan pendidikan di SMPN I Bumi Raya dan selesai pada tahun 2009, kemudian melanjutkan di SMKN 2 Bungku Barat dengan mengambil jurusan Pertanian dan selesai pada tahun 2012. Rosdiyanti melanjutkan pendidikan ke perguruan tinggi negeri, tepatnya di Universitas Islam Negeri (UIN) Alauddin Makassar dan mengambil jurusan Kimia pada Fakultas Sains dan Teknologi. Penelitian untuk data penyusunan Skripsi dilakukan di Laboratorium Organik dan menyelesaikan program Sarjana pada tahun 2016.

UNIVERSITAS ISLAM NEGERI
ALAUDDIN
M A K A S S A R